

**YENİ BİR SİNİR KONDUİT MODELİ: RAT PERİFERİK SİNİR DEFEKTLERİİNDE
TÜBÜLERİZE EDİLMİŞ KSENOJENİK KIKIRDAĞIN
SİNİR KONDUİTİ OLARAK KULLANILMASI**

Uzmanlık Tezi

Tıp Fakültesi

Plastik, Rekonstrüktif ve Estetik Cerrahi Anabilim Dalı

Gaziantep Üniversitesi

**Dr. Dağhan IŞIK
Aralık-2005**

öz

YENİ BİR SİNİR KONDUİT MODELİ: RAT PERİFERİK SİNİR DEFEKTLERİİNDE TÜBÜLERİZE EDİLMİŞ KSENOJENİK KIKIRDAĞIN SİNİR KONDUİTİ OLARAK KULLANILMASI

Dr. Dağhan İŞIK

**Dr. Duganlı İŞİT
Uzmanlık Tezi, Plastik, Rekonstrüktif ve Estetik Anabilim Dalı
Tez Yöneticisi: Doç. Dr. Mehmet MUTAF
Aralık 2005, 108 sayfa**

Bir sinir kesildiği zaman proksimal segment rejenere olur ve uygun şartlarda sinir fonksiyonları eski haline döner. Küçük defektler uç-ucu sutüre edilebilir. Ancak sutür hattında oluşan gerginlik çok olumsuz bir faktördür. Eğer koaptasyon hattındaki gerginlik tamamen engellenirse, akson filizleri onarım hattını, onarım hattında gerginlik nedeniyle oluşacak skar dokusundan daha kolay geçecektir. Bundan nedenle sinir defektlerinin onarımında her iki uç arasına greft konulması yaygın olarak kullanılmaktadır. Sinir kondukti olarak kullanılan birçok madde ve model vardır. Ancak günümüzde klinik sonuçları sinir grefitleri kadar iyi olan bir model yoktur.

Çalışmanın sonucunda, immünsupresyon verilmeyen ksenojenik kıkırdak konduitin, venöz konduitlerden daha avantajlı oldukları ve sinir rejenerasyonunu sinir graftedlerinde olduğu kadar iyi sağladıkları görülmüştür.

Anahtar Sözcükler: Kıkırdak, konduit, sinir rejenerasyonu, ksenojenik kıkırdak

ABSTRACT

A NEW NERVE CONDUIT MODEL: USING TUBULARISED XENOGENIC CARTILAGE AS A NERVE CONDUIT IN THE SIATIC NERVE DEFECT OF THE RATS

Residency Thesis, Department of Plastic, Reconstructive and Aesthetic Surgery
Coordinator: Assoc. Prof. Mehmet MUTAF
December 2005, 108 pages

When a peripheral nerve is damaged, the proximal segment is able to regenerate and re-establish nerve function under favorable conditions. Small gaps can be sutured end-to-end directly. However, tension at the suture site is a very unfavorable factor. If tension at the sites of coaptation is completely avoided, the axon sprouts are able to cross two sites of repair easier than one site under the scarring associated with tension at the repair site. Therefore inserting a graft between the proximal and distal stumps has been widely accepted for repair of the nerve defects. There are a lot of models developed as a nerve conduit. According to clinical results there are not any models that was found as a nerve conduit as good as nerve grafts.

In this experimental study, we researched the potential of using cartilage tissue as a brand new nerve conduit model. Since that time there is no knowledge about the using of the cartilage tissue to treatment for nerve defect in the literature. Wistar rats are divided into 4 groups. 10 mm nerve defect was constituted in the siatic nerve of the rats in every groups. In the first and second control group siatic nerve defects were repaired by nerve graft and venous conduit. In the experimental groups, nerve defect were repaired by tubularised cartilage conduits which were obtained from rabbit auricle. In one experimental group, the cyclosporine A was added to treatment protocol to provide immunosuppression however, no immunosuppression was admitted in the other experimental group that nerve defects were repaired by xenogenic cartilage conduits.

At a result of this experimental study, the xenogenic cartilage conduit group that immunosuppression was not admitted was found to be more advantageable than venous conduit group and nerve regeneration results of this experimental group was as good as nerve grafts.

Key Words: Cartilage, conduit, nerve regeneration, xenogenic cartilage

ÖNSÖZ

Tüm ihtisasım süresince olduğu gibi bitirme tezimde de değerli bilgileri ile bana yön veren sayın hocam Doç. Dr. Mehmet MUTAF başta olmak üzere, bir plastik cerrah olmamda değerli tecrübelerinden yararlandığım sayın Doç. Dr. Mehmet BEKERECIOĞLU'na, hayvan deneyi laboratuarında çalışmalarımıza izin ve yön veren Fizyoloji Anabilim Dalı Başkanı sayın Prof. Dr. Cahit BAĞCI ve deneyel çalışmalarımıza yardımcı olan Fizyoloji anabilim dalı araştırma görevlisi sayın Dr. Tuğba Bilgiç'e, elektrofizyolojik değerlendirmede yardımcılarını sayın Dr. Remzi YİĞİTER'e, patoloji laboratuarında çalışmalarımı destek ve Yrd. Doç. Dr. İbrahim Sarı ve patoloji olan patoloji anabilim dalı başkanı sayın Prof. Dr. Metin Karakök'e ve teknisyen Tolga Cengiz'e elde ettiğim verilerin istatistiksel değerlendirilmesinde bilgilerinden faydalandığım Beyin Cerrahisi Anabilim Dalı öğretim üyesi Yrd. Doç. Dr. İbrahim ERKUTLU'ya ve bu deneyel çalışmanın başından sonuna yanında olup yardım eden Plastik, Rekonstrüktif ve Estetik Cerrahi Anabilim Dalı'ndaki mesai arkadaşlarım Dr. Ömer Bulut, Dr. Mahmut Sunay, Dr. Berker Büyükgüral, Dr. Yasemin IŞIK ve güler yüzüyle dünyamı aydınlatan kızım Aysima'ya teşekkür ederim.

Dr. Dağhan IŞIK
Gaziantep 2005

KISALTMALAR

- ADP: Adenozin difosfat
ATP: Adenozin Trifosfat
BKAP: Bileşik Kas Aksiyon Potansiyeli
EMG: Elektromyelografi
ESM: Ekstrasellüler Matriks
GAG: Glikozaminogligan
PLA: Polilaktik asit
H&E: Hematoksilen & Eosin
NGF: Nerve Growth Factor
PGA: Poliglikolik asit
PLGA: Poli(laktik-ko-glikolik asid)
PVDF: Polivinilidin florid
PTFE: Politetrafloretilen
SFI: Siyatik Fonksiyon İndeksi
SGG: Sinir Grefti Grubu
VKG: Venöz Konduit Grubu
KKKG: Ksenojenik Kıkırdak Konduit Grubu

TABLO LİSTESİ

Tablo 1:	İdeal bir sinir konduitinin karakteristik özelliklerı.....	2
Tablo 2:	Grupların tüm parametreler yönünden karşılaştırılması.....	57
Tablo 3:	Grupların preoperatif ve postoperatif EMG değerleri.....	58
Tablo 4:	1. Grupta kesi öncesi ve onarımından 16 hafta sonra siyatik sinirden elde edilen ortalama EMG değerleri.....	59
Tablo 5:	2. Grupta kesi öncesi ve onarımından 16 hafta sonra siyatik sinirden elde edilen ortalama EMG değerleri.....	59
Tablo 6:	3. Grupta kesi öncesi ve onarımından 16 hafta sonra siyatik sinirden elde edilen ortalama EMG değerleri.....	60
Tablo 7:	4. Grupta kesi öncesi ve onarımından 16 hafta sonra siyatik sinirden elde edilen ortalama EMG değerleri.....	60
Tablo 8:	EMG değerleri yönünden gruplar arasındaki farkın istatistiksel ifadesi.....	64
Tablo 9:	Sinir grefti ve ven conduitin EMG yönünden istatistiksel karşılaştırılması.	64
Tablo 10:	Sinir grefti ve İmmünsupresyon verilmeyen KKG'nin EMG yönünden istatistiksel karşılaştırılması.....	64
Tablo 11:	İmmünsupresyon verilmeyen KKG ve ven conduitin EMG yönünden istatistiksel karşılaştırılması.....	64
Tablo 12:	Sinir grefti ve immünsupresyon verilen KKG'nin EMG yönünden istatistiksel karşılaştırılması.....	65
Tablo 13:	Ven conduit ile immünsupresyon verilen KKG'nin EMG yönünden istatistiksel karşılaştırılması.....	65
Tablo 14:	İmmünsupresyon verilen ve verilmeyen KKG'lerin EMG yönünden istatistiksel karşılaştırılması.....	65
Tablo 15:	Grupların siyatik fonksiyon indeksi (SFI) ortalamaları.....	66
Tablo 16:	Grupların SFI yönünden karşılaştırılmaları.....	66
Tablo 17:	Tüm grplarda alınan kesitlerde akson sayısı ortalamaları.....	75
Tablo 18:	Grupların kendi aralarında akson sayıları yönünden karşılaştırılmaları.....	77

ŞEKİL LİSTESİ

Şekil 1:	Bir sinir konduitinin şematik çizimi.....	1
Şekil 2:	Bir motor nöronun şematik resmi.....	7
Şekil 3:	Bir sinir gövdesinin şematik çizimi.....	7
Şekil 4:	Ektrasellüler ve intrasellüler sıvıların kimyasal bileşenleri.....	13
Şekil 5:	Hücre membranının şematik çizimi.....	13
Şekil 6:	Kolaylaştırılmış ve basit difüzyonda difüzyon hızı-konsantrasyon eğrileri.....	15

Şekil 7:	Aksiyon potansiyeli.....	17
Şekil 8:	Periferik sinir yaralanmaları (Sunderland).....	20
Şekil 9:	Yürüme şablonu	52
Şekil 10:	Normal BKAP ölçümü.....	54
Şekil 11:	Kesitlerin alındığı yerlerin şematik gösterimi.....	56
Şekil 12:	Preoperatif ve postoperatif latans ortalamalarının karşılaştırması.....	61
Şekil 13:	Grupların postoperatif latans değerleri.....	61
Şekil 14:	Preoperatif ve postoperatif amplitüd ortalamalarının karşılaştırması.....	62
Şekil 15:	Grupların postoperatif amplitüd değerleri.....	62
Şekil 16:	Preoperatif ve postoperatif ileti hızları ortalamalarının karşılaştırması.....	63
Şekil 17:	Grupların postoperatif ileti hızları değerleri.....	63
Şekil 18:	Grupların siyatik fonksiyon indeks ortalamalarının karşılaştırılması.....	66
Şekil 19:	Grupların siyatik fonksiyon indeksi ortalamaları.....	67
Şekil 20:	Gruplarda siyatik sinirlerden alınan örneklerdeki akson sayılarının ortalama değerleri.....	76
Şekil 21:	Grupların proksimal siyatik sinir kesitlerinde akson sayıları.....	76
Şekil 22:	Grupların konduit ortasından alınan kesitlerinde akson sayıları.....	77
Şekil 23:	Grupların distal siyatik sinir kesitlerinde akson sayıları.....	77
Şekil 24:	Birbirleriyle korelasyon gösteren parametrelerin karşılaştırılması.....	78

RESİM LİSTESİ

Resim 1:	A: Ameliyatın çizimi B: Siyatik sinirin ortaya konması.....	49
Resim 2:	Sinir grefti ile onarımın tamamlandığı görüntü	49
Resim 3:	Ven grefinin sinir konduitı olarak kullanılması.....	50
Resim 4:	Kıkırdağın alınması ve konduitin hazırlanması.....	50
Resim 5:	Kıkırdak konduitin uygulanması.....	51
Resim 6:	Medtronic Keypoint EMG Cihazı.....	53
Resim 7:	Örnek EMG raporu.....	55
Resim 8:	Postoperatif 16. haftada gruptarda ki sinir onarımlarının görüntüleri.....	68
Resim 9:	3. Grupta bir deneğin tama yakın rezorpsiyon gösteren sinir konduitı.....	68
Resim 10	4. Grupta bulunan bir denekte nöropatik ülser.....	68
Resim 11:	Tüm gruptarda sinir proksimalinden alınan kesitlerin karşılaştırılması.....	69
Resim 12:	Konduitlerin ortasından alınan kesitlerde ki akson miktarları.....	70
Resim 13:	Ven grefti grubunda bir deneğin sinir onarımının distalinden alınan kesitte histolojik görüntü.....	70

Resim 14: Kıkırdak conduit içerisinde sinirin rejenere olduğunu gösteren longitudinal kesit.....	71
Resim 15: Tüm gruplarda sinir onarımının distalden alınan kesitlerin karşılaştırılması	72
Resim 16: Grupların proksimal-orta-distal kesitlerinin görüntüleri.....	73
Resim 17: 3.Grupta kıkırdak dokusu içerisinde invazyon gösteren hücrelerin analizi...	74
Resim 18: Sinirin distalinden alınan kesitlerde grupların total akson miktarları.....	75

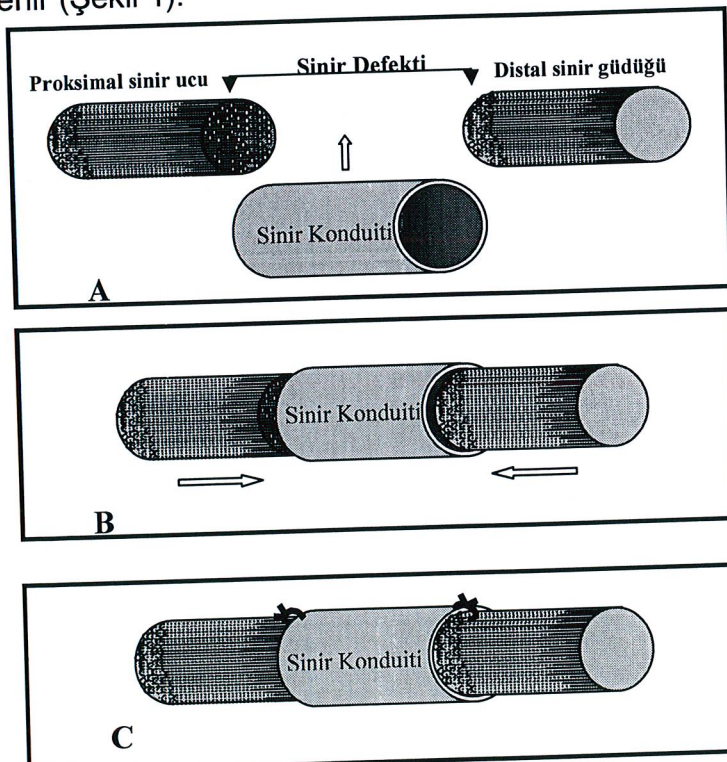
İÇİNDEKİLER

ÖZ	I
ABSTRACT	II
ÖNSÖZ	III
KISALTMALAR	IV
TABLO, ŞEKİL ve RESİM LİSTESİ	V
İÇİNDEKİLER	VIII
1. GİRİŞ VE AMAÇ	1
2. GENEL BİLGİLER	4
2.1. TARİHÇE	4
2.1.1. Sinir Fizyolojisi ve Anatomisine Ait Tarihçe	4
2.1.2. Periferik Sinir Cerrahisine Ait Tarihçe	4
2.2 PERİFERİK SİNİR ANATOMİSİ	6
2.2.1 Sinir Lifleri	7
2.2.2 Bağ Dokusu	9
2.2.3. Fasikül	10
2.2.4. Kan Akımı	11
2.2.5 Lenfatikler	12
2.2.6 Sinirler	12
2.3. PERİFERİK SİNİRLERİN FİZYOLOJİSİ	12
2.3.1. Vücut Sıvıları ve İyon Bileşimleri	12
2.3.2. Hücre Membranında Lipid Bariyer ve Taşıyıcı Proteinler	13
2.3.3. Difüzyon ve Aktif Transport	14
2.3.4. Aksiyon Potansiyeli	16
2.4 PERİFERİK SİNİR YARALANMALARI	19
2.4.1 Nöropaksi	21
2.4.2 Aksonotmezis	21
2.4.3 Nörotmezis	22
2.5. PERİFERİK SİNİR REJENERASYONU	23
2.6. SİNİR KONDUİTLERİ	24
2.6.1. Otolog Doku Graftleri	26
2.6.2. Nonotolog / Asellüler Graftler	29
2.6.3. Sentetik Olmayan Moleküllerden Oluşan Materyaller	32
2.6.4. Sentetik Materyaller	32
2.7. KONDUİT UYGULAMALARINDA MİKROÇEVRENİN RESTORASYONU	34
2.7.1. Schwann Hücre İmplantasyonu	35
2.7.2. Büyüme Faktörlerinin Kullanımı	35
2.7.3. Vaskülaritenin Arttırılması	36
2.8. KONDUİT MATERYALLERİNİN BİRLİKTE KULLANIMI	36
2.9. İÇ YAPININ ŞEKİLLENDİRİLMESİ	36
2.10. KLİNİK UYGULAMADA SİNİR KONDUİTLERİ	37
2.11. KIKIRDAK DOKUSUNUN HİSTOLOJİSİ	43
2.11.1. Kıkıldak Dokusu Tipleri	44
2.12. KIKIRDAK DOKUSUNUN HİSTOGENEZİ	45
2.13. KIKIRDAK DOKUSUN BÜYÜMESİ	46
2.14. PLASTİK CERRAHİDE KIKIRDAK DOKUSUNUN KULLANIMI	46

3. MATERYAL VE METOD	48
3.1. HAZIRLIK	48
3.2. CERRAHİ TEKNİK	48
3.3. DEĞERLENDİRME	52
3.3.1. Fonksiyonel Değerlendirme	52
3.3.2. Elektrofizyolojik Değerlendirme	53
3.3.3. Histolojik Değerlendirme	55
3.4. İSTATİSTİK YÖNTEMİ	56
4. BULGULAR	57
4.1. ELEKTROFİZYOLOJİK BULGULAR	57
4.1.1. Grupların EMG Değerleri	59
4.1.2. Grupların EMG'de Elde edilen Parametrelere Göre Karşılaştırılması	60
4.2. ELEKTROFİZYOLOJİK BULGULARIN İSTATİSTİK ANALİZİ	64
4.3. FONKSİYONEL İNCELEME	65
4.4. MAKROSKOBİK BULGULAR	67
4.5. HİSTOPATOLOJİK BULGULAR	69
4.5.1. Grupların Değerlendirilmesi	69
4.5.2. Histolojik Bulguların İstatistiksel Analizi	74
4.6. PARAMETRELERİN KARŞILAŞTIRILMASI	78
5. TARTIŞMA	79
6. SONUÇ VE ÖNERİLER	87
7. KAYNAKLAR	88

1.GİRİŞ VE AMAÇ

Periferik sinirlerinin onarımında ilk basamak primer onarımdır. Primer onarımın mümkün olmadığı durumlarda sinir grefti kullanımı bilinen bir tedavi yöntemidir. Ancak insan vücutunda greft olarak kullanımı için sınırlı miktarda periferik duyusal sinir mevcuttur. Aynı zamanda sinir greftinin alındığı bölgede skar oluşturulması, nöroma oluşma riskinin olması ve donör sahada kalıcı duyu bozukluğu sinir grefti kullanımının önemli dezavantajlarıdır. Bu dezavantajlarından dolayı konuya ilgilenen araştırmacılar conduit* konseptini geliştirmiştirlerdir. Primer kapatılamayan sinir defektlerinde, sinirin her iki ucu arasında konan tubuler yapısıyla axonun ilerlemesine olanak sağlayan köprülere sinir conduitı denir (Şekil 1).



Şekil 1: Bir Sinir Konduitinin Schematic Çizimi

A: Sinir Defekti ve Konduit B: Sinir uçlarının konduit içine yerleştirilmesi C: Defektin konduitile onarılması

(*): Konduit kelimesi İngilizcedir (=Conduit) ve kelimeyi tam karşılayan Türkçe bir kelime yoktur. Tüm metin boyunca conduit kelimesi yerine Türkçe bir kelime kullanılmamıştır. Kelimeyi karşılaşacak en yakın Türkçe kelime "su kanalı, elektrik kablosu, kablolama" dir.

Tablo 1: İdeal Bir Sinir Konduitinin Özellikleri

- ✓ Otojen kaynaklı olmalı,
- ✓ Yeterli donör saha bulunmalı,
- ✓ Aksonal rejenerasyona izin vermelii,
(nörotrofik olmalı)
- ✓ Uzun defektler için de kullanılabilir olmalı,
- ✓ Donör sahada şekil ve fonksiyon kaybı yaratmamalı,
- ✓ Kolay elde edilebilir olmalıdır.

Başarıyla uygulanan ilk otolog konduitler ven greftleridir. Bir ven grefti ile sinir defektinin onarılması yöntemi belirli bir başarı sağlamakla birlikte 3 cm üzerindeki onarımlarda ven greftinin zamanla kollabe olup axonal rejenerasyonun proksimalden distal onarım noktasına ilerleyememesi venöz konduitler için önemli bir dezavantaj olmuştur (1,2,3). Bu nedenle başka otolog conduit modeli oluşturma çabaları başlamış, amnion zarı (4) ve fasyalar (5) bu amaçla kullanılmıştır. Fakat tüm bu modellerin de kollabe olması engeli aşılamamış ve 2 cm'yi aşan defektlerde axonal rejenerasyonun distal sinire ulaşması sağlanamamıştır. Böylece yapay conduitlere yönelinilmiştir. Bu amaçla kullanılan yapay conduitlerin bazıları silikon (6), poliglikolik asit (7), Poli-3-hidroksibutirat (8), politetrafloretilen (9,10), kollajen (10,11) conduitlerdir. Ancak yapay sinir conduitleri klinik maliyeti çok yüksek malzemelerdir ve büyük defektlerin onarımında başarılı olduklarını gösteren kesin klinik çalışmalar yoktur. Üstelik yabancı cisim ve antijenik reaksiyon yaratma ve enfeksiyon oluşma gibi riskleride vardır.

Yapılan deneysel ve klinik çalışmalara rağmen periferik sinir defektlerinin onarımı hala bu alanda çalışan cerrahlar için zor bir klinik problem olmaya devam etmektedir. İdeal bir sinir conduitı, otojen kaynaklı, insan vücudunda donör saha yetersizliği olmayan, dokusal özellikleri, kimyasal yapı ve bileşenleri ile aksonal rejenerasyona izin veren ve çok uzun sinir defektlerinde de başarılı olabilen niteliklerde ve ekonomik olmalıdır (Tablo 1). Bu özelliklere sahip bir sinir conduitı bulunamamıştır. Biz bu çalışmada, vücutta donör alan sıkıntısı olmayan, alındığı yerde şekil ve fonksiyon kaybı yaratmayan kıkırdak dokusunun sinir conduitı olarak kullanılabilme potansiyelini araştırmaya karar verdik. Literatürde kıkırdak

dokusunun bir sinir conduit olarak kullanımına dair bir yayın olmaması bu fikrin deneysel bir çalışmaya dönüştürülmesi için bizi teşvik etmiştir. Temel olarak bu çalışmada, kıkırdak dokusunun sinir conduitı olarak kullanılabilme potansiyelinin araştırılmasının yanı sıra kıkırdak dokusunun, sinir defektlerinde en sık kullanılan sinir grefti ve ven conduitleriyle de karşılaştırılması planlandı.

2.GENEL BİLGİLER

2.1. TARİHÇE

2.1.1. Sinir Fizyolojisi ve Anatomisine Ait Tarihçe

Periferik sinir ile ilgili ilk bilgilere Hipokrat döneminde rastlanmaktadır. Periferik sinir dokusunun histolojik olarak tanınmasında en önemli adım şüphesiz Van Leeuwenhoek'un mikroskopik incelemesi ile gerçekleşmiştir. Sinir dokusunun uyarılabilirliği Glisson (1597-1677), sinirlerin fonksiyonel özelliklerini Galvani (1737-1798), nöron ve aksonların yapılarını Von Purkinje (1787-1869), Schwann hücresinin tanınması ve fonksiyonunun aydınlatılması ise Schwann (1839) tarafından gerçekleştirılmıştır. Sinir iletiminin biyokimyasal temellerine ait ilk bilgiler de Bernard'ın kürar ile yaptığı çalışmalarla açığa çıkmıştır. Golgi ve Cajal (1906) sinir hücrelerinin sinir sistemi ile fonksiyonel ilişkilerini ve yapısını açıklayan çalışmaları ile Nobel ödülünü kazanmışlardır. Sherrington (1906), günümüzde sinaps olarak adlandırılan fonksiyonel organizasyondan ilk söz eden bilim adamıdır. Bu alanda ikinci Nobel ödülü (1944) sinir liflerinin fonksiyonlarını açıklayan elektrofizyolojik çalışmaları ile Erlanger ve Gasser'e verilmiştir. Hodes ve Larrabee (1948) ise bu elektrofizyolojik bulguları klinik testlere uygulayarak klinikte kullanılabilir hale getirmiştir (12,13).

2.1.2. Periferik Sinir Cerrahisine Ait Tarihçe

Sinir kesileri ve iyilesmesi konusunda ilk kayıtlara Galen döneminde rastlanmaktadır. İlk sinir koaptasyonunun İtalya'da, Guy de Chaulic tarafından yapıldığı bilinmektedir (12). İlk kez Ferrara (1608) ve Arnemann (1787) sinir sütürasyonu fikrini ortaya atmışlardır. Virchow 1846'da kesik iki sinir ucu arasında 10 cm'den fazla olan kalıcı bir aralık varlığında bazen "inandırıcı olmayan" bir iyileşme söz konusu olduğunu yazmıştır (14). Bu bilgilerin ışığında, Waller (1850) tarafından sinir yaralanma sonuçları ve akson rejenerasyonunun

tanımlanması önemli bir tarihi gelişme olmuştur. XIX. yüzyılın sonlarında Crikshank, yaralanmış sinirin anatomik devamlılığının iyileşmeyi sağladığını ve anatomik bütünlüğünü kazanan sinir dokusunun fonksiyonlarının da geri döneceğini ifade etmiştir. Sinir sütürasyonunun başarısını destekleyen birçok yazar olmasına rağmen, sinir lifleri hakkındaki yapısal bilgiden yoksun olunduğundan iyileşmenin aksonal rejenerasyondan olduğunu düşünmemiştir (14). 1880 yılında Gluck dekalsifiye kemik ile sinir defekti köprülemesine yönelik çalışmalar yapmıştır. 1891 yılında Buenger kadavraya ait brakial arteri köpek siyatik siniri onarımında kullanmıştır. 1900'lü yılların başlarında ise Formatti ve Nageotte, deneysel olarak venin sinir köprüsü olarak kullanımını rapor etmiştir. 1920'de Platt fasyal grefitleri insan sinir defektlerinde kullanmıştır. (15). Savaş yaralanmalarındaki sinir onarımları ve klinik olarak sinir rejenerasyonu ilk kez Tinel (1915) tarafından gözlemlenmiş ve yayınlanmıştır.

Periferik sinir cerrahisi alanındaki ilk ayrıntılı çalışmalar Seddon'a aittir (1948). Savaş yaralanmaları olmuş farklı seviyelerdeki sinir yaralanmalarını incelemiş ve kendi adıyla anılan "Seddon sınıflaması"nı geliştirmiştir. Seddon ayrıca onarım sonrası sinir rejenerasyonu, grefit ile sinir onarım teknikleri, iskeminin sinir üzerine etkileri konularında da öncülük etmesi açısından önemli çalışmalar yapmıştır (16). Bu alandaki diğer bir öncü olan Sunderland, periferik sinirlerin internal topografik anatomisi üzerinde ayrıntılı çalışmalar yapmıştır ve daha sonraları fasiküler sinir onarımı tekniğinin gelişmesinde öncü olmuştur (17). Günümüzde uygulanan periferik sinir cerrahisine önemli katkıda bulunan Millesi, Terzis, Moberg ve Dellon, sinir onarımında grefitler ve gerginlik, tedavi teknikleri ve duyusal innervasyon ile ilgili çalışmalar yapmışlardır (18,19). Malonder ve ark. 1983'te poliglaktin tüpü sinir kondukti olarak tavşanda kullanmışlardır (20). Dellon ve Mackinnon 1988'de, maymun ulnar sinirinde oluşturulan 30 mm'lik sinir defektini poliglikolik asit (PGA) ten yapılmış sinir konduitini kullanarak onarmışlardır (21) ve Mackinon ve Dellon 1990'da yine bir maymun modelinde glikolid trimetilen karbonat kondukti, kollajen konduitle karşılaştırmışlardır (22). 1991'de Lundborg ve ark. silikon kondukti, ilk kez insan ulnar sinirinin 3 cm'lik defektinde kullanımını rapor etmişlerdir (23). Stanec ise 1998'de periferik sinir hasarlarında politetraflor etileni (PTFE) kullanmıştır (24).

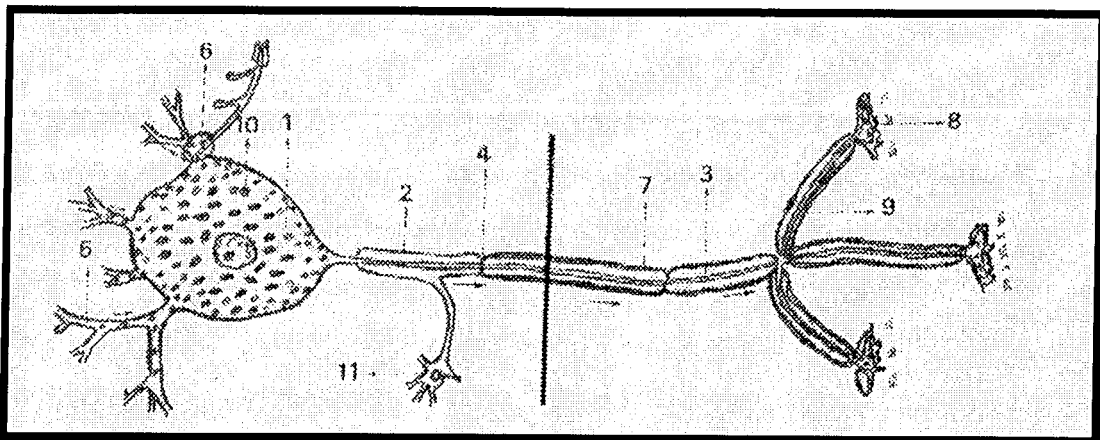
2.2 PERİFERİK SİNİR ANATOMİSİ

Sinir dokusu, entegre bir iletişim ağı şeklinde vücutta dağılmıştır. Sinir sistemi anatomik olarak iki bölümden oluşur; beyin ve spinal korddan oluşan santral sinir sistemi ve sinir lifleri ile sinir ganglionlarından oluşan periferik sinir sistemleridir (Şekil 2,3). Periferik sinir sisteminin temel ünitesi nöron olup, periferik sinirler bu hücrelerin aksonal uzantılarının birleşiminden oluşur. Sinir dokusu içerisinde nöronların yanı sıra bunları destekleyen, koruyan, nöral aktiviteye katılan, nöral beslenmeyi ve sinir sisteminin savunmasını sağlayan hücreler de mevcuttur. Nöronlar karmaşık yapısal karakterler gösteren bağımsız anatomik ve fonksiyonel birimlerdir. Nöronlar; uyarıları almak, iletmemek ve iletmek, belirli hücresel aktiviteleri başlatmak, nörotransmitterleri ve diğer bilgi moleküllerini salgılamaktan sorumludur.

Nöronlar temel olarak üç bölümden oluşur.

Dendritler, uyarıyı çevreden, duyu epitel hücrelerinden ve diğer nöronlardan almak için özelleşmiş çok sayıda uzantılarıdır. Çekirdek ve çevresindeki stoplazmadan oluşan perikaryon nöronun gövdesi olup uyarıyı alır. Stoplazmada kaba endoplazmik retikulum, golgi kompleksi ve mitokondriler bulunur (25).

Akson, tek bir uzantıdır, sinir impulsunu diğer hücrelere yaymak ve iletmek üzere özelleşmiştir. Perikaryon ve dentritte bulunan granülli endoplazmik retikulum ve ribozomlar akson tepeciğinde yoktur. Aksonun plazma membranına aksolemma, içeriğine ise aksoplazma denir. Aksonlar genelde sabit bir çapa sahiptirler ve çok dallanma göstermezler. Aksoplazma bir kaç mitokondri, mikrotübül, nöroflaman ve granülsüz plazma retikulumu sisternalarını içerir. Poliribozomların ve granülli endoplazma retikulumunun olmaması aksonun ihtiyaçları için perikaryona bağlı olduğunu gösterir. Eğer akson kesilecek olursa kesinin distal bölümünü dejener olur (26).

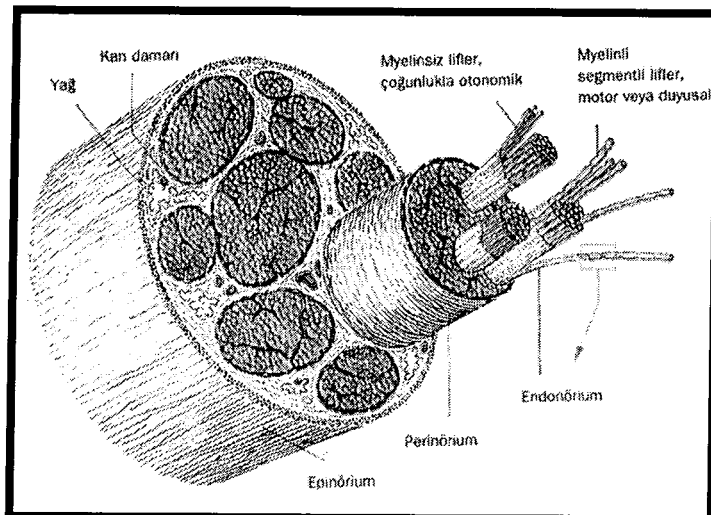


Şekil 2: Bir motor nöronun şematik resmi (25):

1: Perikaryon, 2: Myelin kılıfı, 3: Akson, 4: Ranvier nodu, 5: Dentritler, 6: Sinaps, 7: Schwann hücresi, 8: Motor son plak, 9: Kollateral dal, 10: Nissl cisimciği, 11: Oligodendrosit.

Bir periferik sinir gövdesi altı kısımdan oluşur(12). Bunlar;

1. Sinir lifleri
2. Bağ dokusu
3. Sinir fasikülleri
4. Kan damarları
5. Lenfatikler ve doku aralığı
6. Nervi nervorumlar (Şekil 3).



Şekil 3: Bir Sinir Gövdesinin Şematik Çizimi

2.2.1 Sinir Lifleri

Sinir lifleri ektoderm kökenli özel kılıflarla sarılmış aksonlardan oluşur. Sinir lif grupları, beyin ve spinal kordun traktuslarını ve periferik sinirleri oluşturur. Periferik sinir liflerinde bu kılıf Schwann hücreleri, santral sinir liflerinde ise oligodentrositlerce oluşturulur.

Sinir lifleri myelinli ve myelinsiz olmak üzere iki tiptedir. Küçük çaplı aksonlar genellikle myelinsiz sinir lifleridir. Her ikisinde de aksonlar Schwann hücre ile sarılıdır ve myelin Schwann hücreleri tarafından oluşturulmaktadır. Myelin kılıflar tarafından sarılmış olan liflere myelinli sinir lifleri denir.

Embriyolojik çalışmalar myelin oluşmasında ilk adım Schwann hücre stoplazmasında var olan bir yarıga aksonun penetrasyonuyla olduğunu göstermiştir. Yarığın kenarları mesaksonu oluşturmak üzere bir araya gelir, böylece iki kenarın plazma membranları birleşir. Henüz tam anlaşılmayan bir mekanizma ile mesakson, akson çevresinde birkaç kez dolanır. Dolanımların sayısı miyelin kılıfın kalınlığını belirler.

Myelin kılıfın yapı taşı lipid ve proteinlerdir. Üç uca sıralanan Schwann hücreleri akson yüzeyinde Ranvier nodları denilen bölgelerde birbirleri ile ilişkilidirler. Bunlar, aksonun uzunluğu boyunca komşu Schwann hücreleri arasındaki boşluklardır. Bu geçiş noktalar ekstrasellüler iyonların aksona ulaşmasına izin verirler. Bu anatomik yapı, saltatuar ileti denilen, myelinli liflere özgün, noddan noda atlayarak giden çok hızlı iletim şekline neden olur (19). İki boğum arasına "internode" adı verilir ve Schwann hücreleri tarafından oluşturulur. Internodun uzunluğu aksonun çapına bağlı olarak değişir. Myelinin kalınlığı, aksonun çapına göre değişir ve akson boyunca sabittir. Aksonu saran plazma membranı aksolemma, aksoplazma yapısındadır ve aksoplazmik taşıma görevini de yapar.

Periferik sinir sistemindeki tüm myelinsiz aksonlar Schwann hücrelerinin basit kılıfı ve bazal membranı ile çevrilmiştir. Bu liflerde Ranvier boğumu yoktur. Bitişik Schwann hücreleri kılıf sürekliliğini oluşturmak üzere uzunlamasına yerlesirler (25). Myelinsiz liflerde nörotübüllerin sayısı nöroflamanların sayısından fazladır. Periferik sinirlerde iletim hızı, akson çapının karesi ile orantılı olarak artar. Myelin kılıf, iletim hızını önemli oranda artırır. Akson, Schwann hücresinin stoplazması, plazma membran, bazal laminası ve myelin tarafından sarılır. Bazal lamina, endonöral kollajen ve retiküler liflerden oluşan yapıya tüp veya kılıf adı verilir. Sinir lifine destek görevi görür. Bazal lamina, dejenerasyon sonucu tüp halinde varlığını sürdürürken rejenerere aksonlara da iskelet görevi görür. Myelinli sinir lifleri, fasiküller arasına uzanan ve onları bir arada tutan bağ dokusu ile birlikte beyaz renkte görülür.

2.2.2 Bağ Dokusu

Sinir lifleri boyunca bağ dokusu tarafından sarılarak fasikül adı verilen demetleri oluştururlar. Sinir gerilme gücünü bu bağ dokusu sağlar. Değişik sinir kesitlerinde bağ dokusu oranının %25–85 olduğu gözlenmiştir (19).

Periferik sinirlerde üç farklı bağ dokusu katı bulunur;

1. Epinörium
2. Perinörium
3. Endonörium

Epinörium: Gevşek areolar bağ dokusudur. Bu doku fasikül çevresini çapraz ya da sıralı yapıda sarar. Genellikle uzunlamasına yerlesirler. Sinir gövdesine yakın planda yoğunluk kazanırlar. Periferik siniri çevreleyen yağ dokusu ile birleşirler. Fasiküller deforme edici güçlere ve travmaya karşı korurlar. Gerilmeye karşı koruyucu etkileri sınırlıdır. Gerilme artlığında, gerilim fasiküller tarafından giderilmeye çalışılır (27). Büyük bir bölüm kollajenden oluşmasına karşın epinöriumda ayrıca elastik lifler de bulunur. Çapları kişiye, sinire ve yerine göre değişmekle birlikte ekleme yakın yerlerde daha kalındır (28). Sinir dallanıp fasikül oluşturarak daha küçük bir hal aldığında epinörium da daha kısa seyir izler. Birkaç fasikülden oluşan periferik sinirlerde bir veya daha fazla arter, ven ve lenfaktikler fasiküllere paralel olarak epinörium içinde uzunlamasına seyreder. Bu arterlerin tıkanması ya da inflamasyonu, vasküittle seyreden hastalıklardaki sinir hasarının en önemli nedenidir.

Perinörium: XIX. yüzyılda Henle tarafından tanımlanmıştır, her bir fasikülü saran sıkı, kuvvetli bir bağ dokusudur. Endonöral yapıları koruyucu mekanik bariyer işlevi görür. Bunlara ek olarak difüzyon bariyeri görevi de vardır. Perinöral difüzyon bariyeri esas olarak endonöral ortamın korunması ve regülasyonuna yönelikir. Bariyer, travmaya ve iskemiye karşı dayanıklı olmasına rağmen bozulduğunda sinir iletimi doğrudan etkilenir (27,29).

Perinöral hücreler iç ve dış yüzeyde bazal membran ile birleşerek lamelleri oluştururlar. Özelleşmiş fibroblastlar arasındaki açıklık çok dardır (90 Angström). Bu (tight junctions) sıkı ilişkiler difüzyon bariyeri işlevinde çok önemlidir. Aktif bariyerdeki difüzyon, gerektiği durumlarda içeriye ya da dışarıya doğru yönelir (29). Perinörium, kollajen tabakaları tarafından ayrılan düzleşmiş hücrelerin

konsantrik dizimleri ile oluşmuştur. Bu hücre katlarının sayısı sınırden sinire değişmekte birlikte on beş tabakaya kadar çıkabilir (19).

Distale gidildikçe hücre tabakası sayısı da azalır. En ucta tek tabaka oluştururlar. Bu perinöral hücreler sonunda duyu cisimciklerinde sonlanarak terminal sensörleri oluştururlar. Periferik sinirlerdeki epinöral kılıf, spinal sinirlerde dura mater ile devamlılık gösterirken, perinörium ise pia-araknoid ile devam eder.

Endonörium: Sinir liflerinin gevşek bir bağ dokusu ile çevreli olduğu kattır. Bu katta, aksonlar ve onları çevreleyen Schwann hücreleri, kollajen fibriller, fibroblastlar, kapiller damarlar ve az sayıda mast hücreleri bulunur. Mast hücreleri, sinir yaralanmasını takiben kan sinir bariyerinin bozulması sonucu endonörial damarlardaki geçirgenlik artışından sorumludurlar. Mast hücrelerinden salınan enzimler myelinolitik aktiviteleri nedeni ile demyelinizasyona neden olırlar. Hücrelerin % 90 'ını Schwann hücreleri, %10'unu ise fibroblast ve diğer hücreler oluşturur. Endonöriumdaki kollajen lifler herbir sinir lifini çevreleyerek endonöral tüplere destek sağlarlar. Yine bu katta lenfatik kanallar yoktur. Sinir lifleri myelinli ya da miyelinsizdirler. Endonöriumdaki kollajen lifler, sinir liflerini ve onların çevresindeki Schwann hücresini iki farklı kılıf oluşturacak şekilde sararlar. Dış kılıftaki geniş çaplı kollajen lifler, uzunlamasına yerleştiğinden, Schwann hücre bazal membranı ile birlikte yaralanan sinirin rejenerasyonunda önemli rol oynar. En dıştaki endonöral kılıfı, sinir liflerini oblik ya da dairesel şekilde kuşatan ince kollajen lifler oluşturur. Endonöral alan, sinir fonksiyonu için uygun çevreyi sağlar. Bu kılıfın bütünlüğü bozulduğunda endonöral içerik dışarı çıkar (28).

2.2.3. Fasikül

Periferik sinir gövdesi bir veya daha fazla fasikülden oluşur. Fasikül, ince ama güçlü hücre tabakaları ve perinörium ile çevrelenmiş sinir liflerinin kümesidir. Fasiküler yapının sinir gövdesi kesitlerinde distale doğru gidildikçe değiştiği gözlenir. Fasiküler yapı dallanarak şekil değiştirir. Sürekli distale doğru dallanır. Aynı düzeydeki değişik sinir gövdelerinin fasiküler biçimini, karşı kenar aynı düzeyden alınan sinir gövdesi fasiküler yapıları ile büyük ölçüde farklılık gösterir. İnsandaki periferal sinir fasiküllerinin çapı 0.04 mm'den 20 mm'ye kadar değişir. Arada 4 mm'lik fasiküller de görülür. Fasiküler yapılar mono, oligo veya

polifasikülerdir. Ekstremitelerin distaline gidildikçe fasiküler arası pleksus oluşumu azalır (13).

2.2.4. Kan Akımı

Periferik sinirlerde iki temel kan dolaşımı vardır. Bunlardan biri ekstrensek dolaşım olarak adlandırılır ve periferik sinir boyunca uzunlamasına adventisya içinde seyreden, arteriya nervorum ve bölgesel damarlardan oluşur. Bu seyr sırasında intrensek dolaşımı ilişkisi sağlayan, periferik sinir gövdesine giren kollateralleri verirler. Bu damarlar esas olarak ekstranöral dokuları beslerler. Bu dolaşım, sempatik uyarılarından ve lokal uygulanan farmakolojik ajanlardan etkilenir. Geniş periferik sinirlerin yüzeylerinde izlenen makroskopik arteriyoller, sinir onarımlarında proksimal ve distal sinir uçlarının birleştirilmesinde yardımcı olurlar. İkincisi yani intrensek dolaşım ise periferik sinir bağ dokusu içinde (epinörium, perinörium, endonörium) bulunan damarsal ağdan oluşur ve sempatik uyarılarından, metabolik olaylardan, lokal ilaçlardan etkilenmez. Bu iki sistem periferik sinirin beslenmesini sağlar (30).

Venöz ağın intranöral yapısı genellikle arteriyel yapıya benzer. Ancak interfasiküler venüllerin sayısı arteriollerin sayısından fazla görülmektedir.

Endonöral kapillerlerin endotel hücreleri arasında sıkı bağlantılar mevcuttur. Bunlar, kan-beyin bariyerine benzeyen, geçirgenliği kontrol eden kas-sinir bariyerini oluşturur. Epinöral ve perinöral kapillerlerin endotelyal hücreleri arasındaki ilişki ise sıkı değildir. Bu nedenle çevre dokulara bir miktar sızıntı olabilir. Perinöral ve endonöral damarlar fasiküler pleksuslar oluştururlar. Bu organizasyon epinöral damarlarda yoktur. Bu pleksuslar, periferik sinir yapısına katılan her bir fasiküle minyatür bir dolaşım sağlar (29).

Çevre dokudan ayrılmış, sinir devamlılığı iki ucundan kesilerek sonlandırılmış bir sinir segmentinin kan dolaşımı sadece ekstrensek dolaşımı sağlanabilir. Bu özelliğin bulunması, serbest vaskularize sinir grefti kavramı ve uygulamalarını gündeme getirmiştir (31).

2.2.5 Lenfatikler

Epinöriumdaki lenfatik sıvı, sinir gövdesini besleyen arterlerle birlikle bulunan lenfatik kapillerlerce drene edilir. Fasiküller içinde gerçek lenfatik kapillerler yoktur. Ancak sinir fibrilleri arasında sıvı dolu endonöral boşluklar vardır. Bu boşluklar ile ekstrafasiküler lenfatikler arasındaki perinörium etkin bir bariyer oluşturur. Bu nedenle endonöral ödem dışarıya çıkamaz ve endonöral nekroz-skar oluşabilir (27).

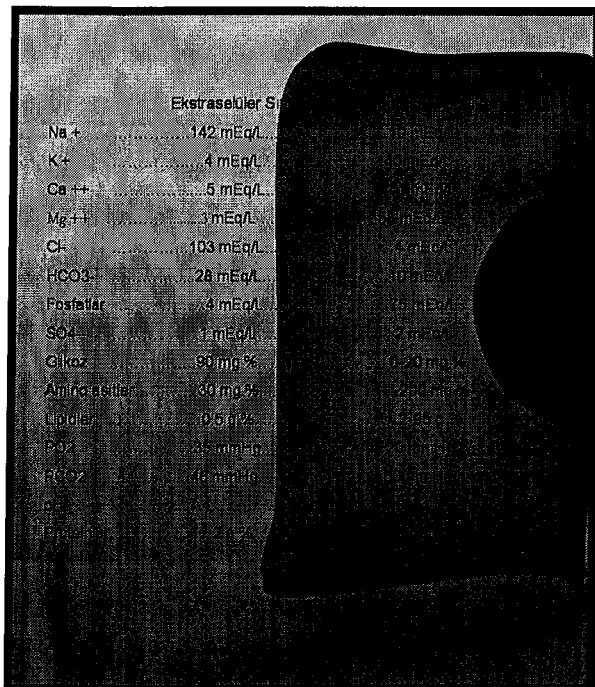
2.2.6 Sinirler

Nervi nervorum adı verilen, sinir gövdeleri ve perivasküler pleksus içindeki fibrillerden kaynaklanan özel sinirleri vardır. Bağ dokusunun her üç katında da yaygın ağ oluştururlar. Hem sempatik hem de duyu lifleri içerirler (27, 29).

2.3. PERİFERİK SİNİRLERİN FİZYOLOJİSİ

2.3.1. Vücut Sıvıları ve İyon Bileşimleri

Vücutta intrasellüler sıvı adı verilen hücre içi sıvısı, ekstrasellüler sıvı adı verilen hücre dışındaki sıvıdan çok farklıdır. Hücreler arasında dolaşan interstisiyel sıvı ve kan plazmasının sıvısı kapillerlerin çeperinden serbestçe karışırlar ve birlikte ekstrasellüler sıvayı oluştururlar. Ekstrasellüler sıvı, hücrelere fonksiyonları için gerekli besin maddeleri ve elektrolitleri sağlar. Fakat hücrelerin bu maddelerden faydalananabilmesi için hücre membranından taşınmaları gerekmektedir. Şekil 4'de görüldüğü gibi ekstrasellüler sıvı, büyük miktarda sodyum, az miktarda potasyum içerir. İtrasellüler sıvı için bunun tam tersi doğrudur. Ekstrasellüler sıvı fazla miktarda klor içermesine rağmen intrasellüler sıvıda klor seviyesi çok azdır. Bununla birlikte intrasellüler sıvıda, organik metabolizma ara maddelerinin hemen hepsinde bulunan fosfat ve protein konsantrasyonu, ekstraselüler sıvıdan daha yüksektir. İtrasellüler ve ekstrasellüler sıvıların bileşimleri arasındaki bu farklar hücrelerin yaşamı için çok önemlidir.



Şekil 4: Ekstrasellüler ve intrasellüler sıvıların kimyasal bileşenleri

taşıma özellikleri sahiptir.

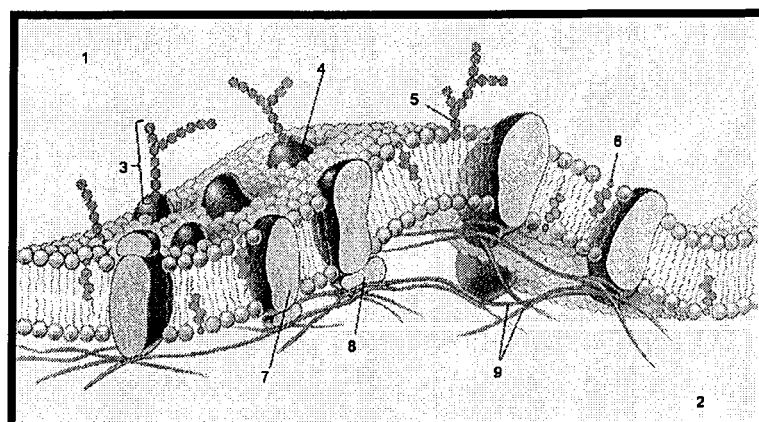
Moleküler yapıları lipid tabakasını yer yer keserek hücre membranında moleküler için bir geçit alanı oluştururlar. Bu nedenle hücre membranında bulunan çoğu protein molekülü taşıyıcı moleküldür.

Proteinlerin, moleküller taşıma şekilleri iki çeşittir. Kanal protein adı verilen proteinler, içlerinde boylu boyunca uzanan su dolu aralıklardan belirli iyon ve molekülerin geçişine izin verirler. Taşıyıcı proteinler ise taşınacak maddeye bağlanırlar ve kendi moleküler yapılarında değişikliğe uğrayarak maddenin yer değiştirmesini sağlarlar. Hem kanal proteinleri hem de taşıyıcı proteinler membrandan geçirecekleri molekül tipi ya da tipleri yönünden ileri derecede seçici niteliğe sahiptir.

2.3.2. Hücre Membranında Lipid Bariyer ve Taşıyıcı Proteinler

Hücre membranı, temel olarak çift katlı lipid tabaka ve lipid içinde yüzey durumda çok sayıda protein moleküllerinden oluşur (Şekil 5).

Bu lipid bariyer ekstrasellüler ve intrasellüler sıvıların birbirine karışmasını engellediği gibi suda eriyen maddelerin çoğununda kompartmanlar arasında yer değiştirmesine engel olur. Öte yandan protein molekülleri tamamen farklı



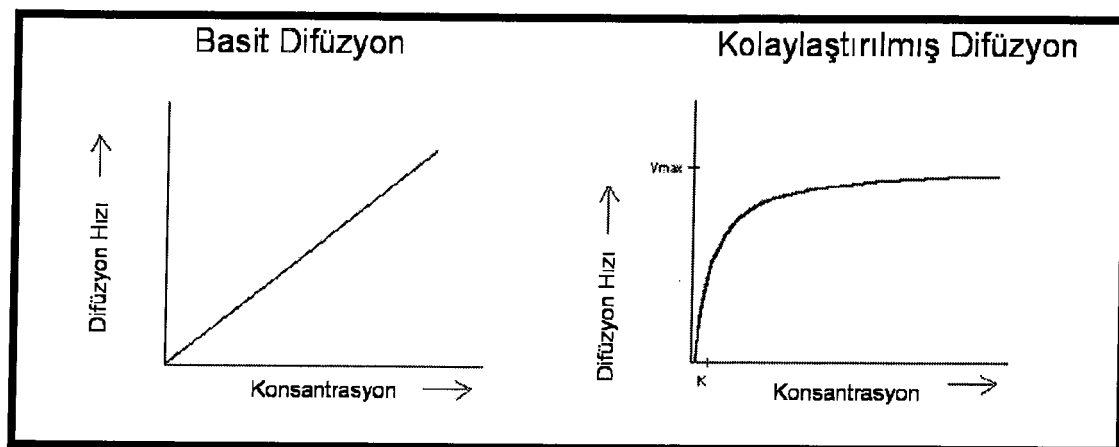
Şekil 5: Hücre membranının şematik çizimi.

1:Ekstrasellüler sıvı, 2:Sitoplazma, 3:Karbonhidrat, 4:Glikoprotein, 5:Glikolipid, 6:Kolesterol, 7:Integral protein, 8:Periferal protein, 9:Sitoplazma iskeletini oluşturan filamentler

2.3.3. Difüzyon ve Aktif Transport

Hücre membranından geçiş, ister lipid tabakadan olsun ister protein molekülleri aracılığıyla olsun temel olarak iki yolla gerçekleşir: Difüzyon ya da aktif transport. Bu iki mekanizmanın birçok değişik şekilleri olsa bile temel olarak; difüzyon, maddelerin normal kinetik hareketleri sonucu membrandaki aralıklardan doğrudan ya da bir taşıyıcı proteinle birleşerek membrandan iletisi anlamına gelir. Bu transport sırasında herhangi bir enerji kullanmaya gerek duyulmaz. Bunun aksine aktif transport, iyonların ya da diğer maddelerin taşıyıcı bir proteine bağlanarak membranı geçmeleri demektir. Ancak burada, bir enerji gradyanına zıt yönde, örneğin düşük konsantrasyon durumundan yüksek konsantrasyon durumuna doğru hareketi sağlayacak kimyasal enerji gereklidir (32).

Difüzyon, hücre membranında iki şekilde gerçekleşir. Bunlar basit difüzyon ve kolaylaştırılmış difüzyondur. Basit difüzyonda maddeler hücre membranını geçerken herhangi bir proteine bağlanmazlar. Difüzyonun hızını mevcut maddenin miktarı, kinetik hareketin hızı ve hücre membranında iyon ve moleküllerin hareket edebilecekleri aralıkların sayısı tayin eder. Kolaylaştırılmış difüzyonda ise iyon ya da moleküller hücre membranında kendilerinin hücre içine ve dışına her iki yönde hareketlerini sağlayacak olan bir taşıyıcı protein kullanırlar. Kolaylaştırılmış difüzyonda da enerji gereksinimine ihtiyaç yoktur. Kolaylaştırılmış difüzyonun basit difüzyondan ayrılmasını sağlayan başka önemli bir fark ta açık bir kanalda difüzyonun hızı, difüzyona uğrayan maddenin konsantrasyonu ile orantılı olarak arttığı halde, kolaylaştırılmış difüzyonda difüzyonun hızı maddenin konsantrasyonu artarken V_{max} (V_{max}) değerine yaklaşır. (Şekil 6)



Şekil 6: Kolaylaştırılmış ve basit difüzyonda difüzyon hızı-konsantrasyon eğrileri

Membran üzerinde kolaylaştırılmış difüzyonla görevli proteinler, geçişini sağlayacakları maddeler için selektif bir kapı görevi görürler. Bu kapılar hücre membranında iki çeşittir. Bunlardan ilki “voltaj kapılarıdır”. Sinir hücresinde bulunan voltaj kapılarının en önemlileri sodyum voltaj kapıları ve potasyum voltaj kapılarıdır. Voltaj kapılarının moleküler durumu hücrenin membranındaki elektriksel potansiyele göre değişir. Yani, hücre membranının iç yüzündeki kuvvetli negatif yük sodyum kapısının kapalı olmasını sağlar. Membran, iç yüzeyindeki negatif yükü kaybettiği zaman, bu kapılar anı olarak açılıp büyük miktarda sodyumun, sodyum deliklerinden içeri girmesine izin verirler. Bu olay sinirlerde, sinyallerin doğusundan sorumlu aksiyon potansiyelinin temel nedenidir. Potasyum kapıları membranın iç yüzü pozitif yüklendiği zaman açılır. Bu cevap, kapının çok yavaş açılmasıyla sodyum kapılarından ayrılr. Sonuç olarak, potasyum iyonlarının hücreden dışarıya çıkış, sinir lifi membranın aksiyon potansiyelinin sonunda eski haline dönmesine yardım eder (32).

Membran üzerinde kolaylaştırılmış difüzyondan sorumlu ikinci kapı ise “ligand kapılarıdır”. Bu kapıların çalışma mekanizmasında kapıların açılması için “ligand” adı verilen maddelere ihtiyaç vardır. Ligand kapılarının en önemli örneği “asetil kolin kapısı”dır. Bu kapılar, uyarının bir sinirden diğerine ya da sinirden kasa iletilmesi noktalarında görev yaparlar.

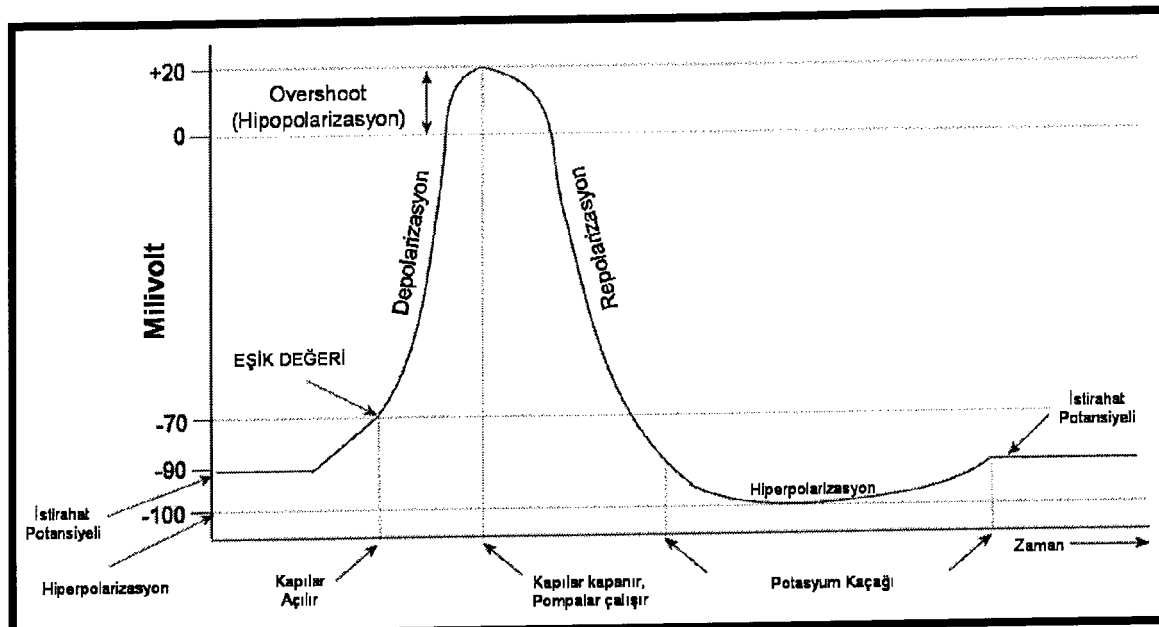
Aktif transport, kolaylaştırılmış difüzyonda olduğu gibi, membranda bulunan taşıyıcı proteinlerle maddelerin taşınması esasına dayanır. Ancak aktif transportun taşıma sistemi kolaylaştırılmış difüzyondan farklıdır. Çünkü burada

taşıyıcı proteinin maddeyi elektrokimyasal gradyana zıt yönde hareket ettirecek bir enerji sağlamaası gereklidir. Bu nedenle kullanılacak enerji ATP'den gelir. Buna ek olarak aktif taşıyıcı proteinler ATP-az enzim aktivitesine sahiptirler (32).

Vücutta en yaygın aktif taşınma mekanizmalarından biri, sodyum iyonlarının hücre dışına, aynı zamanda potasyum iyonlarının dışarıdan içeriye taşınmasını sağlayan "sodyum-potasyum pompası" adı verilen mekanizmadır. Sodyum-potasyum pompası, hücre içerisindeki 3 sodyum molekülünü hücre dışına çıkarırken iki potasyum molekülünü hücre içine alır. Bu işlemin gerçekleşebilmesi için 1 molekül ATP'nin ADP'ye dönüşüp yüksek enerjili fosfatın ortaya çıkması gerekmektedir. Bu pompa, sinir hücresi membranının iki tarafında sodyum-potasyum konsantrasyonlarının farklı olması yanında hücre içinde negatif elektriksel potansiyelin de oluşmasını sağlar. Sinir hücrelerinde bu sodyum-potasyum pompası dışında kalsiyum ve sodyum-glikoz pompaları bulunmaktadır ve bu pompalarda sorumlu oldukları maddeleri gradyanın zıt yönünde taşıma işini yaparlar (32).

2.3.4. Aksiyon Potansiyeli

Sinir sinyalleri, membran potansiyelindeki hızlı değişimlerden ibaret olan aksiyon potansiyelleri ile iletirler. Her aksiyon potansiyeli, istirahat potansiyelinin negatif değerden ani olarak pozitif bir değere doğru yükselmesiyle başlar ve hemen hemen aynı hızla tekrar negatif potansiyele dönüş olur. Sinir sinyalinin iletisinde, aksiyon potansiyeli sinir lifi boyunca sinir ucuna kadar yayılır. Aksiyon potansiyelinin başlaması ile pozitif yükler hücre dışından hücre içine doğru göç ederler ve ileyi sonrası tekrar hücre dışına geçerler. Aksiyon potansiyelinin ortaya çıkıştı saniyenin onda biri gibi bir sürede olur ve hücre içinde yük dağılımının tekrar eski halini alması yine bu kadar sürede gerçekleşir. (Şekil 7) Aksiyon potansiyelinin birbirini takip eden aşamaları aşağıdaki gibidir (33).



Şekil 7: Aksiyon Potansiyeli

Istirahat dönemi: Aksiyon potansiyelinden önceki istirahat potansiyelini belirtir. Bu aşamada büyük bir negatif membran potansiyeli bulunması nedeniyle membran polarize durumdadır. İstirahat potansiyelinin değeri -90mv'dur.

Depolarizasyon dönemi: Bu sırada membran sodyum iyonuna karşı büyük bir geçirgenlik kazanarak, çok büyük miktarda sodyum iyonunun akson içine akmasına yol açar. Normal -90mv'luk "polarize" durum kaybolur ve potansiyel hızla pozitif yük yönünde yüklenir. Buna depolarizasyon denir. Kalın sinir liflerinde membran potansiyeli genellikle sıfır düzeyini aşarak hafifçe pozitif olur. Fakat bazı küçük lifler ve merkezi sinir sistemi nöronlarında potansiyel ancak sıfır düzeyine yaklaşır ve pozitif duruma geçmez (Şekil 7).

Repolarizasyon dönemi: Membranın sodyum geçirgenliği çok artıktan ve membran potansiyeli uyarının iletisi için gerekli pozitifliğe ulaştıktan sonra sodyum kanalları hemen açıldıları sürede kapanır. Daha sonra potasyum iyonlarının dışa doğru hızlı difüzyonu normal negatif istirahat potansiyelinin tekrar oluşmasını sağlar. Buna membranın repolarizasyonu adı verilir.

Aksiyon potansiyelinin başlangıcında sodyum kanalları ani olarak aktive olur ve sodyum iletkenliği 5000 kat artar. Daha sonra gelişen sodyum kanallarının

inaktivasyonu birkaç milisaniye içinde gerçekleşir ve sodyum kanalları kapanır. Aksiyon potansiyelinin başlaması voltaj kapılı potasyum kanallarının da birkaç milisaniye içerisinde açılmaya başlamasına neden olur. Aksiyon potansiyelinin sonunda membran potansiyelinin negatif duruma dönmesiyle potasyum kanalları da orijinal durumlara dönerek kısa bir gecikmeden sonra kapanırlar. Aksiyon potansiyelinin başlangıcında sodyum iletkenliğinin potasyum iletkenliğine oranı 1000 kattan fazla artar. Böylece potasyum iyonlarının dışarı çıkışından çok daha fazla sodyum iyonu sinir lifine girer. Bu membran potansiyelini pozitif yapar. Bu sırada sodyum kanalları inaktive olurken, potasyum kanalları açılır. İletkenlik oranı potasyum iletkenliği lehine artar. Sonuçta hücre içerisinde potasyum iyonlarında hızlı bir azalı̄ gözlenir. Aksiyon potansiyelinin hızı sıfır düzeyine iner (33).

Membran potansiyelinin aksiyon potansiyeli bittikten sonra birkaç milisaniye için orijinal membran istirahat potansiyelinden daha da negatif oluşу dikkati çekmektedir. Buna “pozitif artpotansiyel” ya da hiperpolarizasyon adı verilmektedir. Pozitif artpotansiyel isminin kullanılması yanlış anlaşılmalara neden olmaktadır. Çünkü pozitif artpotansiyeli aslında istirahattan daha negatiftir. Pozitif denmesinin sebebi eskiden ilk olarak potansiyel ölçümlerinin sinir membranından değil dışından yapılmasına dayanır. Böyle ölçümlede bu potansiyel pozitif tarafa kayma şeklinde kaydedilir. Pozitif artpotansiyelin başlıca nedeni, membranda repolarizasyon olayı tamamlandıktan sonra birkaç potasyum kanalının birkaç milisaniye açık kalmasıdır. Böylece potasyum iyonları sinir lifinden dışarı çıkararak içinde pozitif iyonları daha da eksiltip negativiteyi artırmaktadır (33).

Aksiyon potansiyeli gerçekleştirken hücre içinde ve dışındaki diğer iyonlarda da değişiklikler olmaktadır. Sodyum kanalları aktive edildiği sırada interstisyal sıvıdaki kalsiyum konsantrasyonun voltaj düzeyi üzerine etkisi çok büyktür. **Kalsiyum** iyonları eksikliğinde sodyum kanalları membran potansiyelinin normal **istirahat** düzeyi üzerine hafifçe yükselmesiyle kolayca aktive olur. Böylece uyarılabilitiği çok artan sinir lifleri bazen istirahat durumunda kalmayarak hiçbir uyarın olmadan tekrarlayan uyarılar gösterirler. Periferik sinirlerin çoğunda **spontan** deşarjların meydana gelmesi için kalsiyum konsantrasyonunun normalin

%30–50 altına inmesi yeterlidir. Bu deşarjlar kaslarda “tetani” denilen kasılmalara neden olurlar. Kalsiyum iyonlarının sodyum kanalları üzerine olan etkisi, kalsiyum iyonlarının sodyum kanalları dış yüzüne tutunup kanal proteininin elektriksel durumunu değiştirerek kapıları açmak için gerekli voltaj düzeyini yükseltmeleri şeklindedir. Akson içerisinde membranı geçemeyen birçok negatif yüklü iyonlar vardır. Bunlar arasında protein molekülleri, birçok organik fosfat bileşikleri, sülfat bileşikleri vb. sayılabilir. Liflerin içindeki negatif yükten membranı geçemeyen bu maddeler sorumludur. Klorür iyonları ise istirahat halindeki membranda sodyum ve potasyum iyonları gibi az miktarda sızma gösterir. Normal sinir lifinde potasyum iyonlarının hemen yarısı kadar hızda, klorür iyonu difüzyona uğrar. Ancak klorür iyonları aksiyon potansiyelinin oluşumu sırasında pasif kalırlar. Aksiyon potansiyeli sırasında klorür sızma kanalları geçirgenliğinde anlamlı bir değişiklik olmaz. Membranın iç yüzeyindeki negatifliğin geçici olarak kaybı sonucu az miktarda klor iyonu sinir lifinin içine difüzyona uğrar. Klor iyonlarının bu hareketi aksiyon potansiyeli sırasında voltaj değişikliğinden zamanlamayı hafifçe değiştirse de esas olayı etkilemez (33).

Sinir lifi boyunca her impuls iletisi membranın içi ile dışı arasında sodyum ve potasyum konsantrasyonları arasındaki farkı azaltır. Çünkü depolarizasyon sırasında sodyum iyonları içeriye, repolarizasyonda da potasyum iyonları dışarıya difüzyona uğrarlar. Tek bir aksiyon potansiyelinin bu etkisi ölçülmeyecek kadar küçüktür. Bu nedenle konsantrasyon farkı aksiyon potansiyelinin iletisini durduracak bir düzeye inmeden sinir lifinde 100000-500000 impuls iletilebilir. Böyle olsa bile membrandaki sodyum ve potasyum farkları zamanla tekrar sağlanır. Bunu sağlayan sodyum-potasyum pompasıdır. Sodyum potasyum pompasının çalışması için enerji gereğinden sinir liflerinin bu tekrar yüklenme işlemi bir aktif metabolik olaydır. Gerekli enerji adenozin trifosfattan (ATP) sağlanır (33).

2.4 PERİFERİK SINİR YARALANMALARI

Periferik sinir yaralanması sonucu uyarı iletim elemanlarının ve aksonal devamlılığın kaybını ile sinir iletiminin aksaması ya da engellenmesi meydana gelir. Yaralanan bölgenin proksimal ve distal ucunda, hedef organlarda

dejeneratif değişiklikler oluşur. Sunderland(34) (Şekil 8), bu yaralanmaları 5 gruba Seddon(16) ise 3 gruba ayırır. Günümüzde yaralanmalar 6 alt grupta incelenir.

1. *Birinci derece*: Aksonal devamlılığın mevcut olduğu, demiyelinizasyonun eşlik edebildiği, kompresyon yada iskemi sonucu oluşan lokal iletim bloğudur. Genelde 2–3 haftada tamamen iyileşir.

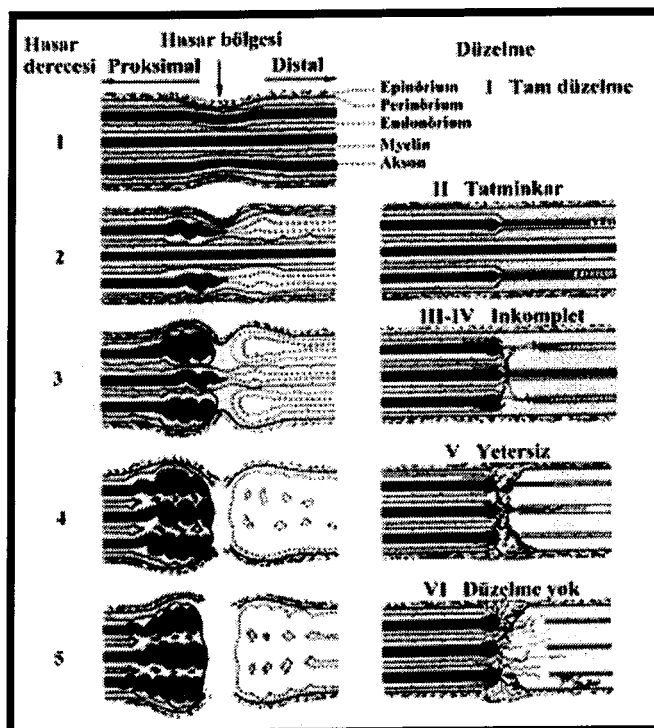
2. *İkinci derece*: Aksonal devamlılığın bozulduğu ancak destek yapılarının (endonörium, perinörium, epinörium) sağlam kaldığı yaralanma şeklidir. Wallerian dejenerasyonu oluşur. İyileşme aylar sürebilir.

3. *Üçüncü derece*: Aksonal hasarlanmanın yanında endonöriumunda ayrılmış bulunduğu hasarlanmadır. Epinörium ve perinörium sağlamdır. İyileşme interfasiküler fibrozisin etkileme derecesine bağlı olarak zayıf ile tam arasında değişebilir.

4. *Dördüncü derece*: Aksonal ve endonöral hasarla beraber perinörium ve tüm destekleyici unsurların bozulduğu yaralanmadır. Epinörium sağlamdır. Sinir genellikle sertleşmiş ve genişlemiştir.

5. *Beşinci derece*: Tam kesi ile periferik sinir devamlılığını tamamen kaybetmiştir (Şekil 8).

6. *Altıncı derece*: Birinci dereceden dördüncü dereceye kadar olan unsurların bir



Şekil 8: Periferik sinir yaralanmaları (Sunderland) (35)

kombinasyonudur. Korunmuş duyu fasikülleri olabilir.

- Seddon, periferik sinir yaralanmalarını üç gruba ayırmıştır;
- 1-Nöropraksi,
 - 2-Aksonotmezis,
 - 3-Nörotmezis.

2.4.1 Nöropraksi

Darbe sonucu kontüzyon tarzı yaralanmaların, künt travmanın, hafif kompresyonun, iskemi veya sinirin aşırı derece gerilmesinin yol açtığı periferik sinir yaralanmasıdır. Uzun süre bacak bacak üstüne atmak sonucu ortaya çıkan peroneal sinir felci ve cumartesi gecesi felci (saturday night palsy) hafif derecede kompresyonun yol açtığı nöropraksiye örnek olarak verilebilir. Nöroprakside oluşan patoloji, biyokimyasal yapıdaki değişiklik ve myelin tabakasının etkilenmesine bağlıdır. Palpasyon ve inspeksiyonda sinir normaldir, hatta mikroskopide normal olabilir. En kötü ihtimal ile silindirik akson korunur segmental demyelizasyon ortaya çıkar. Nöroprakside fokal iletim bloğu mevcuttur. Geçici iskemi veya basıya bağlı olarak gelişebileceği gibi fokal demyelinizasyon sonucu da oluşabilir. Nöroprakside görülen duyu kaybı, duyu zayıflaması, aksonal kesilerdeki gibi ciddi olabilir. Elektrofiziolojik değerlendirmelerle aksonal devamlılığının tespiti çok önemlidir. Ancak akut durumlarda bunu ayırmak mümkün olmayabilir. Bu sırada distal sinir ucu boyunca ileti mümkün değildir.

Bu ara dönemde yapılan çalışmalar, iletim özelliklerinin fokal anomalilikten çok, sürekli kaybına bağlı iletimin durması şeklinde olduğunu göstermektedir. Birkaç aksonda görülen sürekli iletim, sinir devamlılığının işaretini olup, cerrahi girişim olmaksızın fonksiyonel iyileşmenin olabileceğini düşündürür. Çünkü EMG'de aksonal devamlılığının kaybı olmaksızın, fonksiyon paralizisine neden olan lezyonlar sinirin sıkışması sonucudur ve demyelinizasyonla ilgilidir. Tanı ve tedavide sinirde oluşan hasarın nasıl ortaya çıktığı önemlidir (16).

2.4.2 Aksonotmezis

Akson ve myelin devamlılığının kaybı ve destek dokunun korunması ile karakterizedir. Anatomik olarak epinörium, perinörium, endonörium tüpleri korunmuştur. Fakat hasarın distalinde dejeneratif aksonlarda Schwann hücreleri proliferasyonu ve makrofajlar görülür. Hasarın derecesine göre distalde myelin tabaka ve aksonal devamlılığının kaybına Wallerian dejenerasyon eşlik eder. Hasarın hemen proksimalındaki segmentte iletimin azalması, akson ve myelin çapındaki azalmaya bağlıdır. Fibrilasyon, innervasyon kaybından 2–3 hafta sonra

başlar. İstemli hareket yapılmak istendiğinde kas aksiyon potansiyeli yoktur. Stimülasyonun distalinde hareket oluşmaz (16).

2.4.3 Nörotmezis

Nörotmezisde akson, endonörium, perinörium ve epinörium devamlılığı yoktur. Wallerian dejenerasyon vardır (16). Periferik sinir kesisinde sinir hücresinin gövdesinde ve proksimal ucta değişiklikler olur. Aksonun kesilmesini takiben nöron gövdesi ölebilir ya da nöronda anatomik ve fonksiyonel değişiklikler başlar. Hücre gövdesi hacminde artma, nükleusun merkezden perifere doğru göçü, stoplazmada bazofilik cisimciklerin kaybı meydana gelir. Hücre, rejenerasyon için gerekli maddelerin sentezini hızlandırır. Kesik nöronlarda uyarılabilme ve iletim fonksiyonundan ziyade onarım ön plandadır (26). Aksonal rejenerasyon için gerekli mikrotübül ve mikroflaman sentezi artar. Kesi sonrası proksimalde görülen dejenerasyon, retrogradt olarak en yakın Ranvier noduna kadar ilerler. Yine kesik ucta perinöriumun kesilmiş ya da yırtılmış olması, ödemli fasiküllerin düzeninin bozulup dağılmasına yol açar. Hücre içerisinde elektrolit dengesi bozulur ve kesik uçtan protein kaybı olur.

Periferik sinir kesisini takiben distal sinir ucunda da dejenerasyon olur. Bu dejenerasyon ilk kez Waller (1850) tarafından tanımlandığı için *Wallerian Dejenerasyonu* adı verilmiştir. Bu işlem ile aksoplazma ve myelin debris ortamdan uzaklaştırılır. Kesi sonrasında açığa çıkan proteolitik enzimler lizisi başlatır. Bunu, yaralanmadan yaklaşık 10–14 saat sonra açığa çıkan Schwann hücre proliferasyonu izler ve yaklaşık iki hafta sürer. Bölgeye fibroblast göçü ile debris temizliği aylarla ifade edilen sürede tamamlanır. Prolifere olan Schwann hücreleri rejenerasyon için gerekli myelin sentezini gerçekleştirirler. Bazal membran ile sarılı Schwann hücre kolonileri endonöral tüpleri oluşturur, rejenere aksonlara kılavuzluk yaparlar (36).

Periferik sinir kesisini takiben hedef organ dejenerasyonu adı verilen değişiklikler olur. Hedef organ, hareketle görevli kas dokusu veya duyu işleviyle görevli deridir. Denervasyon sonucu her iki türden hedef organda da dejenerasyon görülebilir. Duyu siniri kesisinde reinnervasyonun varlığı klinik test

ve subjektif duyum ifadelerine dayalı olarak saptanmaya çalışılır. Deride deinnervasyon sonrasında trofik değişiklikler gözlenir. Duyusal reinnervasyon çalışmalarında, yeterli innervasyon elde edilebilmesi için hedef organın ne kadar süre deinnerve kalacağı ile ilgili bir bilgi yoktur. Çok uzun süreli deinnervasyon sürelerinde dahi reinnervasyonu takiben yeterli duyu elde edilebilmiştir. Duyu sinirlerindeki reinnervasyonda, koruyucu duyunun geri gelmiş olması ve iki nokta ayırm testi ile ortaya konan iki nokta ayrimının olabildiğince küçük olması arzu edilir (37).

Hedef organ kas ise, liflerde atrofi gözlenir. Atrofi başlangıçta çok hızlı seyreder, dördüncü aydan sonra daha düşük hızlara iner, 4.-5. aylardan sonra % 80–90 atrofi gerçekleşmiş olur. Deinnervasyon iki üç yıldan fazla sürerse, deinnerve kas fibrozise gider, çeşitli faktörler de fibrozise eklenirse kontraktürle sonuçlanır (17,26,34).

Periferik sinir kesisi sonrası akson rejenerasyonunun temel mekanizmaları hakkındaki bilgi birikimi giderek artmaktadır. Aksonal tomurcuklanması başlatarak rejenerasyonu sağlayan mekanizmalar halen tam olarak aydınlatılamamıştır. Rejenerasyon işleminde aksonlar, nöronal olmayan hücreler ve ekstraselüler elemanlar rol oynar. Diğer taraftan yaralanma bölgesindeki nörotrofik (humoral) faktörlerin rejenerasyon etkileri deneysel olarak yoğun şekilde araştırılmaktadır (30,38,39).

2.5. PERİFERİK SİNİR REJENERASYONU

Fonksiyonel bir sinir rejenerasyonu için üç önemli işlemin başarı ile tamamlanması gereklidir.

1. Aksonal kesi sonrası nöron gövdesi canlı kalmalıdır.
2. Bu nöronlar proksimal uçtan aksonu rejenerere etmeli ve rejenerere akson ucu distal sinir güdügüne girmelidir.
3. Rejenerere aksonlar proksimal güdükten çıkış kendilerine ait doğru uç organ hedefleri ile birleşmelidir (26).

Kesinin proksimal ucunun en distalindeki Ranvier düğümü düzeyinde Schwann hücrelerinin kontrakte olması ile aksonal tomurcuklanma başlar. Dejenere sinir kılıflarından ve deinnerve dokulardan salınan trofik faktörlerce

akson rejenerasyonunun tetiklendiğine inanılmaktadır (26,30,39). Bu tomurcuklanma ise hücre elemanları ile birlikte yaralanmadan 24 saat sonra başlar. Tomurcuklanma birden fazla sayıda kollateraller şeklinde olabilir. Rejenere aksonlar, distal uçtaki endonöral tüpler içine doğru ilerler. İlerlemenin hızı canlı türlerine göre değişir. Rejenere aksonlar ve kollateralleri distaldeki endonöral tüplere birbirinden bağımsız olarak rastgele girerler. Maalesef her aksonal rejenerasyon normal sinir fonksiyon ve morfolojisi ile sonuçlanmaz. Akson uçları kesi hattını geçemez veya distaldeki endonöral tübe giremezse nöroma oluşturur ya da fonksiyonel reinnervasyonu oluşturamazlar (12).

Duyusal rejenerere bir aksonun kollateralleri ya da aksonun kendisi farklı duyu reseptörlerine gidebileceği gibi, motor aksonlar da duyusal endonöral tüplere girerek uygunsuz duyu-motor reinnervasyonuna neden olabilir (12,26).

Rejenere aksonun çevresini kuşatan Schwann hücreleri hem aksonun büyümeyi indükler, hem de proksimalden distale remyelinizasyonu başlatır. Promyeline lifler, doğru hedef organa ulaştıktan sonra süreç içinde maturasyonunu tamamlar ve proksimalden distale doğru akson çapı artar. Ancak hiçbir zaman kesi öncesi miyelin kalınlığı ve akson çapına erişemezler. Bu sırada promyeline rejenerere aksonlara uygulanan bası ve mikrotravmalar, kılıf kalınlığı ve akson çapının daha alt düzeylerde kalmasına neden olur (40). Sinir rejenerasyonunda sinir hücresinin yaşamını ve büyümeyi destekleyen hümoral faktörlere nörotrofik faktörler, büyüyen ve rejenerere olan sinir uçlarına yapışarak onların büyümeye yönünü etkileyen faktörlere ise nörotropik faktörler denir. Temel nörobiyolojideki hızlı gelişmeler, periferik sinirin aksonal rejenerasyonunu içeren moleküller mekanizmalara yeni görüşler getirmektedir. Son çalışmalar, rejenerasyon ve aksonal uzamada hücre adhezyon moleküllerinin, büyümeye faktörlerinin ve reseptörlerin önemli rolleri olduğunu göstermiştir. Nörotrofik faktörlerin, lif maturasyonu, uygun ve doğru rejenerasyonu kolaylaştırmadaki etkileri vurgulanmaktadır (39).

2.6. SINİR KONDUİTLERİ

Sinir defektlerinin tedavisinde altın standart, otolog sinir grefti kullanımıdır

**Sinir Defektlerinin Tedavisinde
“OTOLOG SINİR
GREFTİ” kullanılmıştır.**

(41,42). Vücutta alınacak yeterli mikarda sinir grefti bulunmaması ve donör alan morbiditesi nedeniyle bir çok otolog ve

nonotolog sinir conduit modeli geliştirilmiştir. Bir sinir konduiti sinir hasarının proksimal ucunda aksonal filizlenmeye izin vermelii, distal uçtan salınan büyümeye faktörlerinin difüzyonunu sağlamalii ve skar formasyonuna engel olmalıdır. Bu amaçlar çerçevesinde, araştırmalar, mevcut olan doğal ve sentetik materyallere odaklanılmışlardır. Ancak bu materyallerin otolog sinir greftlerinin performansını yakalaması sağlanamamıştır. Son zamanlarda, eldeki materyalleri kombine ederek yeni sinir konduitleri oluşturulmaya ve sentetik olmayan nonotolog conduitlere karşı oluşan immün cevabı minimalize etmeye çalışılmaktadır (43). Günümüze kadar araştırılmış sinir conduitlerinin listesi aşağıda verilmiştir (43).

Sinir greftleri ve sinir conduit materyelleri:

Otolog doku greftleri

1. Sinir greftleri (altın standart) (41,42)
2. Ven greftleri (44-46)
3. Kas greftleri (47,48)
4. Epinöral kılıf (49)
5. Tendon greftleri (50)
6. Mezotelial çember (51,52)

Nonotolog / asellüler greftler

1. Allograft ve immunsupresyon (53)
2. Asellüler allograftler ve xenograftler
 - Termal desellülerizasyon (54,55)
 - Radyasyon tedavisi (56,57)
 - Kimyasal desellülerizasyon (58,59)
3. İnce barsak mukozası (60,61,62)
4. Amnion zarı (63,64,65)

Sentetik olmayan moleküllerden oluşan materyaller

1. ESM proteini içeren materyaller

Fibronektin (66, 67)

Laminin (68, 69)

Kollajen (70-72)

2. Hyaluronik asid bazlı materyaller (73)

3. Fibrin / fibrinojen (74,75)

4. Diğer materyaller (aljinate, agaroz...) (76-78)

Sentetik materyaller

1. Emilebilen sentetik materyaller

Poli(laktik asid) (PLA) (79,80)

Poli(laktik-ko-glikolik asid) PLGA (81)

Poli(kaprolaktone) (82,83)

Poli(üretan) (84)

Poli(organo)fosphazen (85)

Poli(3-hidroxibutirat) (86)

Poli(etilen glikol) "glue" (87,88)

Biodegradable cam (89,90)

2. Elektriksel aktif materyaller

Piezoelektrik (91)

Elektriksel konduksiyon (92)

3. Emilemeyecek sentetik materyaller

Silikon (93,94)

Gore-Tex veya ePTFE (95-97)

2.6.1. Otolog doku greftleri

Otolog doku greftlerinin sinir defekti onarımında geniş bir kullanım alanı mevcuttur. Otolog doku greftlerinin doku uygunluğunun yapay dokulardan daha iyi olması, daha az toksik olmaları, hücre adezyon ve migrasyonunu destekleyen yapılarının olması gibi avantajları vardır. Bunların yanında, elde edilmelerinde potansiyel zorluklar içermektedirler. Şimdiye kadar yapılan deneysel ve klinik

çalışmalarda birbirinden çok farklı otolog doku grefti, sinir defektlerinin onarımında denenmiştir.

Sinir greftleri: Otolog doku greftleri arasında sinir defeklerinin onarımında en iyi sonuçları veren sinir greftleridir ve bu alanda ki tedavilerde altın standart olarak değerlendirilmektedir. Bu nedenle araştırılan bir konduit modeli öncelikle sinir greftiyle karşılaşılmalıdır. Ancak insan vücudunda sınırlı sayıda sinir grefti bulunması, geniş defekleri tamir etmede zorluklar çıkarmaktadır. Duyusal sinirin farklı fasiküler yapısı ve geniş çaplı sinir greftlerinde nekroz oluşması karşılaşılan diğer problemlerdir. Sinir greftleri, sural ya da safenöz sinir gibi birkaç kutanöz sinirden elde edilebilir. En çok kullanılan sinir grefti, sural sinirdir. 40 cm uzunluğunda alınabildiği ve 2-3 cm çapa kadar ulaşan sinir greftleri elde edilebildiği rapor edilmiştir (34).

Ven greftleri: Ven greftlerinin, küçük sinir defektlerinin tedavisinde kullanımı oldukça popülerdir. Sinir kılıfına benzer bir doku kompozisyonuna sahip olması, sinir rejenerasyonuna izin vermesi ve önemli nörotropik faktörleri sağlama avantajları arasındadır. Lamininden çok zengin bir basal tabakası bulunmaktadır. Media tabakası da anlamlı derecede laminin içermektedir. Adventisyaya ise primer olarak kollajenden oluşmaktadır. Ven konduit içerisinde başarılı bir şekilde sinir rejenerasyonunun ilerlediği, fare ve tavşan deneylerinde gösterilmiştir (98-102).

Otolog ven greftlerinde 3 cm'ye kadar sinir rejenerasyonun ilerlediği saptanmıştır (100). Daha uzun sinir defeklerinde sinir rejenerasyonu yetersiz kalmaktadır. Bu yetersizliğin temel faktörleri olarak; Schwann hücrelerinin konduit içerisinde eksikliği, ven greftinin zamanla kollabe olması ve fibrozis olarak sayılır. Bu nedenle 3 cm'den uzun sinir defektlerinde ven grefti konduitinin kullanılması önerilmemektedir (103-105).

1.5 cm üzerindeki sinir defektlerinde ven greftleri kullanıldığından bu greftlerin içerisinde ilerleyen aksonların sayısı ve çapında azalma gözlenmiştir. Bu dezavantajı ortadan kaldırmak için metal spiral destekler kullanılması, kollajen içeren maddelerin ven lümenine yerleştirilmesi (106) ve ven grefti ortasına sinir segmenti eklemek için çalışmalar yapılmıştır (107).

Ven greftlerinin diğer bir dezavantajı ven kapakçıklarıdır. Ters yönlü ven kapakçıkları aksonun ilerlemesine engel olabilir ve nöroma formasyonu ile

sonuçlanacak onarımlar ortaya çıkabilir (102). Bunu engellemek için donör venlerin valvsız alanları greft olarak seçilebilir ya da ven ters çevrilerek kullanılır.

Kas greftleri: Periferal sinir rejenerasyonunda basal lamina, sinirin rejenere olmak için tercih edeceği bir extrasellüler matrix içerirse, sinir rejenerasyonu için çok uygun bir iskelet yapı sağlanması olur. Kas tüpleri, Schwann hücrelerinin proksimal uçtan migrasyonu ve distal uçtan salınan nörotropik faktörlerin proksimal uca ulaşımı için açık bir pasaj sağlar. Denatüre kas greftlerinin deneysel çalışmalarında 4 cm' ye kadar olan periferik sinir defektinin onarımında etkili olduğu gösterilmiştir (108-113). Bazı araştırmacılar, kas basal lamina greftlerinin sinir tamirinde sinir greftleri kadar başarılı olduğunu belirtmişlerdir. Özellikle duyusal yeniden yapılanmada önemli avantajlar sağlamaktadır (114).

Bu amaçla; soleus ve adduktor magnus (108), masseter (113), ekstensor kauda internus kası (115), gracilis (116), gluteus maksimus (117) kasları kullanılmıştır. Denatüre kası elde etmek için ardışık dondurma ve çözme işleri uygulanır. Kas dokusu farklı kimyasal solüsyonlara maruz bırakılır (108,118).

Kas greftlerinin bir diğer kullanımı da, diğer tübülerize otolog greftlerin içeresine (ven greft, tendon grefti) extrasellüler matrix olarak yerleştirilerek kullanılmıştır. Bu kullanımla ilgili başlangıçta olumlu çalışmalar bulunsa da, son zamanlarda kontrol gruplarına üstün olmadıkları gösterilmiştir (119,120)

Epinöral kılıf: Epinöral kılıf tüpün 3 şekilde kullanımı tarif edilmiştir. Bunlar; epinöral kaydırma (121), epinöral turnover (122), tüp rezeksyonu ve reformasyonudur (49). Ratların sayistik sinirlerinde yapılan çalışmalarda 7 ile 10 mm civarındaki sinir defektleri onarılabilmiştir. Donör alan morbiditesi olarak epinöriyimda minimal adezyon saptanmıştır. Ancak bunun iletisi hızına, yada sinir gövdesine bir zararı olmadığı belirtilmiştir. Donör alan, epinöriuma benzer bir tabakayla tekrar kaplanmıştır. Bu tekniğin nöral orjinli bir yapıyla sinir defektini onarımı, tamir alanına yakın donör alan kullanılması ve proksimal uçtan ayarlanabilir bir uzunluktan alınma gibi avantajları olsa da disseksiyonda ve epinöral kaydırılmada teknik zorlukları vardır (122).

Tendon greftleri: Otolog bir sinir kondukti arayışı içerisinde olan araştırmacılar, tendon greftlerini de bu amaçla denemişlerdir. Ancak bu konudaki araştırmalar deneysel çalışmalarдан ileriye götürülememiştir. Başlangıçta izole tendon grefti

şeklinde olan kullanımlar, sonradan yerini tendonun (Chitosan) şitosan denen maddeyle bir film şerit gibi sarılmasıyla elde edilen tübüllerin kullanımına bırakmıştır. Şitosanın tek amacı tendona şekil vermek değildir. Laminin isimli protein, çok güçlü bir hücre adezyon molekülüdür ve sinir rejenerasyonuna izin verdiği saptanmıştır. Ancak bu proteinin, büyük bir molekül olması nedeniyle elde edilmesi zordur. Aynı zamanda laminin kanserojenik yapıdadır. Ancak bu proteinin nörojenik çeşitli zincirleri üretilip sinir rejenerasyonu için kullanılabilir. Bu amaçla kullanılan "YIGSR, IKVAV" peptidleri şitosan yüzeyine kovalan bağlarla bağlanabilirler. Böylece şitosanlı tendon, sinir rejenerasyonu için elverişli bir ortama sahip olur. Ancak bu karmaşık kimyasal tepkimelerle elde edilen yeni konduit deney hayvanlarında sadece 15 mm'lik sinir defektlerinde başarılı olmuştur (123).

Mezotelyal Çember: Mezotelyal çember oluşturmak için ince metal spiral ile çevrili silikon tüp, ratların sırtına subkutan olarak implante edilmiştir. 3-4 hafta sonra silikon etrafında mezotelyal döşeme oluşmuştur. Silikon çıkarıldıktan sonra mezotelyal çember elde edilmiştir. Elde edilen mezotelyal tüp, rat siyatik sinirlerindeki 10 mm'lik defektlerin onarımlarında kullanılmıştır (51). Sinir defekti bölgesinde iyi derecede sinir rejenerasyonu saptanmıştır. Sinir morfolojisi ve iletim hızı otolog sinir greftleri ile karşılaştırılabilir düzeyde tespit edilmiş. Bunun nedeni, in vitro çalışmalarla ortaya konan NGF ile aynı nöronotrofik etkiye sahip olan mezotelyal çember sıvısının varlığına bağlanmıştır (124). Mezotelyal kılıf tekniği ayrıca primat modellerde kullanılmıştır. Maymunların ulnar sinirlerinde 3 cm defekt oluşturulmuş ve psödokılıf ile onarılmıştır. Histolojik incelemede 3 cm'lik defekt boyunca rejenerasyon olduğu gözlenmiştir. Morfolojik olarak sinir greftinden farklımasına rağmen, rejenerasyonun kalitesinin benzer olduğu iddia edilmiştir. Duyusal reseptörlerde de innervasyon varlığı gösterilmiştir.

2.6.2. Nonotolog / Asellüler Greftler

Otolog dokuların sinir kondukti olarak kullanımlarındaki kısıtlamalardan dolayı çalışmalar, nonotolog doku ve ekstrasellüler matrikse dayalı materyallerin kullanımlarına yoğunlaşmıştır. Allojenik ve ksenojenik dokuların kullanımının, geniş doku örnekleri alınabilmesi ve hastada donör alan morbiditesi

oluşturulmaması gibi önemli avantajları vardır. Bununla birlikte bu dokuların kullanımı, bazı hastalıkların geçiş riskinin bulunması ve eşzamanlı immunosupresyon kullanımı ya da immunojenik komponenti ortadan kaldıracak işlemlerin uygulanması gibi dezavantajları da beraberinde getirmektedir. İntakt nonotolog dokuların, klinik kullanım için daha az immunojenik hale getirilmeleri ile ilgili birçok yöntem üzerinde çalışılmıştır. Bu metotlar, immunojenik hücrelerin destrüksiyonu ya da uzaklaştırılması ve boşluklar arasında bulunan ekstrasellüler matriksin (ESM) korunması üzerine odaklanılmışlardır. Termal teknikler (54,55), radyasyon (56) ve kimyasal işlemler (58,59) immünitenin azaltılması için geliştirilen metotların başlıcalarıdır.

Bu yöntemlerden en sık kullanılanı termal tekniklerdir. Termal teknikler, temel olarak hücreleri öldürüp parçalara ayırmak için dondurma ve çözme işlemlerinin ardışık uygulamalarında ibarettir. Sinir greftlerinin termal teknikle işlenmesi sonucunda nonimmunojenik hale geldiği gösterilmiştir. Bununla birlikte bu teknikte ESM tipik olarak hasara uğramakta ve hücresel kalıntılar implantın yerleştirilmesi sonrası gelişen inflamasyonla tam olarak uzaklaştırılamamaktadır.

Radyasyon uygulanmasında ise ESM üzerinde rölatif olarak daha az hasar meydana gelmekte, ancak sellüler komponentlerin uzaklaştırılması konusunda yetersiz kalınılmaktadır (57). Hücresel debrisin tam olarak uzaklaştırılması konusunda daha etkili bulunan birkaç kimyasal teknik geliştirilmiştir. Özellikle son zamanlardaki yaklaşımla deterjan kombinasyonlarının kullanımı ile hücresel arınmanın iyi bir şekilde gerçekleştirildiği ve ESM yapılarının korunduğu gösterilmiştir (43).

Bu üç teknik de, daha önce başka hastalıkların tedavisi için kullanılan başka dokulardan edinilen deneyimlerle (125-129) geliştirilmeye çalışılmakta ancak gelinen son nokta ideal bir sinir grefti modeli oluşturmak için yeterli olmamaktadır.

İnce barsak mukozası: Ratların ince bağırsağında kollajen ve lamininden zengin olan seroza tabakası, lumen oluşturacak şekilde ters çevrilmiştir. Segmenter sarkolemmannın lizise uğraması için dondurma ve eritme işlemleri uygulanmıştır. Membran antijenleri %70 ETOH ile denature edilmiştir. 10 mm'lik rat siyatik sinir defektlerine bu bağırsak segmenti ile onarım uygulanmıştır. Lumen içeresine açıklığı korumak için salin enjekte edilmiştir. Otolog sinir grefti ile

karşılaştırıldığında barsak segmenti ile hızlı iletim hızı ve sayıca daha fazla akson elde edilmiştir (130).

Başka bir uygulama da ince barsak submukozasının conduit olarak kullanılmıştır (62). İntralüminal mukoza ve seroza intakt bir ince barsak submukozası elde edilmesi için kazınmıştır. Daha sonra ince barsak submukozası silindir ve rulo halindeki kullanımları, 7 mm defekt oluşturularak rat siyatik sinirlerinde uygulanmıştır. Asellüler rulo haline getirilmiş ince barsak submukozası graft olarak kullanıldığı zaman, rejenerasyon gözlenmiştir. İnce barsak submukozasına schwann hücreleri implante edildiği zaman artmış rejenerasyon saptanmış ve otolog sinir grefti ile elde edilen fonksiyonel iyileşmeye ulaşan iyileşme oranları saptanmıştır. Rulo şeklindeki yapı silindirik conduitlere göre daha geniş yüzey sağlamakta olup aksonal rejenerasyona daha çok imkan sağlamaktadır. Hatta bu yapı, geçirgenliği ve aksonal migrasyon kapasitesi bilinen, daha çok ekstrasellüler matriks içeren bir molekül olsa dahi rulo şeklindeki ince barsak submukozasına üstlülük gösterememiştir. Ancak rulo halindeki conduitte, lamellalar arasındaki alanın kollabe olmasını önleyecek herhangi bir spacer bulunmamaktadır.

Amnion tüp: İnsan amniyotik membranı kollajen, laminin, fibronektin ve diğer bazal membran komponentlerinden zengindir. Çok düşük antijeniteye sahip hazır doğal bir materyaldir. Amniyotik tabaka fetal yüz iç tarafa bakacak şekilde rulo haline getirilerek 10 mm uzunluğunda siyatik sinir defekti olan ratlarda kullanılmıştır (4). Neovaskularitesi olan normal çaplı düzgün bir sinir dokusunun defekti geçtiği görülmüştür. Morfolojik ve fonksiyonel sinir rejenerasyonun otograft conduitler ile karşılaştırılabilir özellikle olduğu tespit edilmiştir. 25 mm'lik siyatik sinir defekti olan tavşan modellerinde amniyotik tüp konduite NGF/Hyaluronik asit uygulanmasının, daha fazla aksonal rejenerasyon kapasitesi içerdiği gözlenmiştir (131).

2.6.3. Sentetik Olmayan Moleküllerden Oluşan Materyaller

Araştırmaların büyük bir bölümü de saflaştırılmış ESM proteinlerinin ve glikozaminoglikanların sinir kondukti olarak kullanım potansiyellerine odaklanmıştır. ESM proteini olarak en çok araştırılan moleküller; laminin, kollajen, ve fibronektindir (132,133). Bu moleküllerin aksonal tamir ve ilerlemede rol oynayabildikleri gösterilmiştir. Bunların dışında ESM proteini olan çoğu proteoglikan ve glikozaminoglikanlarında nöral aktiviteyi düzenledikleri ve nöral uzamayı sağladıklar bilinmektedir (134,135). Bu ESM komponentleri, nöral köprü için aday olarak görünmektedirler. Laminin, fibronektin ve kollajenin bir sinir kondukti olarak kullanımları ile ilgili deneysel çalışmalar vardır (66-70,136-139). Örneğin içeresine laminin, fibronektin ve kollajen doldurulmuş silikon tüplerin boş silikon tüplerine göre 10 mm'lik rat siyatik sinirinde aksonal rejenerasyon üzerine daha olumlu etkileri olduğu görülmüştür (137). Yine mat ya da standart fibronektin konduitler, rat siyatik sinirlerinde 10 mm'lik defektte iyi sonuçlar vermiştir (136). Kollajen filamanlar ratlarda 20-30 mm'lik defektlerde kullanılmışlardır (70,138). Yine manyetik alan kullanılarak ayrıstırılmış kollajen fibrillerinden oluşan konduitlerin, randomize kollajen fibrillerine göre daha avantajlı olduğu belirtilmiştir (71,72). Porlu kollajen-glikozaminoglikan içeren kollajen tüplerin ise Schwann hücre migrasyonu ve nöral migrasyon yönlerinden daha avantajlı sonuçları olduğu rapor edilmiştir (140,141). Hyaluronik asid (73), fibrinojen (74), fibrin jel (75), peptid çatı (144), aljinat (76), agaroz (77,145) ve şitosan (102) sinir tamiri yönünden araştırılmış diğer moleküllerdir.

2.6.4. Sentetik Materyaller

Araştırmacılar son olarak sinir tamiri için kullanılabilecek bazı sentetik materyalleri tanımladılar. Kimyasal ve fiziksel özelliklerinin sinir kondukti olarak uygulanımları için spesifik hale getirilebilmeleri, sentetik materyalleri cazip hale getirmiştir. Bununla beraber bu materyallerin biyoyumlulukları, halen aşılımamış bir problemdir. Vücudunimmün sistemi, her materyal için değişik bir savunma mekanizması geliştirmektedir. Vücudun immün sistemi tarafından tolere edilebilen sentetik materyaller ise hücre adezyonu ve doku tamiri için uyumsuz moleküllerden oluşmaktadır. Bir sentetik materyalin, bir sinir kondukti olarak

kullanılması için bir takım özellikleri üzerinde bulundurması gerekmektedir. Bu özellikler; (a) İstenilen çapta bir conduit elde edilebilmeli b) Sterilize edilebilir olmalı (c) Kompamalı (d) kolay manupple edilebilmeli ve kolay suture edilebilmeli şeklinde sıralanabilir. Kalıcı materyallerin yüksek bir enfeksiyon riski bulunması,

Sentetik Sinir Konduitlerinde Bulunması Gereken Özellikler
<ul style="list-style-type: none"> ✓ İstenilen çapta bir conduit elde edilebilmeli ✓ Sterilize edilebilir olmalı ✓ Kompamalı ✓ Kolay manupple edilebilmeli ✓ Kolay suture edilebilmeli ✓ Bükülebilir olmalı ✓ Kollapsa karşı dirençli olmalı ✓ Degrade olabilmeli.

kronik inflamatuar cevabı provake etmeleri, siniri baskılayan özellikleri bulunması gibi dezavantajları vardır. Bu nedenle bir sinir conduitinin, sinir rejenerasyonuna izin veren bir molekülden yapılmış olması önemlidir. Aynı zamanda conduitin uygulanmasından sonraki süreçte sinir kanalının

şeklini koruması ve kollapsa karşı dirençli olması da gerekmektedir. Ayrıca bu özelliklere ek olarak bir sinir conduitinin yarı geçirgen ve düz bir iç yüzeyinin olması gerektiğini de belirtilmiştir (144).

Sinir rejenerasyonunu sağlamak için bir çok sentetik materyal tanımlanmıştır. Poli(glikolik asit) (PGA), Poli(laktik asit) (PLA) ve Poli(Laktik-ko-Glikolik asit) (PLGA) (81,145) gibi Poli(esterler) ilk tariflenmiş sentetik polimerlerdir. Bu materyaller kolay işlenen biyodegradeybil özellikte, FDA tarafından onaylanmış, kolay bulunan materyallerdir. Bu conduitların araştırılmaları, halen devam etmektedir. İçlerinin köpük şeklinde işlenmesinin, Schwann hücrelerinin tomurcuklanmasına izin verdiği gözlenmiştir (79,80). Poli(kaprolaktons) gibi diğer Polyesterlerinde aksonal rejenerasyonu destekledikleri gösterilmiştir (82,83,85). Biyodagrededeybil poli(üretan) (84), poli(organofosfazen) (85), Metasrilata dayalı hidrojeller (148) ve poli(3-hidroksibutirate) (86) gibi poliesterlerde de conduit olabilme kapasitesi görülmüştür. Biyodegradeybil cam tüpte yapılan çalışmalar İyi sonuç vermemiştir (89,90). Bu konudaki ileri araştırmalar, lifli yapıda ya da üç boyutlu kanalları olan daha az porlu (unique pores) sinir conduitları oluşturma yönündedir. Araştırmalar, elektriksel yüklemelerin birkaç doku tipi için hücresel diferansiyasyonu stimüle edici yönde anlamlı sonuçları olduğunu göstermiştir.

Polivinilidin floridte (PVDF) piezoelektriğin (91), polipirolde elektrik akımının (92) kullanılmasının sinir uzamasını anlamlı derecede artırması elektriksel yüklenmenin faydalarına örnek olarak verilebilir. Hyaluranik asit gibi biyolojik kökenli materyallerin modifikasyonu ile oluşan konduitler, daha interaktif biyomateyallerdir (147).

Birçok nondegradebil sentetik materyaller sinir konduiti olarak olarak kullanılmıştır. Bunların başlıcaları; Poli(tetrafloretilen) ya da EPTFE (Gore-Tex) (95-97) ve klinik uygulamaları da rapor edilmiş olan silikondur (93). Silikonun konduit olarak kullanımı ile ilgili çalışmalarında sinir rejenerasyonunun bu konduitin içini kapladığı görülmüştür (94,150). Bununla beraber geçirgenliği olmadığı kabul edilen ve inert bir madde olan silikondan yapılan konduitlerle ratlarda yapılan çalışmalarda, 10 mm'den daha geniş sinir defektlerinde silikon tüpün yetersiz kaldığı gözlenmiştir (43). Bu nedenle yarı geçirgen, degrade olabilen materyallere yönelinmiştir.

2.7. KONDUİT UYGULAMALARINDA MİKROÇEVRENİN RESTORASYONU

Sinir rejenerasyonu, mekanik olması yanında biyolojik bir olaydır. Optimal rejenerasyon için lezyonda uygun mikroçevrenin restorasyonunun sağlanması gereklidir. Basit tübülizasyonun başarısı, iki sinir ucu arasındaki mesafeye bağlıdır. Distal sinir ucu, uzayan aksonlar için onlara yol gösterici kemotaktik bir çekim oluşturur. Bu tropizm defekt uzunluğu ile ters orantılıdır ve 0.8 – 1.0 cm den fazla olan aralıklarda rejenere aksonlarda etkili olamamaktadır. Konduitlerde Schwann hücreleri, proksimal sinir ucundan distal sinir ucuna doğru göç etmektedir. Ancak daha uzun sinir defektlerinde, Schwann hücre göçü ve sonuçta oluşan myelinizasyon sınırlıdır. Konduitlerin uzunluğunu ilgilendiren diğer bir durumda konduitin, elastisitesi düşük olan venlerde görüldüğü gibi kollabe olmasıdır. Farelerde 6 mm (149,150), ratlarda 15 mm (151-153), tavşanlarda 30 mm (100) ve insanlarda 50 mm'den (154) daha büyük defektlerde başarısızlık gözlenmiştir. Bunu engellemek ve uzun defektlerde daha iyi iyileşme sağlamak için sinir konduitleri değişik yöntemlerle mikroçvre restorasyonuna maruz bırakılmıştır.

2.7.1. Schwann Hücre İmplantasyonu

Schwann hücreleri, uzayan rejenere aksonların içerisinde geçtiği ve periferik hedeflerine ulaştıkları önemli bir mikroçevre ögesidir. Bundan dolayı Schwann hücreleri mitozunu ve göçünü artıran veya greftin schwann hücreleri ile dolmasını sağlayan durumlar grefter boyunca gözlenen aksonal rejenerasyon oranını artıracak ve konduitlerin maksimum kullanılabilir uzunluğunu artıracaktır. Canlı Schwann hücresi içermeyen konduitlerde, daha zayıf aksonal rejenerasyon gözlenmektedir (118,155-158).

Schwann hücresi içeren sinir konduitleri, 10 mm uzunluğundaki defektlerin onarımında kullanılmıştır. Schwann hücrelerinin polyethylene tüp iç duvarına tek katlı tabaka şeklinde döşenme ve yine kas greftine enjekte edilme şeklindeki uygulamaları, ratlarda 20 mm.'lik periferik sinir defektlerinde başarılı olmuştur (116,159). Tavşanlarda jelatin içerisinde schwann hücresi suspanse edilmiş polyglycolik asit konduitleri ve otojen schwann hücresi ile suspanse edilmiş ven greftleri 30 mm üzerindeki gapların onarımında kullanılmıştır (160,161). Otojen schwann hücrelerinin izolasyonu sonrası venöz konduitlere konularak yapılan 2 aşamalı işlem ile 60 mm'lik tavşan peroneal sinir defekti onarımında histolojik olarak mükemmel sonuçlar elde edilmiş (162). Ancak fonksiyonel değerlendirme yapılmamıştır.

Bir başka önemli nokta ise schwann hücrelerinin sağkalımı ve çoğalmasıdır. Bu noktada NGF'nin üretiminin Scwhann hücrelerin uygulamalarında scwhann hücrelerinin besinlere yarışmalı bir şekilde ulaşımıyla sonuçlanan scwhann hücre dansitesinin ayarlanmasında önemli rolü vardır. Heterojen hücreler rejenerasyonu baskılatabilen immün cevap oluşturduklarından, hasarlı bölgede canlı kalan schwann hücrelerinin kullanılması avataj sağlayacaktır. Günümüzde hasarlı insan periferik sinirindeki canlı kalan Schwann hücrelerini izole etmek ve çoğaltmak mümkündür.

2.7.2. Büyüme Faktörlerinin Kullanımı

Konduitleri, büyümeye faktörleri ve ekzojen matriks molekülleri ile takviye etmenin 15-20 mm genişliğindeki sinir defektlerinde rejenerasyonu hızlandırdığı görülmüştür. Fibronektin, laminin ve kollajen eklenmesinin ise rejenerasyonu ve

onarılabilen kritik defekt uzunluğunu artırdığı gözlenmiştir (52,163,165,166). Konduitlerdeki sinir rejenerasyonunu artıran büyümeye faktörleri şunlardır: Nerve growth factor (NGF) (167,168,169), asit ve baz fibroblast growth factor (FGF) (170), Brain derived neurotrophic factor (BDNF), Insulin like growth factor (IGF), Cilliary neurotrophic factor (CNTF) ve Transforming growth factor (TGF) (171).

2.7.3. Vasküleritenin Arttırılması

Vasküler endotelial büyümeye faktörü uygulaması veya konduit içeresine kan damarlarının yerleştirilmesi ile vasküleriteyi artırma işlemleri daha iyi fonksiyonel iyileşme ve uzun defektlerde artmış sinir rejenerasyonu ile sonuçlanmıştır (172, 173).

2.8. KONDUİT MATERYALLERİNİN BİRLİKTE KULLANIMI

Her konduit modelinin kendine ait avantajları ve dezavantajları olduğu için değişik greftlerin kombine edilmesi ile bazı dezavantajlar giderilmiş ve daha dahaiyi sonuçlar elde edilmiştir. Ven greftinin kas lifleri ile doldurulması, ven greftinin kollabe olmasını engelleyerek rejenere olan aksonlar için daha iyi ortam sağlar. Kas etrafındaki ven, kas liflerinin dağılmasını önleyerek skar oluşumu engellenir ve rejenere olan aksonlara daha iyi kan dolasımı sağlanır (174). Geniş sinir defektinin bulunduğu durumlarda sinir segmenti ile konduitlerin birleştirilmesi yöntemleri olan “interpoze”(175) veya “stepping stone”(176) şeklindeki onarımların etkili olduğu gösterilmiştir. Diğer konduit kombinasyonlarına örnek olarak, sinir-kas sandviç greftinin kullanımında Schwann hücrelerinde artış (177), ve Poly L lactide epsilon caprolakton tüp içine yerleştirilmiş otolog denature kas dokusunun kullanımında kollajen ve longitudinal basal membranın sağlandığı (178) gösterilmiştir.

2.9. İÇ YAPININ ŞEKİLLENİRİLMESİ

Konduitlerin çoğunluğu sadece rejenere aksonları saran iç yapısal desteği olmayan tüplerdir. Tüp içerisinde oluşan fibrin, matriks sinir uçları birleşinceye kadar absorb olmaktadır. Bundan dolayı aksonal büyümeyi destekleyecek olan fibrin matriksini stabilize edebilen, kalıcı intrinsik iskeletten oluşan filamentlerin

konduitler içeresine yerleştirilmesi akıllıca olacaktır (179). Bu yöntem, geniş defektlerin bulunduğu durumlarda kullanılmış ve deneysel olarak başarılı bulunmuştur (180). İçerdiği maddeye bağlı fonksiyonel iyileşme sağlayan değişik yapılardaki filamentler test edilmiştir (181). Bu filamentlerin nörotropinler, nörotropik faktörler, adezyon molekülleri ve diğer matriks komponentleri ile kaplanması fikri çekici bir düşüncedir.

Konduitlerin biyolojik yapay iskeleti ile oynamak, canlı hücreler ve çeşitli büyümeye faktörlerini kullanarak yapılan değişik uygulamalar sinir dokusu mühendisliğinin bir parçasıdır. Literatürde bu tür konduit uygulamalarının gelecekte otolog sinir greftlerinin yerini alacağını iddia eden yayınlar bulunmaktadır (182).

2.10. KLINİK UYGULAMADA SİNİR KONDUİTLERİ

Klinik kullanımda konduitlerin sahip olması gereken özellikler şunlardır:

- 1.Çevre dokular ile biyoyumluluğunun olması
- 2.Düşük antijenite
- 3.Minimal inflamatuar uyarı
- 4.Aksonal rejenerasyonun konduit uzunluğu boyunca devam etmesi
- 5.Biyoyıkılabilirlik
- 6.Kompresyon potansiyelinin olmaması
- 7.Yapımının kolay olması
- 8.Ekonomik olması
- 9.Teknik olarak kullanımının kolay olması

Deneysel çalışmalarında çeşitli yapılardaki konduitlerle değişik başarı oranları elde edilmişse de sadece ven greftleri, kas greftleri, poliglikolik asit tüpler, politetrafloroetilen tüpler, silikon tüp ve kollajen tüpler klinikte kullanılmışlardır.

KLİNİKTE KULLANILAN KONDUİT MODELLERİ
<ul style="list-style-type: none"> ✓ Ven Graftı ✓ Kas Graftı ✓ Poliglikolik asit tüp ✓ Politetraforetilen Tüp ✓ Silikon ✓ Kollajen tüp

Ven graftı: İnsanlarda ven graftedleri ile yapılan ilk denemelerde, bir miktar duyusal ve motor iyileşme göstermiştir. Ven graftleri ile ilgili tatmin edici sonuçlar 3 cm'den az olan dijital

sinir defektlerinde elde edilmiş (45,104,115,183). Ven lümenine taze sinir parçaları konulmasına rağmen, 5 cm'nin üzerindeki defektlerde duyusal düzelleme gözlenmemiştir (104,184). Radial sinirin süperfisyal dalı (1.5-4.5 cm) (47,103,185), ulnar sinirin dorsal kutanöz dalı (2-3.5 cm) (103,183), median sinir (2.5-4 cm) (47,185), ulnar sinir (2-4.5 cm) (47,184), radial sinir (3.5-4 cm) (47), muskülökutanöz sinir (6 cm) (47) ve brakial pleksusun posterior kordunun (47) ven konduiti ile başarılı bir şekilde onarıldığı rapor edilmiştir. Sinir segmentleri ile interpozisyon (185) ve kas graftı(47) ile doldurulması, ven graftlerini sırası ile 4.5 cm ve 6 cm.lik sinir defektlerinde başarılı kılmıştır. İnsan trigeminal sinirinin terminal defektlerinde ven graftı kullanılan çalışmad lingual sinirdeki 5 mm'den küçük defektlerde bir miktar duyusal iyileşme saptanırken 5 ile 14 mm arasındaki defektlerde iyileşme gözlenmemiştir (186). Bu çalışmadaki olguların yarısında inferior alveolar sinirde iyi duyusal düzelleme gösterilmiştir. Ancak inferior alveolar sinirin spontan olarak düzelmesi de akılda tutulması gerekmektedir.

Ven graftleri, primer ve sekonder rekonstrüksiyonlarda başarı ile kullanılmıştır (104,45). Ven graftleri daha çok akut sinir hasarında başarılı olmuşsa da üzerinden 6 ay veya daha fazla süre geçmiş olan yaralanmalarda zaten hedef organın reinnervasyonunda problemler olabileceği bilinmektedir.

Bacak, ayak sırtı, önkol ve parmaklardaki venler graft olarak kullanılmıştır. Sinir rejenerasyonuna ven graftının alındığı yerin etkisinin olup olmadığı bilinmemektedir. Özellikle uzun sinir defektlerine uygulanan ven graftlerinde gözlenen venin kollabe olma özelliği, ven graftlerinde gözlenen en büyük problemdir. Teorik olarak rigid duvarı olan venlerin kollabe olması daha zordur. Diğer taraftan kalın duvarlı venlerin oksijen ve besin geçirgenliği de daha düşüktür. Pratik olarak ven donör alanı seçimi ihtiyaç olan konduitin büyüklüğüne, kullanılan tübülizasyon tekniğine (valv içeren ven graftı mı yoksa

ven greftinin valv içermeyen kısımlarının seçilmesi) ve cerrahi alanın yakınığına göre değişebilmektedir. (Radyal sinirin süperfisyal dalı için sefalik ven, unlar sinirin dorsal kutenöz dalı için bazilik (115) ven, inferior alveolar sinir için faysal ven (186) gibi).

Ven grefti 3 değişik şekilde kullanılır. Bazı durumlarda her iki sinir ucu teleskop şeklinde lümen içerisinde yerleştirilir ve ince sutür ile tespit edilir (45,115). Bu durumlarda venin geniş ve uzun olması gerekmektedir (2 kat geniş ve % 50 daha uzun) (115). Bazı durumlarda, ucuca koaptasyon uygulanır (45,47). Venin bir miktar büyük olması gerekmektedir. Üçüncü seçenek ise teleskop şeklinde yerleştirme ve ucuca koaptasyonun birlikte yapılmasıdır (104,185,187). Epinöriyumun bir kısmı çıkarılarak sinir uçları ven içerisinde yerleştirilir ve böylece epinöryum ve ven birleştirilmiş olunur. Büyük sinir gövdeleri bir (47) veya birkaç (185) ven grefti ile köprüleştirebilir. Çoğu araştırmacı, ven içerisinde bulunan valflerden dolayı venin ters yöne çevrilerek yerleştirilmesini savunur. Ven greftinin, uygun yumuşak doku desteği olan yerlere konulması gerekmektedir. Eğer aşırı skar formasyonu bekleniyor ise ven grefti konulması tavsiye edilmez (182).

Direkt onarımın daha iyi olmasına karşıın ven greftleri, uygun olduğu için 3 cm

**VEN GREFTLERİ KLINİKTE 3 CM'DEN
BÜYÜK SİNİR DEFECTLERİNDE
KULLANILMAZLARI..**

veya daha küçük distal duyusal sinir defektlerinde sinir konduiti olarak kullanılması konusunda fikir birliği

(115,183). Ven greftlerinin daha geniş, daha proksimal ve karışık sinir yaralanmalarında kullanımının etkinliği ile ilgili geniş serilerle randomize prospektif çalışmaların yapılması gerekmektedir.

Kas konduitler: Kas greftleri ile ilgili ilk klinik uygulama, 15-25 mm arasındaki dijital sinir defektlerinde primer veya sekonder onarım şeklinde gerçekleştirılmıştır (188). 3 ile 11 aylık kontrol sonrası 8 vakanın 7'sinde S3+ sonucu elde edilmiş ve konvansiyonel yöntemlerle karşılaştırılabilir olarak değerlendirilmiştir. Başka bir klinik çalışma, uç-uka sütürasyon ile kas greftlerini karşılaştırarak 15-28 mm'lik defekti bulunan 12 dijital sinirin uzun süreli sonuçlarını rapor etmiştir (189). Bu çalışmada, araştırmacılar kas grefti ile uç uca sütürasyona göre daha iyi sonuçlar aldıklarını ifade etmişlerdir. Ancak böyle bir çalışmada, uç-uka sütürasyonda

oluşacak gerginliğin skar formasyonunun artırılabileceği ve sinir rejenerasyonunu etkileyebilecegi unutulmamalıdır. Bu durum sinir grefti kullanım ile aşılabilir. Aynı grup araştırmacılar defekt boyu 1.5-10 cm arasında değişen 6 median sinir, 7 ulnar sinir onarımını vakasını rapor etmişlerdir (154). Median sinirinde 4-5 cm defekti olan ve ulnar sinirinde 2-3 cm defekti olan sadece 2 vakada S3+ şeklinde duyusal düzelmeye saptanmıştır. Ortalama 17 aylık yaralanma öyküsü olduğu için motor düzelmeye zayıf olarak değerlendirilmiştir.

Başka bir grup çalışma ise leprali hastalar ile ilgilidir. Prospektif bir çalışmada 25 ile 60 mm olan 3 median sinir ve 9 posterior tibial sinir defekti denature kas grefti ile onarılmıştır. Diğer bir retrospektif çalışma da 2-14 cm defekt bulunan 48 (11 median ve 37 posterior tibial) periferik sinirde el ve ayağın koruma duyasında gözlenen düzelmenin tatmin edici boyutlarda olduğu rapor edilmiştir (190,191).

Lifleri uzun eksene paralel seyrettiği için her tür iskelet kası greft olarak kullanılabilir. Defektin boyutunun 2 katı kadar büyülükte dikdörtgen şekilli kas alınır. Daha sonra dondurma ve eritme işlemi yapılır. Sinirin yarıçapına uygun bir konduit elde edilebilmesi için greftin her planda yaklaşık 2 mm kadar daha geniş olması gerekmektedir. Daha sonra her iki sinir ucundan epinyöryuma suture edilir. Teknik olarak sıvı nitrojen ile dondurma işlemi sonrası kas hasarı meydana gelebilmektedir. Bu sorun sprey dondurma işlemi ile çözülebilmektedir. Geniş kas bloklarının birkaç kez dondurma eritme işleminden geçmesi gerekmektedir.

Kas greftlerinin sinir konduiti olarak klinik kullanımına dair az sayıda çalışma vardır. Bu sinir konduiti modelinin kullanıldığı periferik sinir defekti onarımlarında düşük rejenerasyon hızlarının saptanması, 5 cm'nin üzerindeki defektlerde aksonların etkili şekilde rejenere olamaması ve basal lamina dışında bütün kas proteinlerinin denatüre olmasının anlaşılması gibi nedenlerle kullanımının kısıtlı olacağı düşünülmektedir.

Poliglikolik Asit Konduitleri (PGA): PGA konduiti, bir miktar mekanik güçe karşı koyabilecek yapıya sahip emilebilir bir tüp modelidir. Tüpün standart olarak kıvrılmasını önleyen oluklu bir dış yüzeyi ve düzgün bir iç yüzeyi bulunmaktadır. PGA tüpünün sinir yarıçapından hafif büyük olması ve sinir defekti uzunluğunun

yaklaşık 1 cm kadar ek uzunluğunun bulunması gerekmektedir. Böylece sinir, tüp içerisine her iki uçtan 0.5 cm teleskop şeklinde yerleştirilebilmektedir. Tüp içerisinde pıhtı oluşumunu engellemek için heparinize bir saline solusyonu veya otolog serum ile doldurulmalıdır.

Bu konuda ilk çalışma, 15 hastada 16 dijital sinir ile yapılan yapılmıştır (192). Bu çalışmada sinir defektleri 0.5 ile 3 cm arasında değişmektedir. Sonuçlar %33 hastada mükemmel, %53 hastada ise iyi fonksiyonel duyusal iyileşme olarak rapor edilmiştir. %14 vakada başarısızlık olmuş ve 1 vakada tüp çıkmıştır. Ortaya çıkan klinik sonuçların otolog sinir grefti ile karşılaşırabilecek kadar iyi olduğu değerlendirilmesi yapılmıştır. 98 hasta ve 136 dijital sinir defekti ile ilgili çok merkezli randomize ve prospектив bir çalışmada, PGA tüpleri 62 sinirde 3 cm'ye kadar olan defektlerde kullanılmış ve 4 mm altında ve 8 mm üzerindeki dijital sinir defektlerinde konvansiyonel onarım metoduna göre daha iyi sonuçların elde edildiği rapor edilmiştir (193).

Dijital sinir onarımı ile birlikte inferior alveolar sinir onarımı yapılan bir olgu sunumunda, inferior alveolar sinirde 2.5 cm defekti olan hastanın preoperatif şikayet ettiği ağrı ortadan kalkmış ve mükemmel duyusal düzelleme gözlenmiştir (190,191). Posttravmatik süre 16 ay olduğu için spontan düzelleme hesaba katılmamıştır.

Ven grefti ve PGA tüpleri komplikasyon oranı düşük, güvenli sinir konduitleridir. PGA tüpkeri hazır bir materyal iken ven greftlerinin cerrahi olarak çıkarılması gerekmektedir. Ayrıca PGA tüpleri kompresyona karşı dirençlidir ve kollabe olma potansiyelleri yumuşak yapıdaki venlere göre daha düşüktür. PGA konduitleri, 3 cm ve altındaki sinir gapları için birinci tercih teknik olarak kabul edilmektedir.

Politetrafloroetilen (PTFE) Konduitler: Emilmeyen konduitlerin önemli rolleri vardır. Büyük sinirlerin onarımı için klinik olarak biyoyılabilir konduit geliştirilmeden bu amaçla sinir defektinden biraz daha geniş ve 1 cm kadar daha uzun, oluklu dış yüzeyli politetrafloroetilen tüpleri kullanılmıştır. Sinir uçları 0.5 cm konduit içerisine teleskop şeklinde yerleştirilmiştir. Lümen heparinize saline ile doldurulmuştur.

PTFE tüpleri önkol, dirsek ve üst kol kısmındaki median sinir ve ulnar sinir hasarlarının onarımında kullanılmıştır (24,198). Sinir defekti 1.5-6 cm arasında olan klinik çalışmalarda 5 cm'den büyük defektlerde, sinir parçaları lumen içeresine yerleştirilmiştir, 4 cm'den küçük periferik sinir defekti olan hastaların %79'u ve 4-6 cm defekti olan hastaların %13'ünde fonksiyonel ve motor düzelleme gözlenmiştir. PTFE konduiti ile başarılı şekilde onarılmış en uzun defekt 5 cm'dir. 44 hastadan sadece 1'inde, hasar bölgesinde hafif rahatsızlık nedeniyle tüpün çıkarılması için sekonder operasyon gerekmistiştir. Ağrının azaltılması ve fonksiyonlarının düzeltilmesi için yapılan inferior alveolar sinir ve lingual sinir rekonstrüksyonlarında kullanılan PTFE konduitleri başarısız olmuşlardır (96,196). Geç dönem sinir kompresyonuna neden olan uzun sürede emilebilme özelliği başarısızlık etkeni olarak düşünülmüştür. PTFE tüpleri trigeminal sinir rekonstrüksyonu için tavsiye edilmemektedirler.

Silikon Konduitler: Silikon tüpleri klinik olarak median sinir, unlar sinir ve radiyal sinirde kullanılmıştır (23,197,200) Lundborg'un rapor etmiş olduğu seri de amaç, defekti köprülemekten öte bir rejenerasyon çemberi oluşturmak olmuştur (23,198,199). İç çapı onarılacak olan sinirden yaklaşık %30 kadar büyük olan silikon tüp, 3-5 mm defekt bırakılarak iki sinir ucunu birleştirmek için kullanılmıştır. Daha sonra tüp sutüre edilmiştir. Motor ve duyusal düzelenin yeterli olduğu belirtilmiştir. Konvansiyonel yöntemden farklı olarak dokunma duyusu, tübülerizasyonda daha iyi idi. Ek olarak tübüler ve konvansiyonel teknikte fark bulunamamış sadece 1 vakada, onarım hattında irritasyon olduğundan dolayı tüp çıkartılmıştır. Ancak bu serinin takip süresinin 12 ay olduğunu akılda tutulması gerekmektedir. Ortalama takip süresi 30 ay olan 26 median ve / veya ulnar sinir 2-5 cm defekt bulunan 26 olguluk seride 3 cm'ye kadar olan defektlerde silikon tüpün efektif olduğu bulunmuştur (197). Median sinire göre ulnar sinir onarımında daha iyi sonuçlar elde edilmiştir. 26 hastanın 7'sinde irritasyon nedeniyle tüp çıkarılmış. Özellikle büyük defektlerde kullanılan büyük tüplerde bu problem görülmüştür.

Silikon tüpler 6 ile 12 ay içerisinde fibrozise neden olarak sinir kompresyonuna neden olmaktadır (200). Bu nedenle sinir defekti rejenerasyonla kapatıldıktan sonra silikon konduit uzaklaştırılmalıdır.

Sonuç olarak; Otolog sinir greftleri periferik sinir defektlerinde altın standart olmasına rağmen değişik konduit modellerinin yukarıda belirtilmiş olan gerekli özellikleri taşıdığında otolog sinir greftlerinin yerini alabilecekleri düşünülmektedir. Otolog ven greftleri veya denature kas greftleri özellikle distal duyusal sinirlerde kısa defektlerin köprülenmesinde kullanılabilir. Daha büyük sinirlerde ven greftlerinin kas ile birleştirilmesi, ven greftlerinin uygulama alanını genişletecektir. PGA konduitlerinin dijital sinir defektlerindeki güvenli kullanımı klinik olarak kanıtlanmıştır. Emilmeyen konduitlerden silikon tüp ve Goretex tüp, irritasyon ve sinir kompresyonuna neden olduğu ve sekonder çıkartım cerrahisi gerektirdiği için majör periferik sinirler için yeterli büyülükte emilen konduit yapılarak kadar seçilmiş vakalarda kullanılabilirler. Yeterli sinir rejenerasyonu açısından sinir konduitleri için sinir günümüzde 3cm'dir (114).

**BÜTÜN SINİR KONDUİTLERİNİN
KRİTİK KLINİK UYGULAMA SINIRI
3 CM' DİR.**

2.11. KIKIRDAK DOKUSUNUN HİSTOLOJİSİ

Ara maddenin kesilebilir sertlikte olduğu bağ dokusudur. Hücreleri kondrositlerdir ve lakuña ya da kondroplast denen küçük boşluklar içerisinde yerleşmişlerdir. Kıkırdak dokusu içerisinde sinir, kan damarı ve lenf damarı bulunmamaktadır. Dolayısıyla metabolizması düşük bir dokudur. Matriksin difüzyona uygun olması, kıkırdağın çevre bağ dokusu damarlarından beslenmesini sağlar. Embriyonal evrede tüm iskelet, kıkırdak dokudan yapıldır. Kıkırdağın çok hızlı büyümeye özelliğinin olması ve belirli bir sertliğinin bulunması nedeniyle fotal iskeletin gelişmesi sırasında çok uygun bir yapıya sahiptir. Daha sonra iskelet kıkırdağının büyük bir kısmının yerini kemik dokusu alır. Az bir bölümü ergin iskeletteki kıkırdak halinde kalır (eklem yüzü, toraks duvarı, larinks, trachea, bronş gibi).

Perikonndrium: Eklem yüzeyini örten eklem kıkırdağı dışında kalan yerlerde, kıkırdağı dışarıdan saran kompakt fibröz bağ dokusudur.

Kondroblast: Genç kıkırdak hücreleridir. Genellikle küçük, yassı, küçük sitoplazmik uzantıları nedeniyle düzensiz hücre sınırlına sahip hücrelerdir. Ara madde sentezinden sorumludur. İç yapısı buna uygundur. Ara madde sentezi için

granüllü endoplazmik retikulumdan zengin iyi gelişmiş golgi cisimciği ve bir ya da daha çok nükleolusu içinde bulundurur.

Kondrosit: Kondroblastların olgun halleridir. Sentezle ilgili görevleri kondroblastlara göre daha azdır. Senteze başladıkten sonra bölündüklerinden, lakinalar içerisinde 2-4'lü gruplar halinde bulunurlar. Bunlara izogen grup denilir.

Ground substans: Lipit, çok miktarda gliokaminoglikan (GAG) ve glikoprotein bulunur. GAG'ların suyu fazla bağlaması nedeniyle difüzyona elverişlidir. Genç kıkırdaklar, kondroitin sülfattan zengindir. Kıkırdak olgunlaşıkça keratosülfat içeriği artar.

2.11.1. Kıkırdak Dokusu Tipleri:

Hyalin kıkırdak: "Hyalos" cam anlamına gelir. Çıplak gözle yarı saydam, mavimsi-beyaz renkte bir doku olarak görülür. Bıçakla kolaylıkla kesilebilir. Yüzeyi parlaktır. Bükülebilir elastisitesi olan bir dokudur. İnsan vücutunda en çok bulunan kıkırdak tipidir. Eklem yüzeylerinde, kostaların ventral uçlarında, burun, larinks, trachea, bronş, dış kulak yolu bulunduğu yerlerdir. Embriyodaki tüm iskelet ise hyalin tipi kıkırdaktır. Çevresindeki perikondriumun kıkırdağa yakın bölgeleri kondrojenik özellikteki fibroblasttan zengindir. Hyalin kıkırdağın kuru ağırlığının %40'ını ara madde ve fibriller oluşturur. Kondrositlerin çevresinde dar bir alanda fibriller bulunmaz. Kıkırdağın bu kısımları amorf ara maddeden zengin olan kısımları ve bu alana "territorial alan" denir. Territorial alanlar arasındaki kısımlar ise "interterritorial matrikstir". Bu kondrositlerden sentezlenen ara madde kondroitin sülfat, proteoglikan ve kollajendir. Sülfatlı GAG sentezi büyümeye hormonu, tiroksin, testosteron hormonlarının etkisiyle hızlanır. Kortizon ise ATP sentezini azaltarak sülfat iyonlarının kondrosite girişini baskılar ve GAG'ların sülfatlanması durur. C vitamini kollajen sentezinde gereklidir. A vitamini ise epifizdeki kıkırdaklarının gelişimi için gereklidir (201).

Elastik kıkırdak: Sarımsı renkte, bükülebilirliği ve elastisite hyalin kıkırdaktan daha fazla olan ve hyalin kıkırdaktan daha saydam bir kıkırdaktır. Kulak aurikulası, kulak yolunun dış kısmı, östaki borusu, epiglottis, larinksteki bazı kıkırdaklarda bulunur. Mikroskopik olarak hyalin kıkırdağa benzer yapıdadır. Kondrositler tek ya da ikili, üçlü izogen gruplar halinde bulunur. Matrikste kollajen

fibrillerden başka elastik fibrillerde bulunur. Bu elastik fibriller yine lükünlər etrafında yoğunlaşmış olarak seçilirler. Elastik lifler kıkırdağın derin kısımlarında daha kalın ve çok sayıda iken perifere doğru inceler ve sayıları azalır. Bununla birlikte elastik lifler, kıkırdaktan perikondriuma doğru uzantılar gösterip perikondrium içerisinde de devam ederler. Hyalin kıkırdak dejeneratif olaylardan hyalin kıkırdağa kıyasla daha az etkilenirler.

KİKİRDAK TIPLERİ VE BULUNDUKLARI YERLER	
Hyalin Kıkırdak: Eklem yüzeylerinde, kostaların ventral uçlarında, burun, larinks, trakea, bronş, dış kulak yolunda	<i>Fibröz kıkırdak:</i>
Elastik Kıkırdak: Kulak aurikulası, kulak yolunun dış kısmı, östaki borusu, epiglottis, larinksteki bazı kıkırdaklarda	Intervertebral disk, bazı eklem diskleri, simfizis pubis, bazı ligament ve tendonların kemiğe bağlanması yerlerinde bulunurlar. Histolojik olarak kompakt bağ dokusu ile hyalin kıkırdak
Fibröz Kıkırdak: Intervertebral disk, bazı eklem diskleri, simfizis pubis, bazı ligament ve tendonların kemiğe bağlanması yerlerinde	

arasında bir yapısal özelliği mevcuttur. Daima kompakt bağ dokusuyla yan yana bulunurlar. İkisi arasındaki sınır keskin bir çizgiyle belirlenemez. Kondrositler küçütür ve tek ya da ikili gruplar halinde kollajen liflere paralel diziler oluştururlar. Matrikste çok sayıda kollajen lifler bulunmaktadır. Amorf ara madde azdır. Kollajen lifler, paralel demetler halindedir. Perikondrium yoktur (201).

2.12. KİKİRDAK DOKUSUNUN HİSTOGENEZİ

Embriyoda kıkırdak hücrelerinin gelişeceği yerde mezenkimal hücreleri, uzantılarını kaybederek bir araya gelirler ve çoğalarılar. Bu alanlara, "kıkırdaklama merkezi" ya da "Prokondral doku" denir. Mezenkimal hücreler kondroblastlara farklılaşırlar. Matriksi ve tropokollajeni sentezlerler. Sentezledikleri bu ara madde içinde sıkışıp kalırlar ve hücreler birbirlerinden uzaklaşırlar. İçte kalan hücreler olgunlaşıp kondrosit adını alırlar. En yüzeydekiler tipik kondroblastlardır.

Fibröz kıkırdakta gelişim biraz daha farklıdır. Bağ dokusu gibi mezenkimalden gelişirler. Başlangıçta sadece fibroblast vardır. Aralarında bol fibril yer alır. Daha sonra fibroblastlar kondrosite farklılaşırlar. Böylece fibröz kıkırdak, bağ dokusu ile kıkırdak dokusu arasında bir geçiş formudur(201).

2.13. KIKIRDAK DOKUSUN BÜYÜMESİ

Kıkırdak dokusunda büyümeye, iki şekilde gerçekleşir. Bunlardan birincisi; "interstisiyal büyümeye" dir (içten büyümeye). Varolan kondrositlerin mitozla çoğalmasıyla gerçekleşir. Yeni hücrelerde ara madde sentezine katılırlar. Büyüme hücre sayısının artımından ziyede ara madde artımıdır. İkincisi ise "appofizyal büyümeye" dir (dıştan büyümeye). Perikondriumun iç kondrojenik tabakasındaki hücrelerin mitozu ile gerçekleşir. Çoğalan hücreler, kondrositlere farklılaşırlar. Kıkırdak yüzeyden eklentilerle büyümüş olur. Embriyoner evrede hızlı gelişen bu olaylar erişkinde durur. Perikondriumun yeni kıkırdak yapma yeteneği gizli olarak kalır. Ancak gereksinim duyulursa aktifleşir. Apofizyal büyümeye, olgun kıkırdakta önemlidir. İnterstisiyal büyümeye ise uzun kemiklerdeki epifiz ve diafiz arasında bulunan kıkırdaktan uzun süre oluşarak kemiğin uzunlamasına büyümesinde rol alır (201).

2.14. PLASTİK CERRAHİDE KIKIRDAK DOKUSUNUN KULLANIMI

Estetik ve fonksiyon anlamında yeniden yapılandırılabilecek olan dokuda bir eksiklik varsa bunu tamamlamak için doğal ya da suni materyaller kullanılır. Eksik olan dokuyu tamamlamak için hastanın kendisinden elde edilen dokunun alındığı yerdeki donör sahada ihmali edilebilir bir hasar bırakmak esastır. Kıkırdak dokusu, plastik, rekonstrüktif ve estetik cerrahi branşının birçok ameliyatında kullanılan donör alan morbiditesinin minimal düzeyde tutulabildiği bir dokudur. Kıkırdak, alıcı sahaya greft ya da flap olarak taşınabilir. Kıkırdak dokusu, plastik cerrahide estetik rinoplastide (202-204), total ve subtotal burun rekonstrüksiyonu ameliyatlarında (205,206), çene augmentasyonunda (207,208), septoplastide (209,210), temporomandibular eklem anki洛zu ameliyatlarında (211), mikroşya (=microtia) rekonstrüksiyonlarında (212), göz kapağı rekonstrüksiyonlarında (213,214), orbita taban kırığı tamirinde (215), orbita duvarı defeklerinde (214,216,217) ve bunlar gibi birçok ameliyatta greft olarak kullanılmaktadır. Greft olarak taşınan kıkırdak, zamanla rezorpsiyona uğrayacağından genellikle alıcı sahada "over correction" yapılır. Kıkırdak, pür kıkırdak dokusu şeklinde taşındığı gibi özellikle kulak, donör saha olarak kullanıldığından, üzerindeki deri ile birlikte taşınilip "komposit greft" şeklinde de uygulanabilir. Burun kanadı

rekonstrüksiyonlarında (218), göz kapağı rekonstrüksiyonlarında (214) bu tür greftlemeler bilinen uygulamalardır. Kıkırdak, plastik cerrahide sadece greft olarak kullanılmamış, alt göz kapağı rekonstrüksiyonlarında (219), burunda septal perforasyonlarda (220) lokal flep olarak ve eklem transferi için “free flep” şeklinde taşınımıları rapor edilmiştir (221-224). Kıkırdak dokusu, geniş matriksel yapısı, az selüler komponenti nedeniyle az antijeniteye sahip ve antijenitesi diğer dokulara nazaran daha kolay ortadan kaldırılabilen bir dokudur. Deneysel olarak ksenojenik greft şeklinde kullanımı gösterilmiştir (225). Bu geniş kullanım alanına rağmen şimdiden kadar kıkırdağın bir sinir kondukti olabileceği konusunda bir fikir oluşmamıştır.

3. MATERİYAL VE METOD

3.1. HAZIRLIK

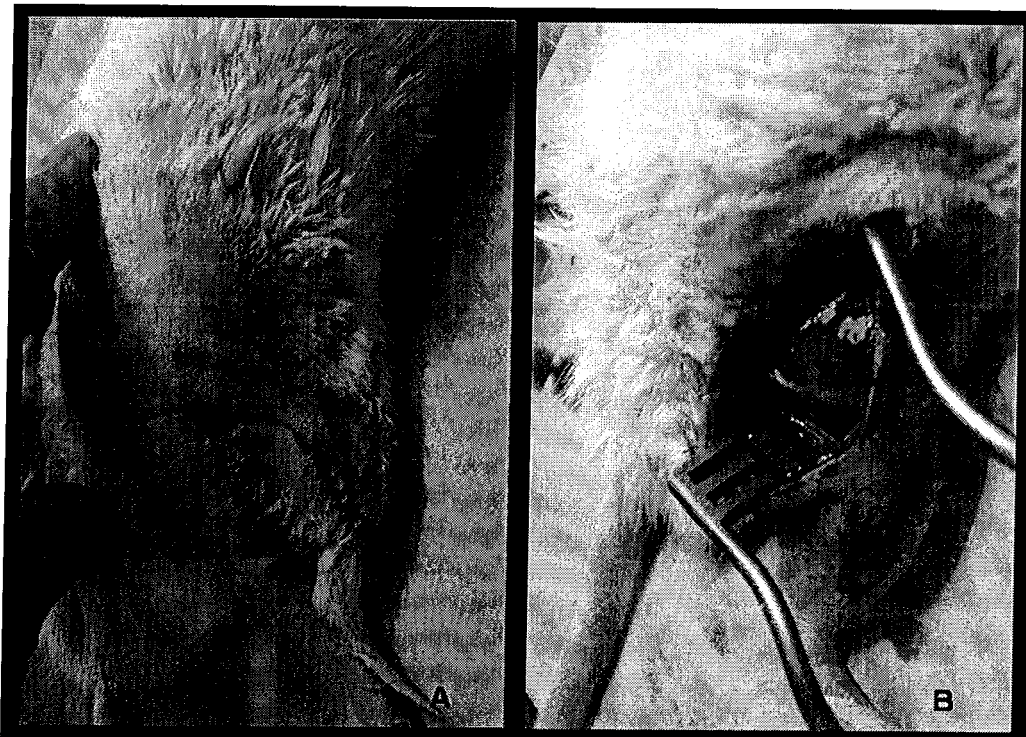
Bu çalışma, Gaziantep Üniversitesi Tıp Fakültesi Deney Hayvanları Araştırma Laboratuarında yapıldı. Deneye başlamadan önce Gaziantep Üniversitesi Tıp Fakültesi Etik Kurulunun onayı alındı. Çalışmada deney grupları için erişkin, 250-350 gr ağırlığında, erkek, Wistar albino ratlar 10'arlı gruplar halinde 4 gruba ayrılarak kullanıldı. Xenograft kıkırdak donörü olarak da, erişkin, erkek, beyaz 2 adet New Zealand tavşanı kullanıldı.

Deney gruplarını oluşturan toplam 40 adet Wistar ratın hepsine operasyondan önce peritoneal 10 mg/kg ketamin hidroklorür (Ketalar®, %5'lük Solüsyon, Parke-Davis lisansı ile Eczacıbaşı İlaç Sanayi, Levent, İstanbul) ile genel anestezi sağlandı. 1:500000 adrenalin içeren %1'lük lidokain 4 kat serum fizyolojik ile sulandırılıp cerrahi sahada lokakl anestezi sağlamak için deri altına uygulandı. Prone pozisyonunda, dört ekstremitesi tespit edilen ratların, sakrum ve sol alt ekstremitesi traş edildi. Cerrahi saha polivinilpirolidon iyod silinerek ratlar operasyona hazırlandı.

3.2. CERRAHİ TEKNİK

Bütün ratların, sağ uyluk posterior yüzünde femur palpasyonla hissedilerek femur üzerinden extremitenin uzun ekseni paralel longitudinal insizyon yapıldı. Deri, her iki yöne disseke edilip femur gövdesi bulundu. Femurun posterior yüzüne yapışan kaslar sıyrıldı ve altta siyatik sinire ulaşıldı (Resim 1). Sinir, vasküler pedikülü korunarak çevre dokulardan serbestleştirildi. Tibial ve peroneal dalları künt olarak disseksiyonla ortaya kondu. Sural, peroneal ve tibial sinirlerin trifukasyonunun 10 mm üzerinden, siyatik sinirde 10 mm'luk sinir defekti mikromakas ile keskin ve dik olan kesilerle oluşturuldu. Çalışma sırasında cerrahi

ortamın kurumaması için sinirin üzerine %0.9 NaCl solusyonu aralıklı olarak uygulandı. Oluşturulan bu defektin onarımına dönük cerrahi işlemler, x4 büyütmeli cerrahi loop altında mikrocerrahi teknik kullanılarak steril ortamda aşağıdaki gibi yapıldı.



★ : Femur ♦ :Siyatik Sinir



Grup 1 (Sinir Grefti Grubu - SGG)- (Sinir defektinin sinir grefti ile onarıldığı grup): Eksize edilen sinir parçası sinir grefti gibi düşünülüp, tekrar kendi yerine 9-0 monoflaman yuvarlak iğneli naylon sutür (Nylon®) ile epinöral sutür tekniği kullanılarak tek sutürle dikildi (Resim 2).

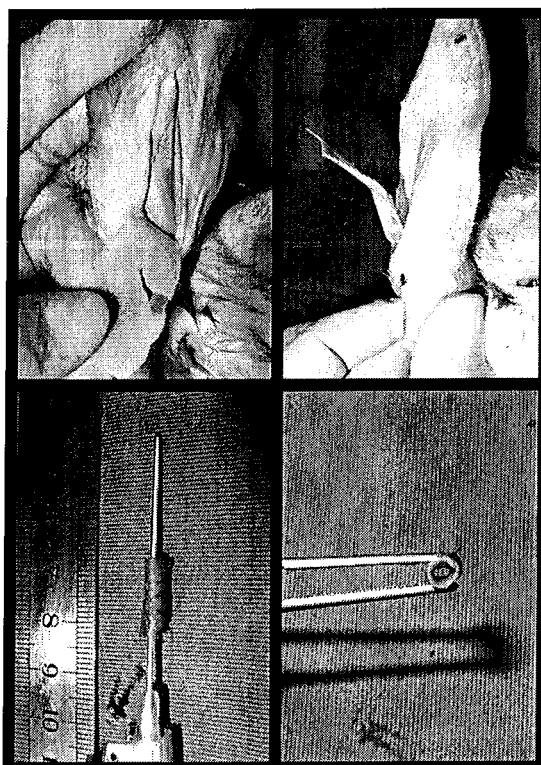
Grup 2 (Venöz Konduit Grubu -

VKG)-(Venöz conduit ile onarılan sinir defekti grubu): Sol uyluk bölgesinin anterior bölümünde oblik bir insizyon yapıldı ve femoral ven epigastric ve femoralis profunda bifurkasyonunda bulunan vena femoralis profunda 12 mm uzunluğunda dikkatli disseke edilerek uçları bağlanıp bistüri ile kesilerek dışarıya alındı. Donör alandaki cilt 5-0 keskin iğneli propilen sutür (Premilene®) ile kapatıldı. Venlerin kapakları axonal regenerasyona engel olmasın diye ven konduitler ters çevrilip venin distal ucu sinir defektinin



Resim 3: Ven greftinin sinir kondukti olarak kullanılması

(Ok ven greftinin uygulandığı yeri göstermektedir)

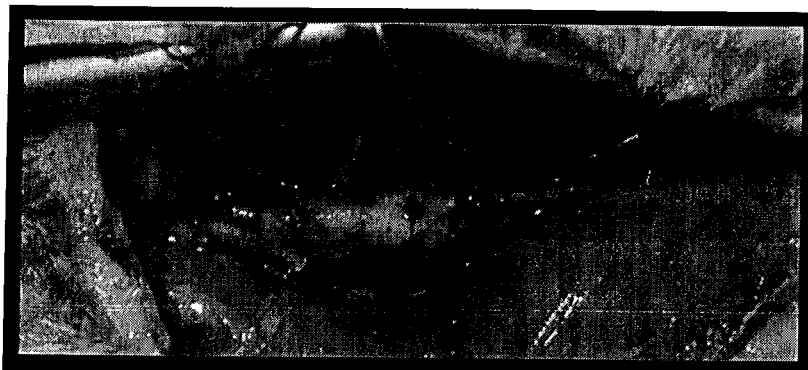


Resim 4: Kıkırdağın alınması ve konduitin hazırlanışı

proksimal ucuna, venin proksimal ucu sinir defektinin distal ucuna denk gelecek şekilde sutürasyon yapıldı. Sinir defektinin her iki ucu, venin içerisine birer milimetre sokularak 9-0 yuvarlak iğneli nylon sutür ile onarım (teleskop şeklinde onarım) tamamlandı (Resim 3).

1. ve 2. gruplar bu çalışmada sinir defekti onarımında günümüzde en geçerli iki uygulamanın deneysel ortamda tekrarlandığı modeller olup kontrol grupları özelliğindedirler. Kıkırdak dokusunun sinir kondukti olarak kullanılabilirliği, bu iki iyi bilinen ve klinikte kabul gören yöntemle kıyaslandı.

Grup 3 (İmmünsupresyon Verilmeyen Ksenojenik Kıkırdak Konduiti Grubu - KKKG)- (*İmmünsupresyon verilmeyen Xenograft (tavşan) aurikular kıkırdak grefti ile onarılan sinir defektli grubu*): 50 mg/kg ketaminin im kullanılarak sedasyon ve anestezinin sağlandığı olan Yeni Zellanda tavşanının kulağının ön yüzü traş edilip insizyon yapılip, kulak kıkırdağı perikondriumundan künt disseksiyonla sıyrıldı. Kıkırdak greft, perikondiumsuz olarak dışarıya alındı. Kulak derisi 5-0 keskin iğneli propilen sutürle kapatıldı. Kıkırdak greft, 1.3 mm (18 G) çaplı intrakete sarıldı ve 7-0 yuvarlak iğneli propilen sutür ile over-and-over sutür tekniği ile 12 mm'lik conduit hazırlandı. İtraket, tübülerize kıkırdak greftin içinden çıkarıldı (Resim 4). Siyatik sinirin her iki ucu arasına yerleştirilen kıkırdak konduit içerisine sinir uçları birer milimetre sokularak, (teleskop şeklinde onarım) 7-0 monoflaman nylon sutür kullanılarak sutüre edildi (Resim 5).



Resim 5: Kıkırdak konduitin uygulanması

Grup 4 (İmmünsupresyon Verilen Ksenojenik Kıkırdak Konduiti Grubu - KKKG) - (*ksenojenik kıkırdak grefti ile onarılan sinir defektli ratlara immunsupresyon uygulanan grup*): Kıkırdak dokusu, antijenitesi az olan bir dokudur. Bu nedenle ksenojenik kullanımını uygun bulduk. Ancak azda olsa immün sistemin oluşabilecek olumlu sonuçları baskılamaması için ksenojenik kıkırdak konduit uygulamalarına, immunsupresyon tedavisi ekleyerek bu grup oluşturuldu. Bu grupta da 3. grupta ki gibi ksenojenik kıkırdak konduiti 10 mm'lik rat siyatik siniri defektine uygulandı. Immunsupresif ajan olarak, siklosporin A (Sandimmun® Novartis 50mg/ml ampul) kullanıldı. Başlangıçta 20 gün boyunca 8mg/kg/gün dozunda subkutan yapılan siklosporin A sonraki haftalarda 2 haftada bir 8mg/kg

dozunda uygulandı ve çalışma sonuçlandırılana kadar bu interval ve dozda subkutan kullanılmaya devam edildi (226).

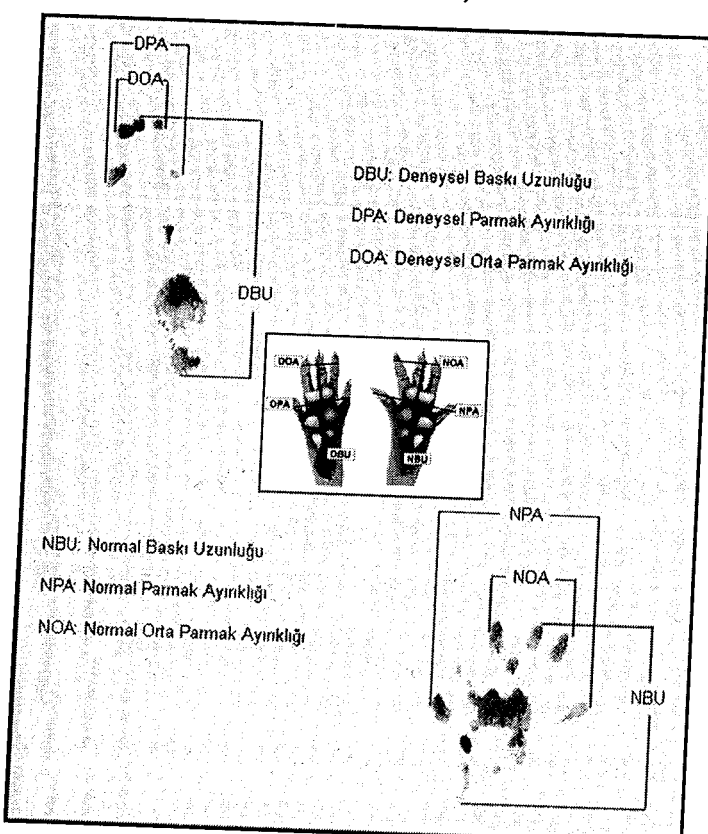
Bütün gruptarda sinir defektinin onarımını takiben 5-0 prolen sutür ile deri kapatımı yapıldı. Bütün hayvanlar operasyondan önce ve sonra 12 saat suni aydınlatma 12 saat karanlıkta ve çevre ısısı 22 °C olacak şekilde korundu, her denek standart rat yemi ve su ile izole kafeslerde beslendi.

3.3. DEĞERLENDİRME

Bütün gruptardaki deneklerin sağ alt extremitelerine uygulanan sinir kondukti prosedüründen sonra 16 hafta beklandı. 16 hafta sonra deneklere önce yürüme testi yapıldı, sonra ikinci cerrahi için önceki operasyon hazırlığı işlemlerinden sonra siyatik sinirleri tekrar bulundu ve EMG kayıtları alındı. Siyatik sinirler ve konduitler, makroskopik olarak değerlendirilip bulgular kaydedildi. Denekler sakrifiye edildikten sonra siyatik sinirlerinden örnekler alındı.

3.3.1. Fonksiyonel Değerlendirme

Walking track (yürüme şablonu) analizi



Tüm deneklere sakrifiye edilmeden önce yani postopretif 16. haftada yürüme analizi yapıldı. Literatürde tarif edildiği şekilde ratlar, 10x10x100 cm boyutlarında bir ucu kapalı ve karanlık bir kordorda, koridor tabanına her hayvan için ayrı emici kağıt yerleştirildikten sonra, her iki ayağı metilen mavisine batırılıp yürütüldü (227-232). Kağıt üzerinde oluşan ayak izlerinden ölçümler yapıldı (Şekil 9).

Sekil 9: Yürüme şablonu (72)

Her ratta siyatik fonksiyon indeksinin bulunması için yukarıdaki örnek şablondaki gibi milimetre cinsinden uzunluk ölçümleri not edildi.

-Baskı uzunluğu (BU) : Topuktan 3. parmağa kadar olan uzaklık,

-Parmak ayıralığı (PA) : 1. ve 5. parmak arasındaki uzaklık,

-Orta parmak ayıralığı (OA) : 2. ve 4. parmak arasındaki uzaklık

Her deneğin deney ayağı (DBU, DPA, DOA) ve kontrol ayağından elde edilen (NBU, NPA, NOA) ölçümler kaydedildi. Her üç ölçüm için, normal (sol bacak) ve deney sonrası (sağ bacak) değerler arasındaki farkın normal değerlere bölünmesi ile bir faktör oluşturuldu.

-Baskı uzunluk faktörü (BUF) = DBU - NBU/NBU,

-Parmak ayıralık faktörü (PAF) = DPA - NPA/NPA,

-Orta parmak ayıralık faktörü (OAF) = DOA - NOA/NOA olarak hesaplandı.

Bu faktörler daha sonra Bain-Mackinnon-Hunter (BMH) siyatik fonksiyon indeksinin (SFI) hesaplanmasında kullanıldı (30).

SİYATİK FONKSİYON İNDEKSİ (SFI) FORMÜLÜ

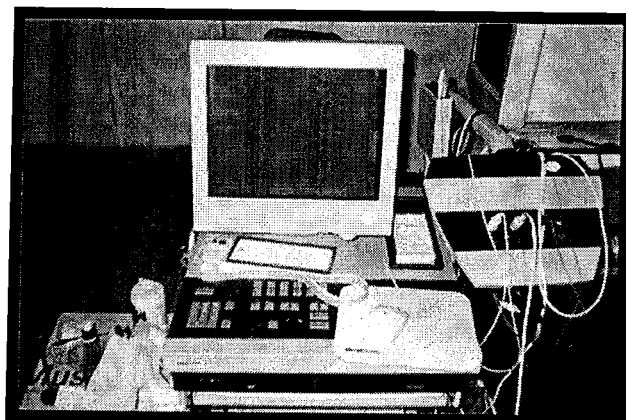
$$\text{SFI} = -38.3 \text{ (BUF)} + 109.5 \text{ (PAF)} + 13.3 \text{ (OAF)} - 8.8$$

Sıfır indeksi normal fonksiyonu, - 100 indeksi teorik olarak tam

fonksiyon kaybını yansıtma beraber, teknik olarak kullanılan formüldeki sabitler nedeniyle - 100 den büyük değerler elde edilmesi mümkündür.

3.3.2.Elektrofizyolojik Değerlendirme

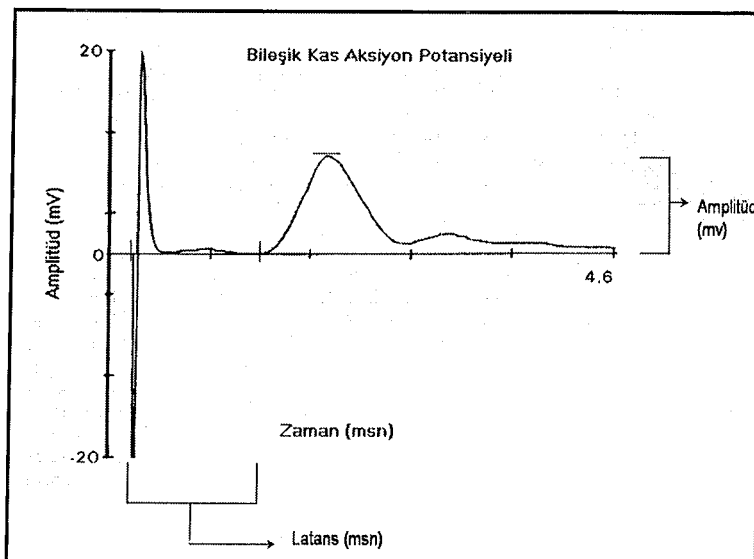
Her bir denekte, "bileşik kas aksiyon potansiyeli" (BKAP) ölçüldü.



Resim 6: Medtronic Keypoint EMG Cihazı

Elektrofizyolojik kayıtlar MEDTRONIC Keypoint® Version 9031 A0024 cihazı ve Keypoint Ver 3.00 yazılımı ile alındı (Resim 6). Siyatik sinir uyarıları için, aralarında 5 mm uzaklık olan silikon materyal içine gömülerek uçlarındaki 2 mm'lik kısımları dışında izole edilmiş, bipolar tungsten metal

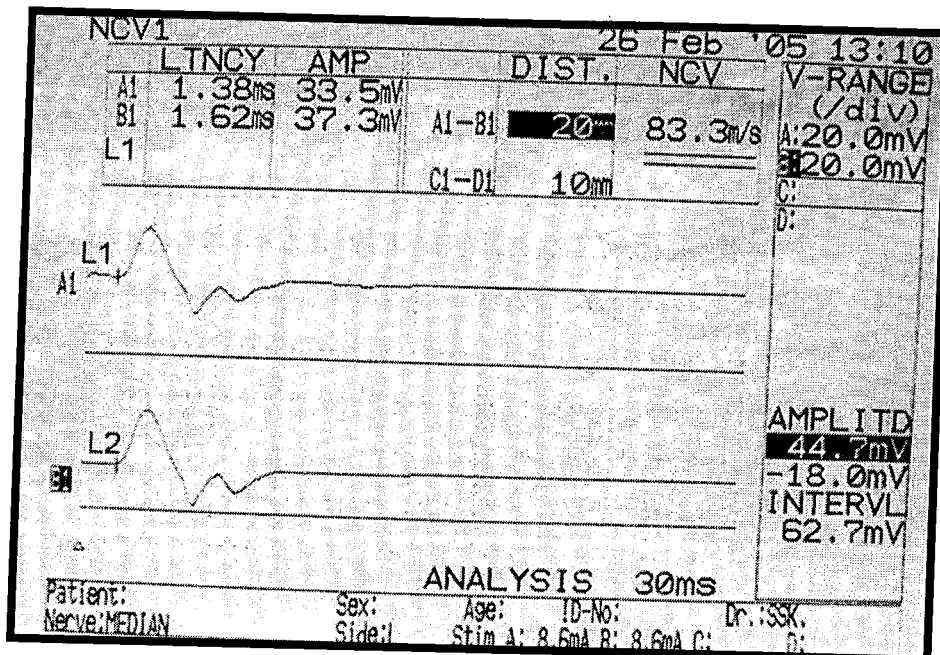
elektrotlar, katod distale gelecek şekilde sinirin üzerine yerleştirildi. Kayıtlar, aktif elektrot gastroknemius kasının tam üzerine gelecek şekilde, tüyleri tıraş edilmiş deri üzerine, referans elektrot ise aynı kasın tendonu üzerine yerleştirilmiş, Ag/AgCl'den yapılan, 0.5 cm çapında yüzeyel disk şeklindeki elektrotlarla alındı. Topraklama elektrodu ise tüyleri tıraş edilmiş kuyruk üzerine yerleştirildi. En düşük amplitüdü uyarıyla elde edilen en yüksek cevap kaydedildi. Uyarılar filtre



Şekil 10: Normal BKAP ölçümü (233)

band aralığı 3Hz-10KHz, 0.1 msn.lık akımla verildi. Preoperatif ölçümde 5 mm üzerinden yani konduitin uygulanacağı mesafenin 5 mm altından ilk uyarı verildi. Elde edilen bileşik kas aksiyon potansiyelinin bazal çizgiden ilk sapmasının olduğu yer latans (ms) olarak değerlendirildi.

Bileşik kas aksiyon potansiyelinin amplitüdü (mV) düz çizgiden sapma miktarlarıyla hesaplandı (Şekil 10). İlk uyarının verildiği yerin 20 mm üzerinden yani konduitle onarımın yapılacakı mesafenin 5 mm üzerinden ikinci bir uyarı verilip latans kaydedildi ve 20 mm' nin her iki latans farkına bölünmesiyle ileti hızı bulunup m/sn cinsinden değerlere çevrildi (Resim 7). Aynı uygulama postoperatif 16. haftada uyarılar konduitlerin 5 mm distalinden yapılan ilk uyarı ve 5 mm proksimalinden yapılan ikinci uyarıyla tekrar edilip iyileşmenin elektrofizyolojik olarak ölçüyü yapıldı.



Resim 7: Örnek EMG raporu

(20 mm'lik mesafeden yapılan ölçümle elde edilmiştir.)

İleti Hizi : 20 mm / L2-L1(msn)

İleti Hizi : 20 / 1,62-1,38

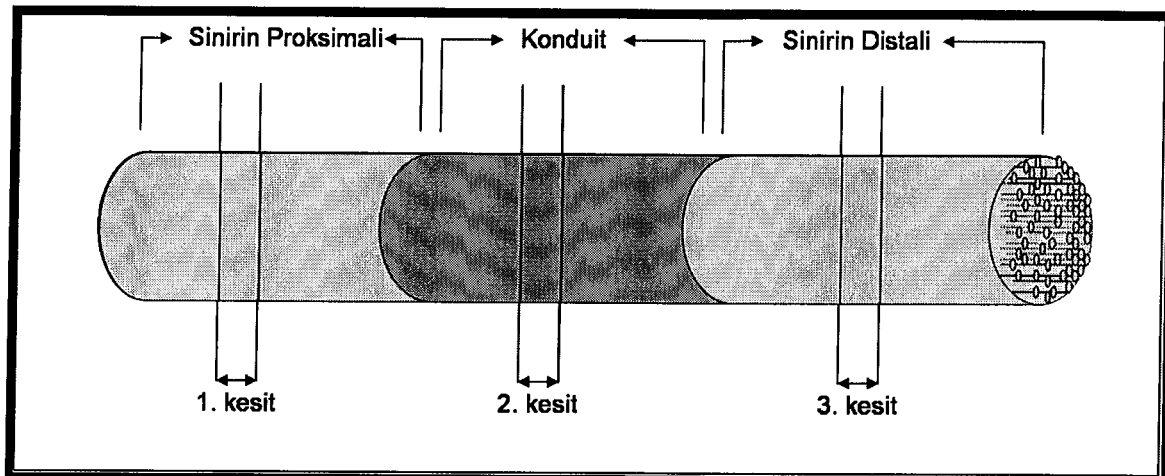
İleti Hizi : 20 / 0,24 : 83,3 m/s

3.3.3. Histolojik Değerlendirme

Elektrofizyolojik çalışmaların tamamlanmasından sonra deneklerin tamamı intrakardiyak yüksek doz tiopental sodyum (Penthal Sodium ®, ampul 0,5 g, Abbott) verilerek sakrifiye edildi. Daha sonra siyatik çentikten popliteal fossaya kadar uzanan siyatik sinir ortaya kondu. Her denekten onarım hattının 5 mm proksimalinden, onarım hattının tam ortasından ve onarım hattının 5 mm distalinden olmak üzere 3'er adet 3 mm kalınlığında örnek alındı (Şekil 11).

Alınan doku %10 formalin ile fiks edildikten sonra alkol solüsyonları ile dehydrate edildi. Kesitlerde akson sayısını saptayabilmek için örnekler dik olarak parafine yerleştirildi ve parafin bloklar oluşturuldu. Tüm örneklerden 5 mikron kalınlığında alınan kesitler hematoksilen ve eosin ile boyandı. Bütün preperatlarda aksonal rejenerasyonun niteliksel farklılıklarını araştırmacı tarafından değerlendirildi. Niceliksel değerler ortaya koymak için akson sayıları, çift kör

olarak sayılıp ortalamaları alındı. Çıkan sayısal değerler çalışmaya alınan tüm ratların cerrahi müdahale yapılan siyatik sinirlerinin 3 noktadaki akson sayılarıdır.



Şekil 11: Kesitlerin alındığı yerlerin şematik gösterimi

3.4. İSTATİSTİK YÖNTEMİ

Veriler Windows 98 işletim sisteminde SPSS for Windows Release 10.0. istatistik programında non-parametrik testlerden “Kruskall Wallis Testi”, “Mann Whitney U Testi” kullanılarak değerlendirildi. Parametreleri kendi aralarında karşılaştırmak için “İkili korelasyon” testi uygulandı.

4. BULGULAR

Tüm grupları elde edilen parametreler yönünden değerlendirmek için “Kruskal Wallis” testi kullanıldı. Tüm gruplar arasında preoperatif latans, preoperatif amplitüd, preoperatif ileti hızı, postoperatif 16. haftadaki latans, proksimal sinirden alınan kesitlerdeki akson sayısı, konduitlerin ortasından alınan kesitlerdeki akson sayısı yönünden anlamlı farklar bulunmazken; postoperatif 16. haftadaki amplitüd ve ileti hızları, siyatik fonksiyon indeksleri ve sinirin distalinden alınan kesitlerdeki akson sayısı parametrelerinde istatistiksel olarak anlamlı farklar bulundu (Tablo 2). Ancak Kruskal Wallis testinde anlamlılığın hangi grup lehine yorumlanacağı yönünde bilgi yoktur. Aynı zamanda grupların ikili değerlendirilmelerinde istatistiksel anlamlılıkları Kruskal Wallis testinden faklılık gösterebilir. Bu nedenlerle parametreler ikili gruplar halinde Mann-Whitney U testinde değerlendirildi.

Tablo 2: Grupların tüm parametreler yönünden karşılaştırılması (Kruskal Wallis)

	Preoperatif			Postoperatif				Proksimal	Konduit Ortası	Distal
	Latans	Amplitüd	İleti Hızı	Latans	Amplitüd	İleti Hızı	SFI	Akson Sayısı	Akson Sayısı	Akson Sayısı
P=	0,995	0,969	0,913	0,242	0,013	0,017	0,001	0,896	0,091	0,001

4.1. ELEKTROFİZYOLOJİK BULGULAR

Bütün deneklerin siyatik sinirlerine ait elektrofizyolojik bulguları ameliyattan önce ve ameliyattan sonra 16. haftada yapılan EMG'ler ile belirlendi. Her deneğin EMG'lerindeki latans, amplitüd ve ileti hızları preoperatif ve postoperatif olarak kaydedildi (Tablo 3). Grupların preoperatif yapılan EMG'lerini karşılatıldığımızda; amplitüd, latans ve sinir ileti hızları bulgularının hepsinde istatistiksel olarak anlamlı fark olmadığı tespit edilip grupların homojen olduğu belirlendi (Tablo 2).

Postoperatif EMG değerlerini, preoperatif EMG değerleri ile karşılaştırıldığımızda tüm grplarda latansın uzadığı, amplitüd ve ileti hızının azaldığı saptandı.

Tablo 3: Grupların Preoperatif ve Postoperatif EMG Değerleri

Grup numarası	Denek numarası	Preoperatif latans (msn)	Preoperatif amplitüd (mV)	Preoperatif hız (m/sn)	Postoperatif latans (msn)	Postoperatif amplitüd (mV)	Postoperatif hız (m/sn)
1	1	1,12	14,7	62,5	1,36	5,23	34,1
	2	1,16	15	50	1,36	29,3	62,5
	3	1,16	15,3	62,5	1,12	22,7	55,6
	4	1,2	28,7	83,3	3,64	1,5	3,55
	5	1,04	15,3	66,7	1,64	22	21,7
	6	1,12	15,7	83,3	1,36	24,6	34,1
	7	1,28	13,3	62,5	2,04	6,33	20
	8	1,2	12	41,7	1,64	10,7	62,5
	Ortalamalar	1,16	16,25	64,0625	1,77	15,295	36,75625
2	1	1,24	15,3	83,3	1,56	5,33	13,50
	2	1,16	10	62,5	2,04	5,67	17,90
	3	1,2	12,7	62,5	1,64	16	25
	4	1,08	23,3	62,5	1,68	8,67	25
	5	1,2	20,7	83,3	3,64	1,5	3,55
	6	1,04	15,7	50	3,64	1,5	3,55
	7	1,16	15,3	41,7	3,64	1,5	3,55
	8	1,16	13,3	62,5	1,64	1,67	25
	Ortalamalar	1,155	15,7875	63,5375	2,435	5,23	15,63125
3	1	1,2	28,3	83,3	3,4	7,33	3,55
	2	1,16	15	83,3	2,04	6,67	38,5
	3	1,08	15,7	62,5	2,04	7,23	38,5
	4	1,16	14,7	62,5	1,72	7,67	17,9
	5	1,08	15,3	50	1,8	5,23	31,3
	6	1,12	15,7	83,3	1,76	5,67	31,3
	7	1,24	12,7	62,5	1,64	8,67	31,3
	8	1,12	11,3	50	3,64	1,5	17,9
	9	1,24	16,7	62,5	2,36	7,17	25
	Ortalamalar	1,155556	16,15556	66,65556	2,266667	6,348889	26,13889
4	1	1,16	20,3	62,5	1,12	2,33	19,7
	2	1,08	13	62,5	3,64	1,5	3,55
	3	1,2	20,3	50	2,44	1,67	13,5
	4	1,24	10,7	83,3	3,64	1,5	3,55
	5	1,16	14,7	62,5	3,64	1,5	3,55
	6	1,04	16,7	62,5	1,56	1,5	23,8
	7	1,16	20	50	1,24	5,67	19,7
Ortalamalar		1,148571	16,52857	61,9	2,468571	2,238571	12,47857

4.1.1. Grupların EMG Değerleri

Grup I (Sinir Grefti Grubu-SGG): Cerrahi işleme başlamadan önce sağ siyatik sinirin bileşik kas aksiyon potansiyelinin amplitüdü, latansı ve sinir ileti hızı kaydedildi.

Tablo 4: 1. Grupta kesi öncesi ve onarımından 16 hafta sonra siyatik sinirden elde edilen EMG değerlerin ortalamaları

Grup1 (n=8)	Ameliyattan önce (ortalama)	Onarımından 16 hafta sonra (ortalama)
Latans (msn)	1.16 ± 0.07	1.31 ± 0.804
Amplitüd (mV)	16.25 ± 5.18	15.29 ± 10.52
Sinir İleti Hızı (msn)	64.063 ± 14.40	36.75 ± 21.7

Preoperatif ortalama latans 1.16 ± 0.07 msn bulundu. Onarımından 16 hafta sonra ise ortalama 1.31 ± 0.804 msn olarak tespit edildi. Preoperatif amplitüd, ortalama 16.25 ± 5.18 mV, onarımından 16 hafta sonra ise ortalama 15.29 ± 10.52 mV olarak hesaplandı. Preoperatif sinir ileti hızı 64.063 ± 14.40 msn onarımından 16 hafta sonra ise ortalama 36.75 ± 21.7 msn olarak ölçüldü (Tablo 4).

Grup II (Venöz Konduit Grubu-VKG): Preoperatif ortalama latans 1.15 ± 0.065 msn bulundu. Onarımından 16 hafta sonra ise ortalama 2.43 ± 1.008 msn'ye yükseldi. Preoperatif ortalama amplitüd 15.78 ± 4.31 mV, onarımından 16 hafta sonra ise ortalama 5.23 ± 5.10 mV olarak ölçüldü. Preoperatif ortalama sinir ileti hızı 63.53 ± 14.3 msn, onarımından 16 hafta sonra ise ortalama 15.63 ± 10.24 msn olarak saptandı (Tablo 5).

Tablo 5: 2. Grupta kesi öncesi ve onarımından 16 hafta sonra siyatik sinirden elde edilen EMG değerlerinin ortalamaları

GrupII (n=8)	Ameliyattan önce (ortalama)	Onarımından 16 hafta sonra (ortalama)
Latans (msn)	1.15 ± 0.065	2.43 ± 1.008
Amplitüd (mV)	15.78 ± 4.31	5.23 ± 5.10
Sinir İleti Hızı (msn)	63.53 ± 14.3	15.63 ± 10.24

Preoperatif ortalama latans 1.15 ± 0.065 msn bulundu. Onarımından 16 hafta sonra ise ortalama 2.43 ± 1.008 msn'ye yükseltti. Preoperatif ortalama amplitüd 15.78 ± 4.31 mV, onarımından 16 hafta sonra ise ortalama 5.23 ± 5.10 mV olarak ölçüldü. Preoperatif ortalama sinir ileti hızı 63.53 ± 14.3 msn, onarımından 16 hafta sonra ise ortalama 15.63 ± 10.24 msn olarak saptandı (Tablo 5).

Grup III (İmmünsupresyon Verilmeyen Ksenojenik Kıkırdak Konduit Grubu-İmmünsupresyon Verilmeyen KKKG): Preoperatif ortalama latans

Tablo 6: 3. Grupta kesi öncesi ve onarımdan 16 hafta sonra siyatik sinirden elde edilen EMG değerlerinin ortalaması

Grup III (n=9)	Ameliyattan önce (ortalama)	Onarımdan 16 hafta sonra (ortalama)
Latans (msn)	1.15±0.061	2.26±0.74
Amplitüd (mV)	16.15±4.84	6.34.±2.08
Sinir İleti Hızı (msn)	63.65±13.48	26.13±11.36

amplitüd 16.15 ± 4.84 mV, onarımdan 16 hafta sonra ise ortalama $6.34.\pm2.08$ mV olarak ölçüldü. Preoperatif ortalama sinir ileti hızı 63.65 ± 13.48 msn, onarımdan 16 hafta sonra ise ortalama 26.13 ± 11.36 msn olarak saptandı (Tablo 6).

Grup IV (İmmünsupresyon Verilen Kıkırdak Konduit Grubu-İmmünsupresyon Verilen KKKG): Preoperatif ortalama latans 1.14 ± 0.068 msn

Tablo 7: 4. Grupta kesi öncesi ve onarımdan 16 hafta sonra siyatik sinirden elde edilen EMG değerlerinin ortalaması

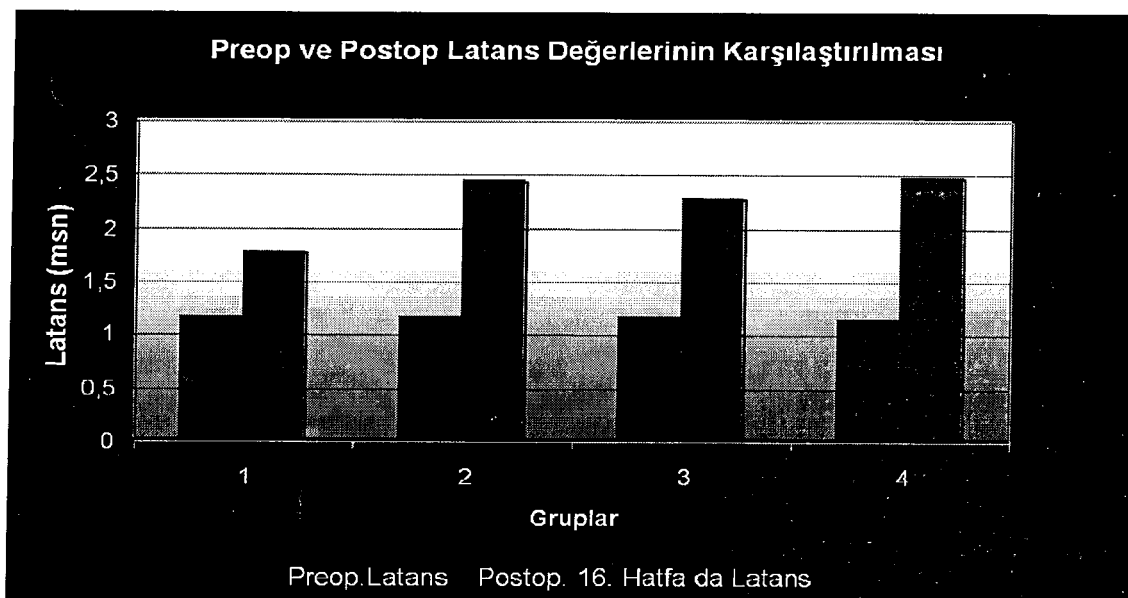
GrupIV (n=7)	Ameliyattan önce (ortalama)	Onarımdan 16 hafta sonra (ortalama)
Latans (msn)	1.14 ± 0.068	2.46 ± 1.17
Amplitüd (mV)	16.52 ± 3.87	2.23 ± 1.54
Sinir İleti Hızı (msn)	61.90 ± 11.12	12.47 ± 8.87

mV, onarımdan 16 hafta sonra ise ortalama $2.23.\pm1.54$ mV olarak ölçüldü. Preoperatif ortalama sinir ileti hızı 61.90 ± 11.12 msn, onarımdan 16 hafta sonra ise ortalama 12.47 ± 8.87 msn olarak saptandı (Tablo 7) .

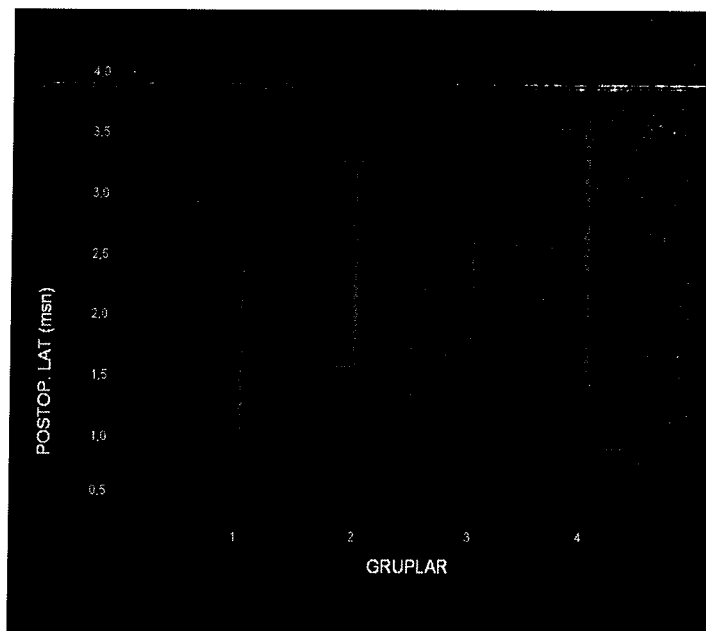
4.1.2 Grupların EMG'de Elde edilen Parametrelere Göre Karşılaştırılması

Latans: Bütün grupların EMG değerlerini incelediğimizde postoperatif 16. haftada ki en kısa ortalama latans değeri sinir grefti grubuna (SGG) aitti.

Bu grubu immunsupresyon verilmeyen kıkırdak conduit grubu (İmmunsupresyon Verilmeyen KKG) izmekteydi. Ven conduit grubunda (VKG) ise latans bu iki gruptan daha uzundu. İmmünsupresyon uygulanmış kıkırdak conduit grubu (İmmünsupresyon Verilen KKG) ortalama latans değeri en uzun olan gruptu (Şekil 12). Postoperatif latans değerlerinin dağılımı en geniş olan grup yine bu grup olarak gözlendi (Şekil 13).

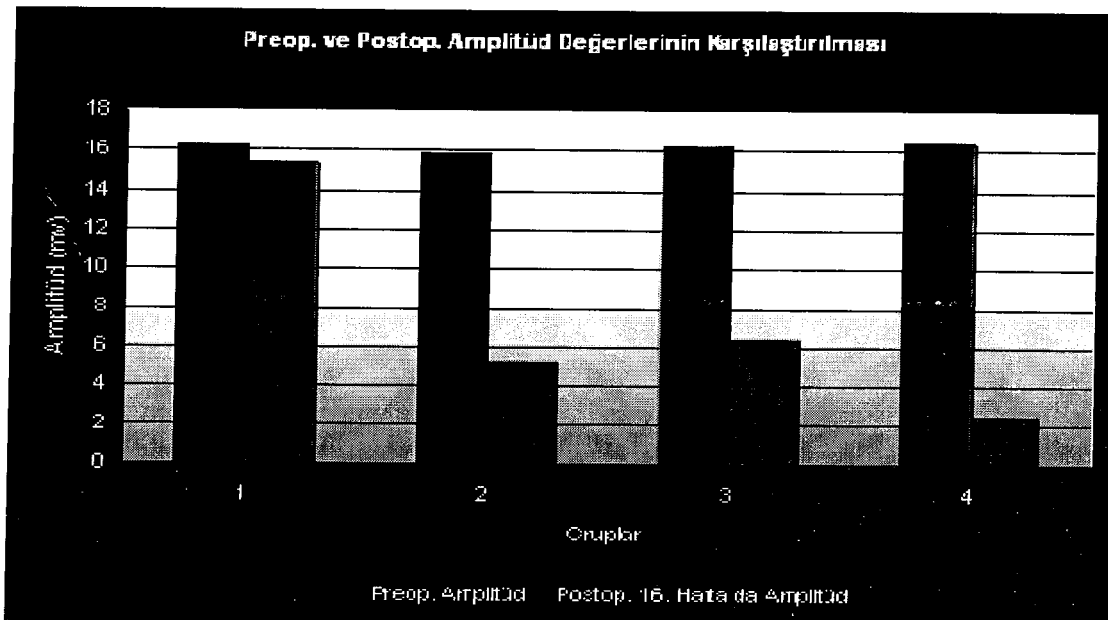


Şekil 12: Preoperatif ve postoperatif latans ortalamalarının karşılaştırılması

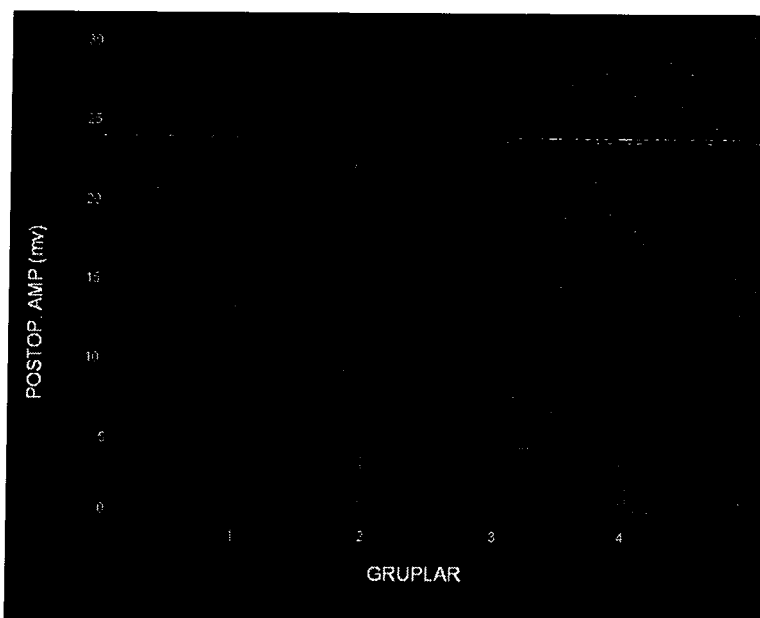


Şekil 13: Grupların postoperatif latans değerleri

Amplitüd: Grupları postoperatif EMG'de kaydedilen amplitüd değerleri açısından karşılaştırdığımızda SGG'de ortalama amplitüd değerlerinin preoperatif amplitüd değerlerine çok yaklaşığı ve diğer grplardan daha yüksek olduğu tespit edildi.



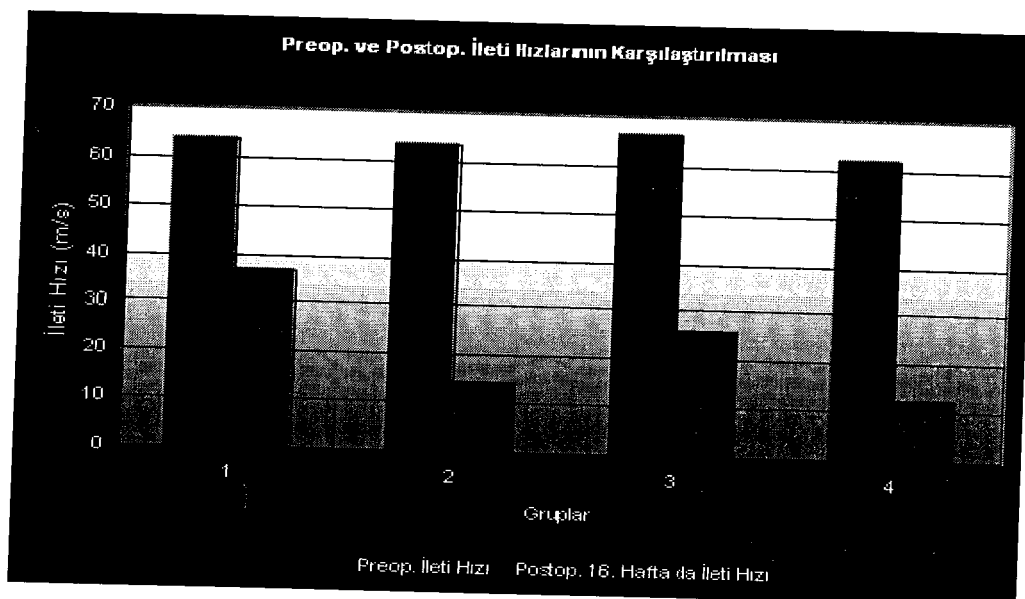
Şekil 14: Preoperatif ve postoperatif amplitüd ortalamalarının karşılaştırması



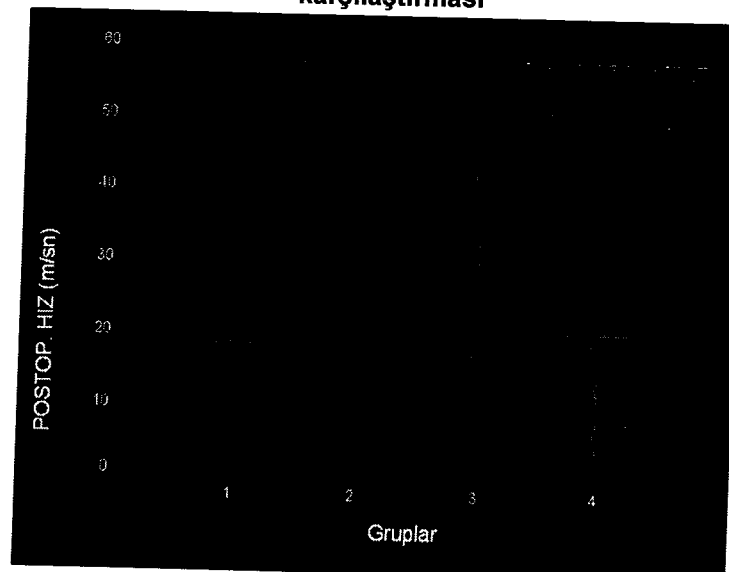
Şekil 15: Grupların postoperatif amplitüd değerleri

Bunu sırasıyla immünsupresyon verilmeyen KKG, VKG ve immunsupreyon verilen KKG izledi (Şekil 14 ve 15).

İleti Hızı: Bir conduit modeli ile onarılmış sinir defektinin içerisinde geçen rejenere aksonların elektriksel iletiyi ne hızla ilettiklerini gösteren EMG bulusu olan ileti hızıdır. Bu parametre açısından grupları karşılaştırdığımızda ileti hızının en yüksek olduğu grup, SGG'dir. Bu grubu immunsupresyon verilmeyen KKKG, VKG ve immunsupreyon verilen KKKG izlemiştir (Şekil 16 ve 17).



Şekil 16: Preoperatif ve postoperatif ileti hızları ortalamalarının karşılaştırılması



Şekil 17: Grupların postoperatif ileti hızları değerleri

4.2. ELEKTROFİZOLOJİK BULGULARIN İSTATİSTİK ANALİZİ

Elde edilen elektrofizyolojik veriler, bilgisayarda SPSS paket programında non parametrik testlerden Mann-Whitney U ile karşılaştırıldı. Değerlerin $p=0.05$ 'den küçük olanları anlamlı kabul edildi (Tablo 8).

Tablo 8: EMG değerleri yönünden gruplar arasındaki farkın istatistiksel ifadesi

	S-V	S-K	S-(K+İ)	V-K	V-(K+İ)	K-(K+İ)
Postop. latans	P=0,083	P=0,036(S)	P=0,463	P=0,743	P=0,779	P=0,918
Postop. amplitüd	P=0,05(S)	P=0,200	P=0,009(S)	P=0,277	P=0,336	P=0,005(K)
Postop. İleti hızı	P=0,038(S)	P=0,277	P=0,014(S)	P=0,046(K)	P=0,613	0,031(K)

S: Sinir grefti grubu, V: Venöz konduit grubu, K: Immünsupreyon verilmeyen kıkırdak konduit grubu, K+İ: Immünsupresyon verilen kıkırdak konduit grubu

()= Parantez içindeki harfler hangi grup lehine anlamlılık olduğunu göstermektedir.

**Tablo 9: Sinir Grefti ile Ven Konduitin EMG
Yönünden İstatistiksel Karşılaştırılması**

	Sinir Grefti	Ven Konduit
Postop. İleti Hızı	↑	↓
Postop. Amplitüd	↑	↓
Postop. Latans	✗	✗

↓: Azalmış, ↑: Artmış, ✗: Fark Yok

**Tablo 10: Sinir Grefti ve Immünsupresyon
verilmeyen KKG'nın EMG yönünden
istatistiksel karşılaştırılması**

	Sinir Grefti	Kıkırdak Konduit
Postop. İleti Hızı	✗	✗
Postop. Amplitüd	✗	✗
Postop. Latans	↓	↑

↓: Azalmış, ↑: Artmış, ✗: Fark Yok

**Tablo 11: Immünsupresyon verilmeyen
KKG ve ven konduitin EMG yönünden
istatistiksel karşılaştırılması**

	Ven Konduit	Kıkırdak Konduit
Postop. İleti Hızı	↓	↑
Postop. Amplitüd	✗	✗
Postop. Latans	✗	✗

↓: Azalmış, ↑: Artmış, ✗: Fark Yok

Çalışmamız, 2 adet deney grubu ve klinik uygulamada kabul görmüş konduit modelleri olan iki adet kontrol grubundan oluşmaktadır. Sinir ve ven greftlerinden oluşan kontrol gruplarını kendi aralarında EMG bulguları yönünden karşılaştırdığımızda postoperatif 16. haftadaki amplitüd ve ileti hızı açısından sinir grefti grubunun (SGG) venöz konduit grubuna (VKG) oranla istatistiksel olarak daha avantajlı olduğu bulunmuştur (tablo 9). Immünsupresyon verilmeyen KKG'yi, SGG ile karşılaştırdığımızda postoperatif amplitüd ve ileti hızları yönünde anlamlı bir fark bulunmazken postoperatif latans, immünsupresyon verilmeyen KKG' de istatistiksel olarak anlamlı şekilde uzamıştır (Tablo 10). Immunsupresyon

Tablo 12: Sinir grefti ve immünsupresyon verilen KKKG'nin EMG yönünden istatistiksel karşılaştırılması

	Sinir Grefti	Kıkırdak Konduit + Immunsupresyon
Postop. İleti Hızı	↑	↓
Postop. Amplitüd	↑	↓
Postop. Latans	✗	✗

↓: Azalmış, ↑: Artmış, ✗: Fark Yok

Tablo 13: Ven konduit ile immünsupresyon verilen KKKG'nin EMG yönünden istatistiksel karşılaştırılması

	Ven Konduit	Kıkırdak Konduit + Immunsupresyon
Postop. İleti Hızı	✗	✗
Postop. Amplitüd	✗	✗
Postop. Latans	✗	✗

↓: Azalmış, ↑: Artmış, ✗: Fark Yok

Tablo 14: Immünsupresyon verilen ve verilmeyen KKKG'lerin EMG yönünden istatistiksel karşılaştırılması

	Kıkırdak Konduit	Kıkırdak Konduit + Immunsupresyon
Postop. İleti Hızı	↑	↓
Postop. Amplitüd	↑	↓
Postop. Latans	✗	✗

↓: Azalmış, ↑: Artmış, ✗: Fark Yok

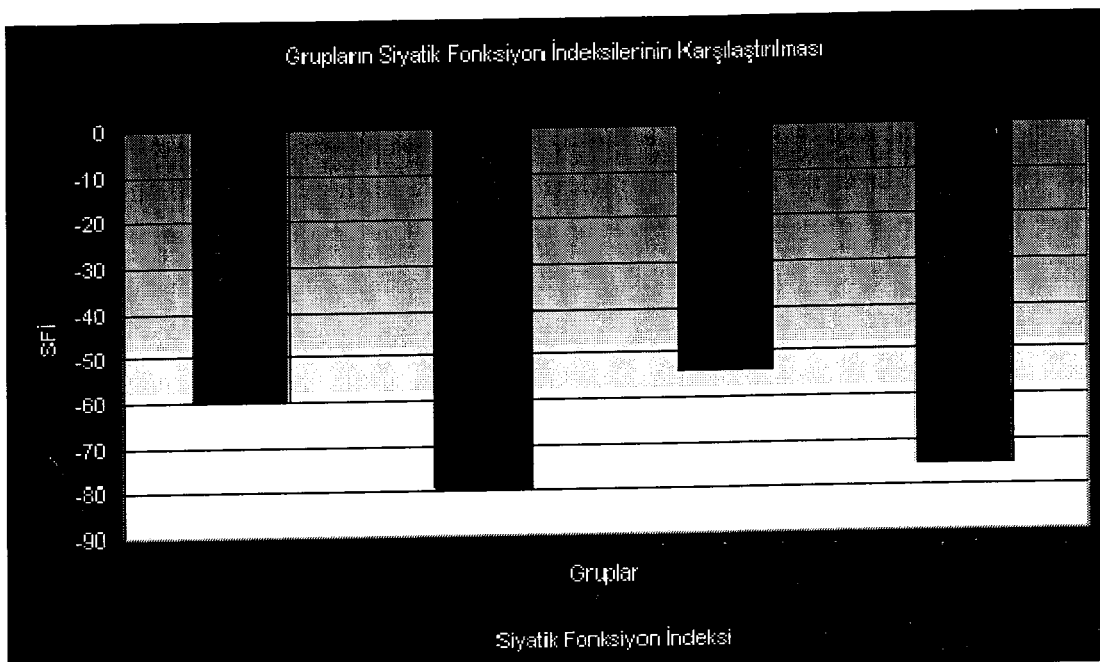
lehine anamlı farklar mevcuttur. Postoperatif latans değerleri açısından ise bir fark yoktur. (Tablo 14)

verilmeyen KKKG'nin ortalama latans değeri VKG'ye oranla daha kısa, ortalama amplitüd ve ileti hızı değerleri daha büyük olmasına rağmen; bu parametrelerden sadece postoperatif ileti hızında kıkırdak konduit grubu lehine istatistiksel olarak anlamlı bir fark vardır (Tablo11). Immunsupresyon verilen KKKG' de postoperatif amplitüd ve ileti hızı değerleri SGG' ye göre anlamlı derecede azalmıştır. Postopretif latans değerlerinde istatistiksel bir fark gözlenmemiştir (tablo12). İmüünsupresyon verilen KKKG ile VKG arasında EMG değerleri açısından anlamlı fark yoktur (tablo 13).

Her iki deney grubunu kendi aralarında karşılaştırdığımızda ise postoperatif amplitüd ve ileti hızları açısından immünsupresyon verilmeyen KKKG

4.3. FONKSİYONEL İNCELEME

Postoperatif 16. haftada ratlara yapılan yürüme testi verilerinden siyatiğ fonksiyon indeksleri hesaplandı. Gruplar arasındaki farkları belirlemek için Mann-Whitney U testi kullanıldı. Sinir grefti grubunun SFİ değeri ortalaması -59.805 ± 15.155 , venöz konduit grubunun ortalaması -79.448 ± 7.08 , immunsupreyon verilmeyen KKKG' nin ortalaması -54.471 ± 12.90 , immünsupresyon verilen KKKG'nin ortalaması ise -75.233 ± 5.10 olarak hesaplandı (Tablo 15).



Şekil 18: Grupların siyatik fonksiyon indeks ortalamalarının karşılaştırılması

Tablo 15: Grupların Siyatik Fonksiyon İndeksi (SFİ) Ortalamaları

	Grup 1	Grup 2	Grup 3	Grup 4
Ortalama SFİ	-59,805±15,15	-79,448±7,08	-54,471±12,90	-75,233±5,10

ait iken bunu grup 1, grup 4 ve grup 2 izledi (Şekil 18,19). Her iki kontrol grubu birbiri arasında karşılaştırıldığında SGG, VKG'ye göre istatistiksel olarak anlamlı olacak şekilde daha iyi SFİ değerine sahip olduğu tespit edildi. SGG ile immünsupresyon verilmeyen KKKG'e arasında fark yokken, SGG'nin immunsupresyon verilmiş KKKG'ye göre daha avantajlı sonuçlara sahip olduğu

**Tablo 16: Grupların SFİ Yönünden Karşılaştırılmaları
(Mann-Withney U Testi)**

	S-V	S-K	S-(K+I)	V-K	V-(K+I)	K-(K+I)
P=	0,01(S)	0,423	0,04(S)	<0,001(K)	0,336	0,01(K)

S:Sinir grefti grubu, V:Ven grefti grubu, K:kıkurdak grefti grubu,

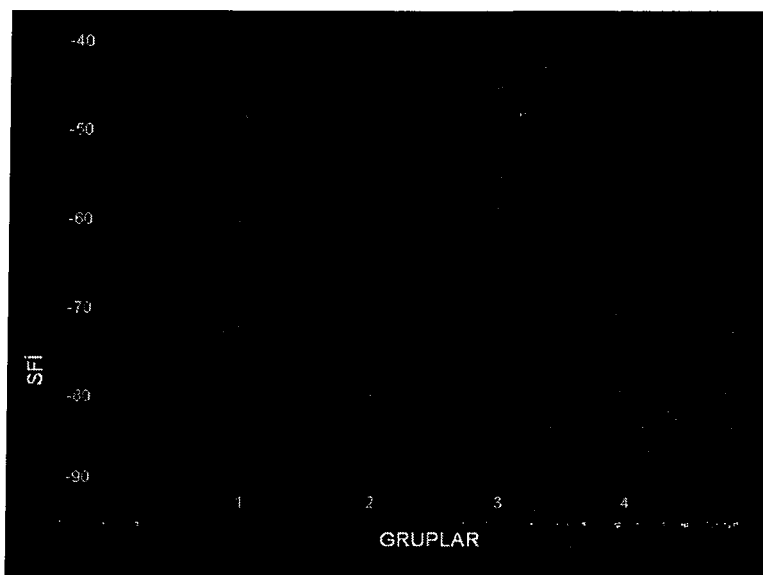
K+I:Kıkurdak grefti ve immünsupresyon uygulanan grub

()=Parantez içindeki harfler hangi grup lehine anlamlılık olduğunu göstermektedir.

En iyi siyatik fonksiyon indeksi ortalaması grup 3'e

istatistiksel olarak belirlendi. Immünsupresyon verilmeyen KKKG'nin siyatik fonksiyon indeksi VKG ve immünsupresyon verilen KKKG'ye göre istatistiksel

olarak anlamlı olacak şekilde daha iyidir. VKG ile immünsupresyon verilen KKKG arasında siyatik fonksiyon indeksi açısından bir fark yoktur (Tablo 16).



Şekil 19: Grupların siyatik fonksiyon indeksi ortalamaları

4.4. MAKROSKOBİK BULGULAR

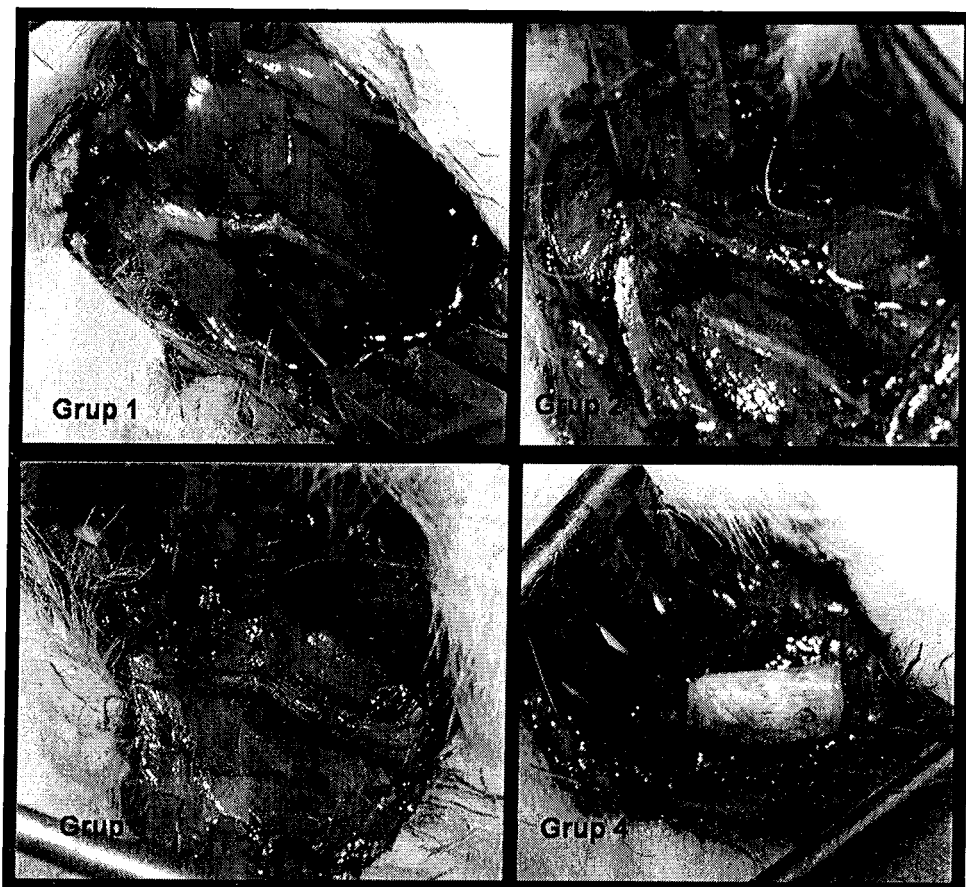
Her gruptaki deneğin siyatik siniri önce makroskobik olarak değerlendirildi. (Resim 8) Elde edilen bulgular aşağıda sıralanmıştır;

Grup 1: SGG'de postoperatif 16. haftada siyatik sinir defektinin olduğu bölgeye uygulanan sinir greftinin, çap olarak orijinal siyatik sinire çok yakın bir büyüklüğe ulaştığı ve makroskobik olarak sinir greftinin periferik sinir görüntüsü kazandığı belirlendi (Resim 8).

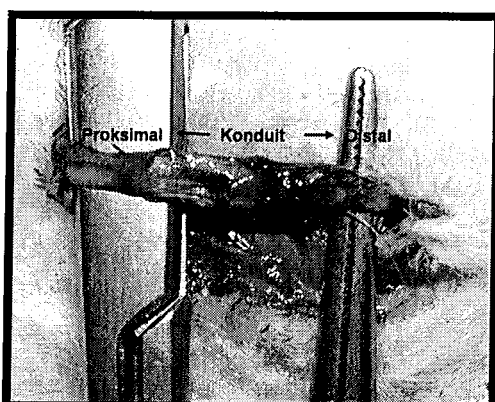
Grup 2: VKG'de deneklerin çoğunda postoperatif 16. haftada venöz konduitin uygulandığı sinir defekti bölümünde, normal siyatik sinir çapından çok daha küçük çaplı, makroskobik olarak periferik sinir dokusuna benzeyen dokular gözlandı. Ratların çoğunun deney yapılan ayaklarında ülserlerin devam ettiği belirlendi (Resim 8).

Grup 3: İmmünsupresyon verilmeyen KKG'de çoğu denekte kıkıldak konduitin tama yakın resorbe olduğu (Resim 8,9), distal sinir segmentinin çap olarak proksimal sinir segmentinden çok az bir oranda küçük olduğu ve sinir rejenerasyonun tamamlandığı gözlandı.

Grup 4: İmmünsupresyon verilen KKG'de periferik sinir defekti alanına uygulanan kıkıldak konduitin çoğu denekte resorbe olmadığı gözlandı. Nöropatik ülserler devam ettiği kaydedildi (Resim 8,10).

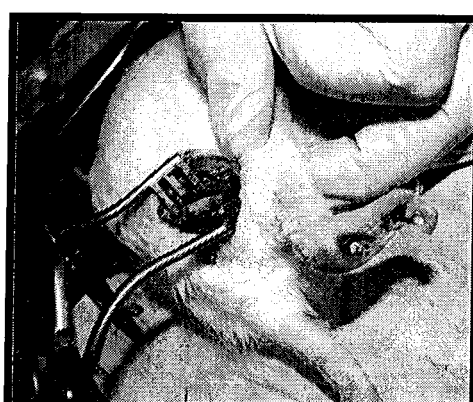


Resim 8: Postoperatif 16. haftada grumlardaki sinir onarımlarının görünümleri.



Resim 9: 3. Grupta bir deneğin tama yakın rezopsiyon gösteren sinir konduktı.

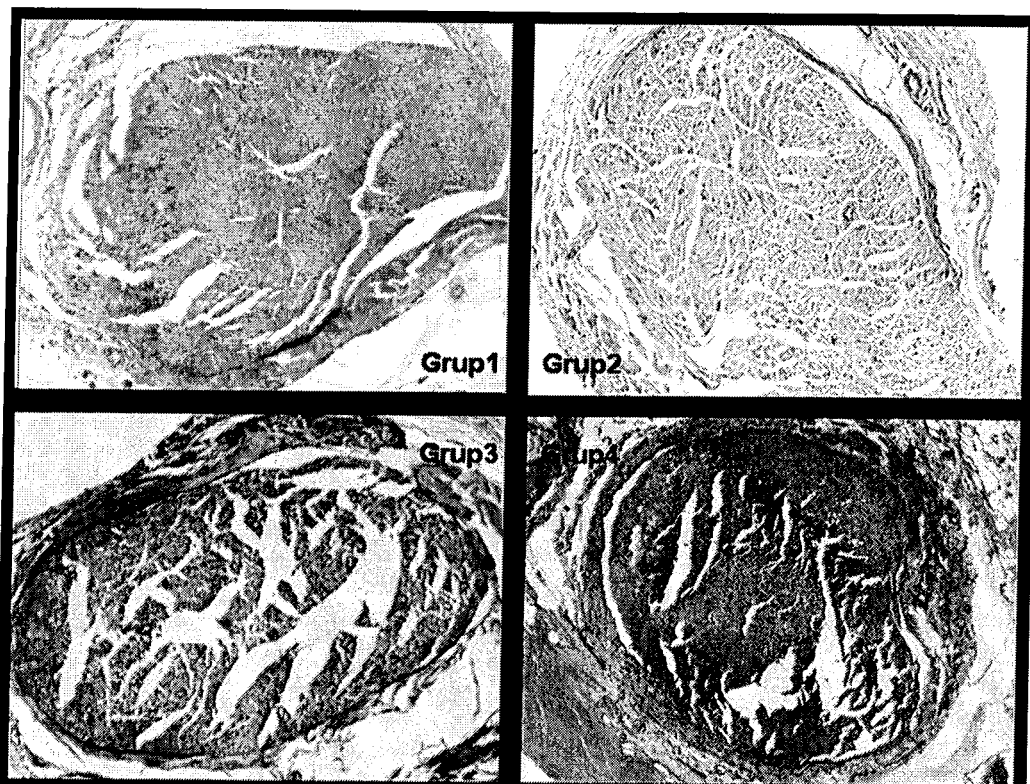
(Siyatik sinirin distalinde atrofi bulunmamaktadır.)



Resim 10: 4. Grupta bulunan bir denekte nöropatik ülser

4.5. HİSTOPATOLOJİK BULGULAR

Bütün grplarda onarımın distalinde siyatik sinirden alınan kesitlerdeki akson sayılarının konduitin ortasından ve onarımın proksimalinde siyatik sinirden alınan kesitlerdeki akson sayılarına oranla daha az olduğu belirlendi. Her grupta



Resim 11: Tüm grplarda sinir proksimalinden alınan kesitlerin karşılaştırılması
H&E boyası x100 büyütme.

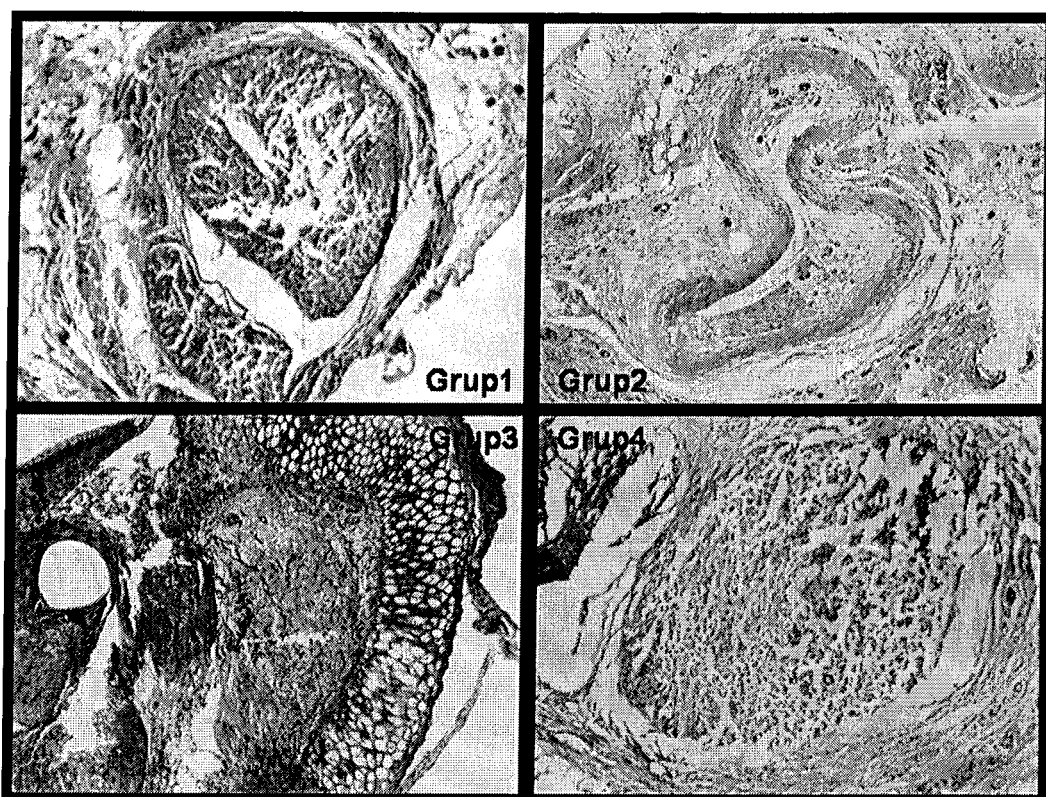
(Gruplar arasında eşit miktarda akson yoğunluğu görülmektedir.)

onarımın proksimalindeki ortalama akson sayıları birbirine yakın değerlerde olduğu ve yapılan istatistiksel kıyaslamada grplar arasında bir fark bulunmadığı ve grpların homojen dağıldığı tespit edildi (Resim 11).

4.5.1. Grpların Değerlendirilmesi

GRUP 1: (Sinir Grefti Grubu)

Bu grupta sinir greftinin uygulandığı alanın distalinden alınan kesitlerde akson sayısının diğer grplara göre daha fazla olduğu hesaplandı. Myelinsiz akson sayısı daha azdı. Aksonal uzanımlar düzenli ve tek yönlü idi.

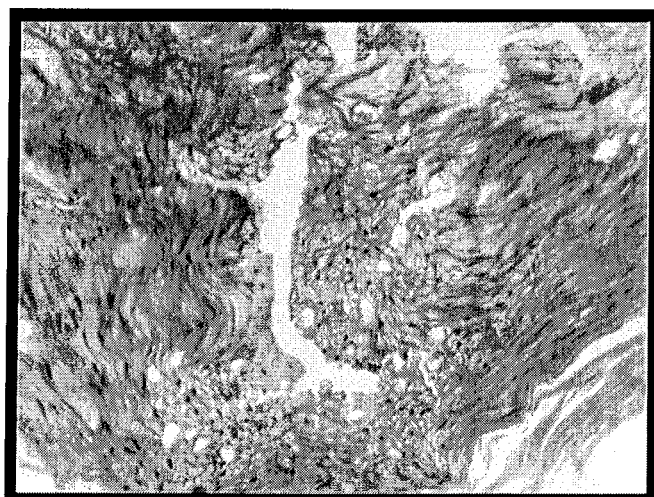


Resim 12: Konduitlerin ortasından alınan kesitlerdeki akson miktarları.

Ven grafted grubunda (grup 2) ven konduitin belirgin şekilde kollabe olduğu ve akson sayısının belirgin derecede düşüğü görülmüyor ($\times 100$, H&E)

Grup 2: (Venöz Konduit Grubu)

Ven greftinin sinir kondukti olarak kullanıldığı bu grupta; ven greftinin ortasından alınan kesitlerin bazlarında venin belirgin şekilde kollabe olduğu ve içerisinde aksonların geçişini belirgin şekilde engellediği gözlendi (Resim 12). Ven konduitlerin kollabe olduğu deneklerin SFI ve postoperatif ileti hızlarında da belirgin düşüşler mevcuttu. Distal sinir segmentinden alınan örneklerde myelinsiz akson sayısının az olduğu



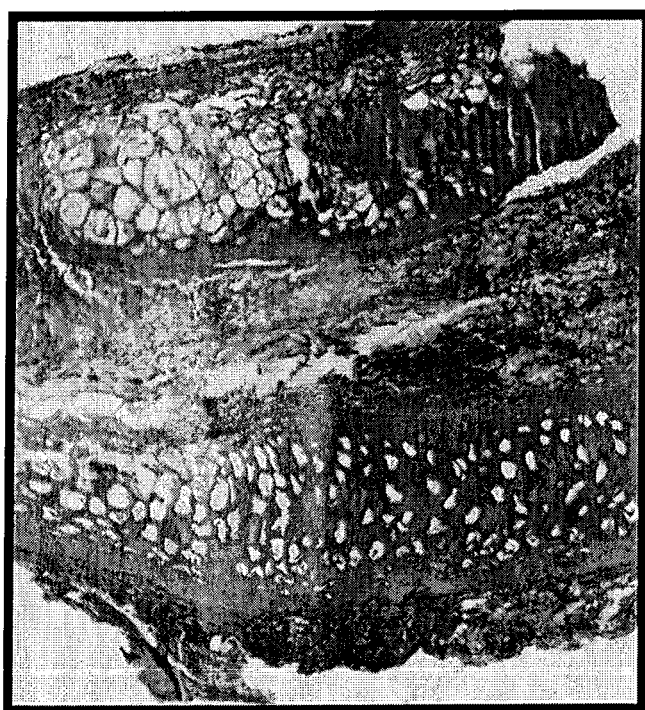
Resim 13: Ven grafted grubunda bir deneğin sinir onarımının distalinden alınan kesitte histolojik görüntü

(Aynı kesitte farklı yönlerde dağınık uzamlılar gösteren aksonal rejenerasyon gözlenmektedir)

gözlenirken, total akson sayısının belirgin derecede düşüğü belirlendi. Bununla birlikte aksonların uzanımları düzenli sıralar oluşturmaktan ziyade aynı kesit içerisinde birçok yöne doğru ilerleyen fasiküller şeklinde idi (Resim 13).

Grup 3: (İmmünspresyon Verilmeyen Ksenojenik Kıkırdak Konduiti Grubu)

Bu grupta kollabe olan sinir konduitine rastlanmadı. Daha önce kullanılmamış olan bu modelde kıkırdak tüplerin içerisindeki aksonal rejenerasyonun düzenli



Resim 14: Kıkırdak konduit içerisinde sinirin rejenerere olduğunu gösteren longitudinal kesit ($\times 100$, H&E)

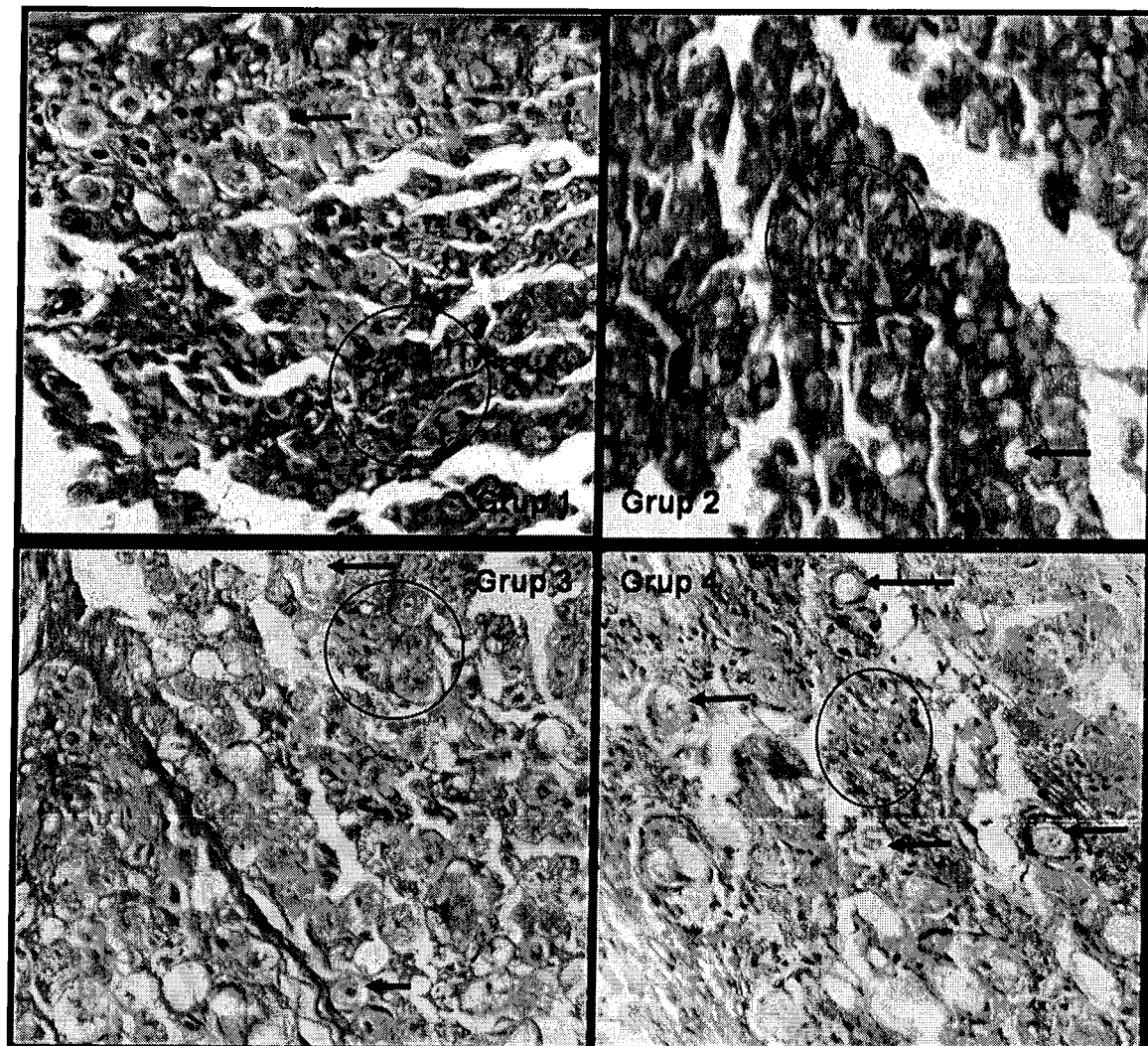
fasiküller oluşturarak geçtiği tespit edildi (Resim 14). Distal sinir segmentinden alınan örneklerde akson sayısının oldukça fazla olduğu ancak myelinsiz akson sayısında kontrol gruplarına göre bir miktar daha artma olduğu gözlandı (Resim 15,16). Kıkırdak tüpün sinire bakan yüzlerinde, hiperkromatik boyanmış, yer yer düzgün oval şekilli, yer yer iğsi bir şekil almış olan nükleosu bulunan birtakım hücrelerin kıkırdak dokunun içerisinde doğru yol aldığı ve lükünlara içerisinde yerlestiği

gözlandı. Sinir dokusuna spesifik bir boyaya olan Wangison ile boyamada bu hücrelerin Schwann hücreleri olduğu tespit edildi (Şekil 17).

Grup 4: (İmmünsupresyon Verilmiş Ksenojenik Kırkırdak Konduiti Grubu)

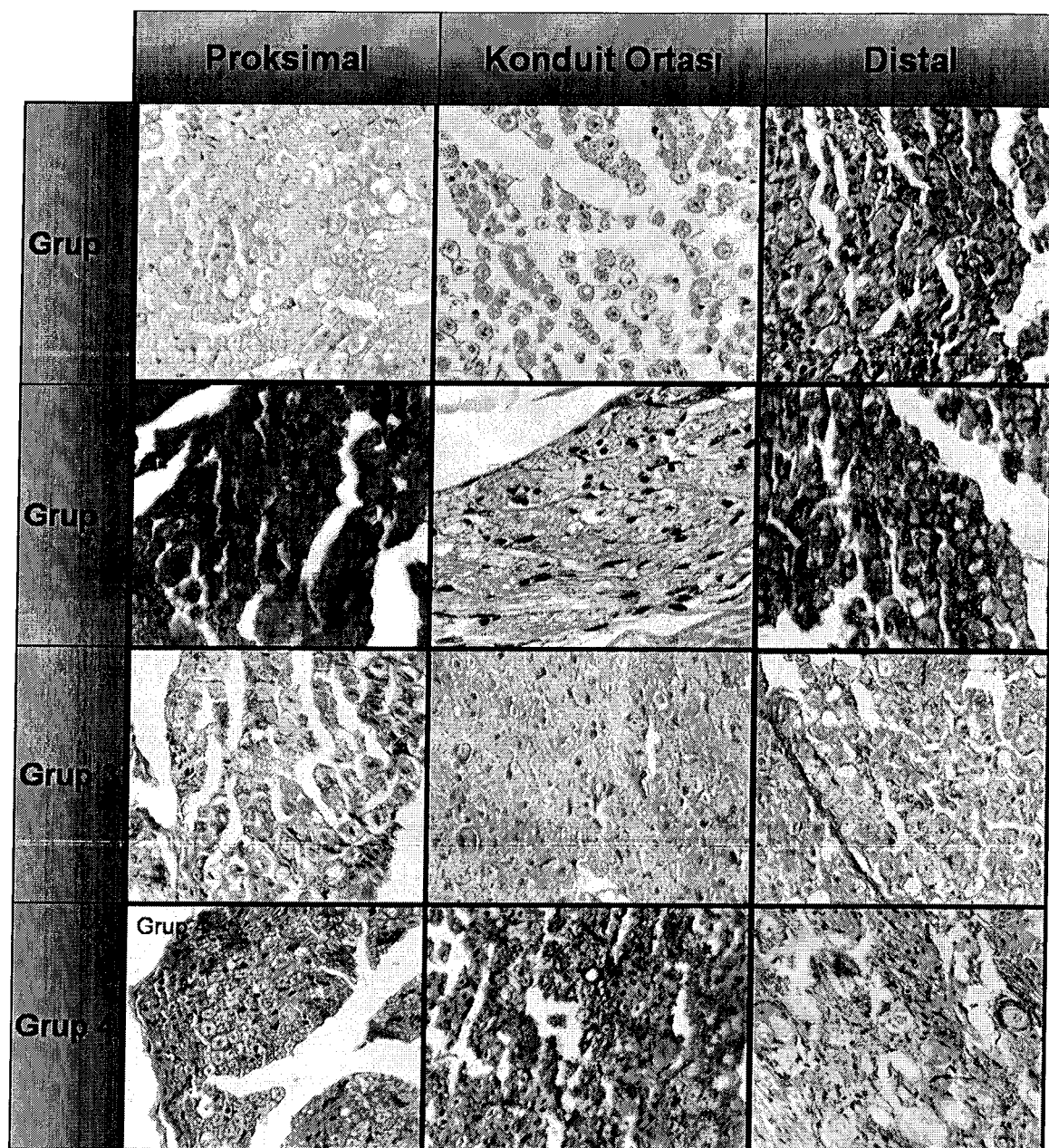
Bu grupta kollabe olan sinir konduitine rastlanmadı. 3. grupta olduğu gibi yine kıkırdak tüpün içerisinde sinir rejenerasyonunun ilerlediği gözlandı. Ancak bu grupta konduit içerisinde geçen aksonların sayısında belirgin azalmayla birlikte, onarımın distalinde az miktarda rejenerere akson miktarı ve bu aksonlarda myelinsiz akson yoğunluğunun artmış olduğu gözlandı (Resim 12,15,16,18).

Bununla birlikte 3. grupta gözlenen konduitin içerisinde lükünlalara ilerlemiş Schwann hücre gruplarına rastlanmadı .

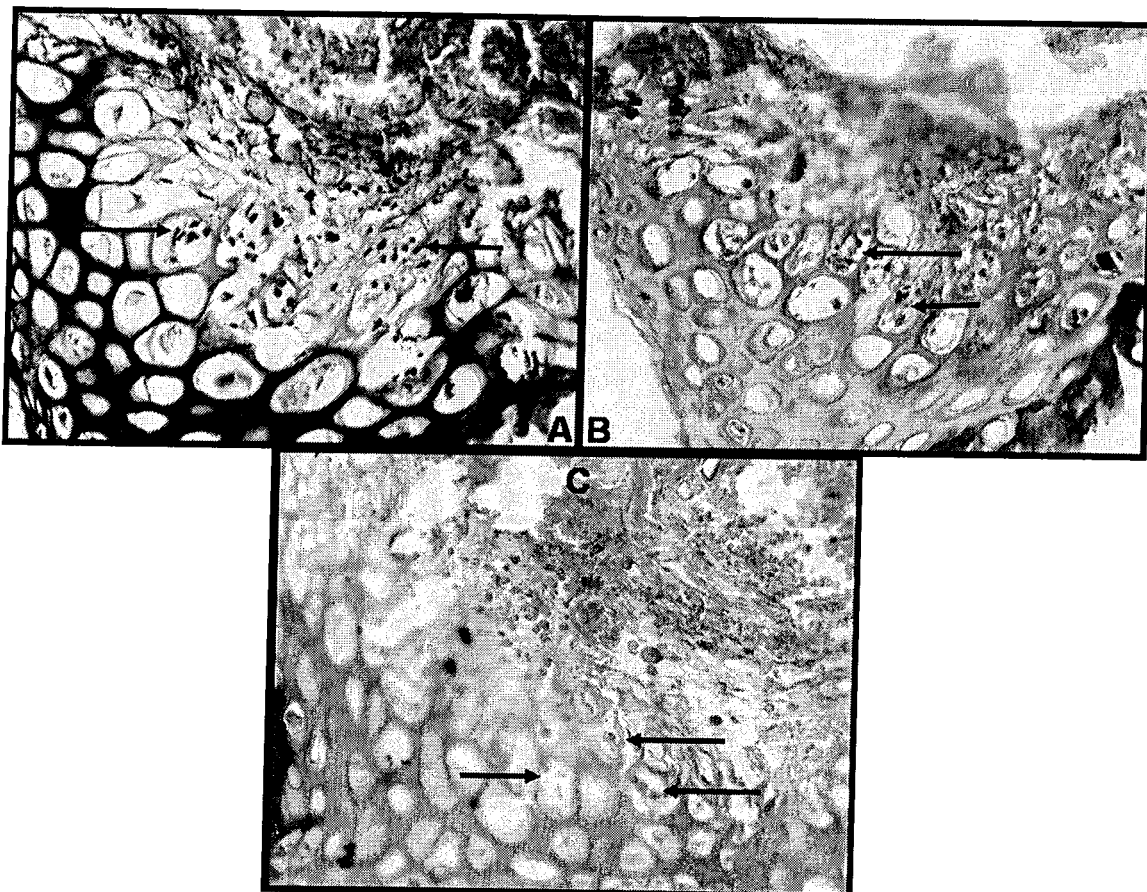


Resim 15: : Tüm grplarda sinir onarımının distalden alınan kesitlerin karşılaştırılması
X400 büyütme (H&E)

*Myelinsiz aksonlar en yoğun olarak grup 4'te bulunmaktadır.
(Oklar, myelinsiz aksonları gösteriyor. Daire içindekiler myelinli akson gruplarıdır.)*



Resim 16: Grupların proksimal-orta-distal kesitlerinin görüntüleri (*H&E, X400*)



Resim 17: 3.Grupta Kıkırdak Dokusu İçerisine İnvazyon Gösteren Hücrelerin Analizi

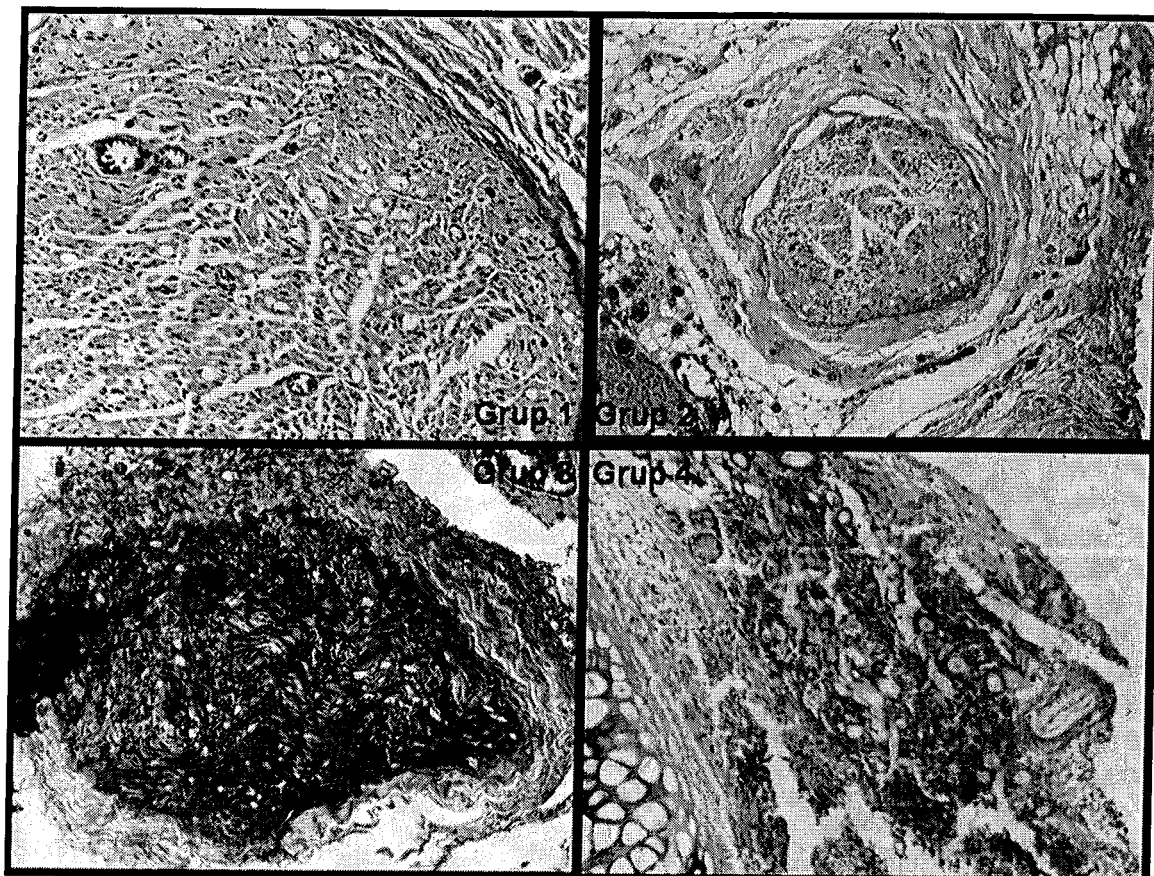
A: Kıkırdak doku içerisinde görülen lenfosit hücreleri (*LCA boyası – X400 büyütme*)

B: Kıkırdak dokusu içerisinde invazyon gösteren Schwann hücreleri (*Wangison – X400*)

C: Kıkırdak içerisinde invazyon gösteren hücreler (*H&E, X400*)

4.5.2. Histolojik Bulguların İstatistiksel Analizi

1. grupta sinir greftinin ortasından alınan örnekte ortalama 4060 ± 1099.84 , sinir greftinin distalinden alınan örneklerde ortalama 2672.5 ± 918.61 adet akson sayıldı. 2. grupta ven greftinin ortasından alınan örnekte 2456.25 ± 1412.56 , konduitin distalinden alınan örnekte 1196.25 ± 734.55 adet akson sayıldı. 3. grupta kıkırdak konduitin ortasından alınan kesitte 3708.88 ± 1083.71 , konduitten sonra daha distalden alınan kesitlerde ortalama 2726.66 ± 1037.002 adet akson



**Resim 18: Sinirin Distalinden Alınan Kesitlerde Grupların Total Akson Miktarları
($\times 200$, Hem-Eos)**

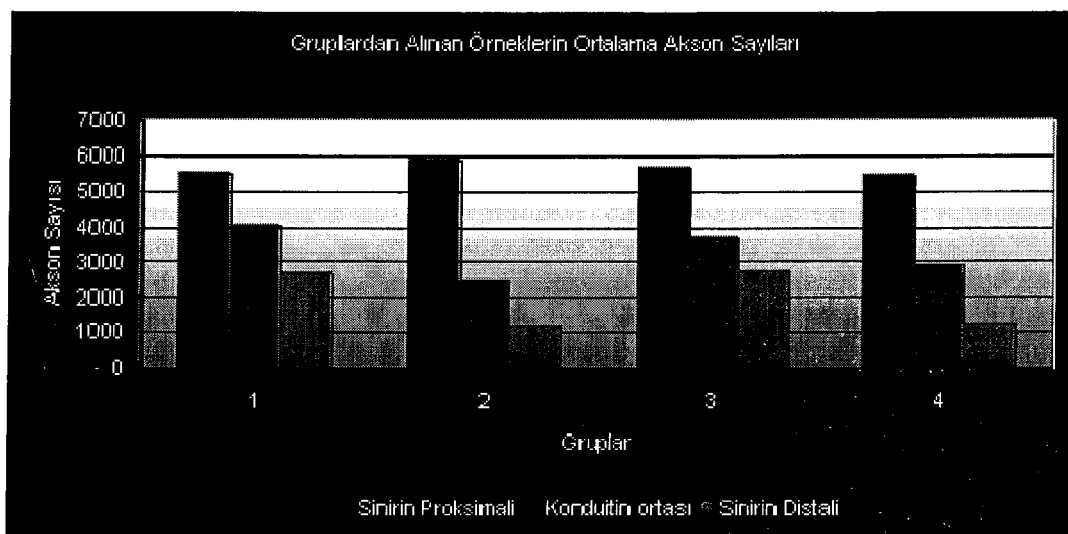
2. ve 4. grupta belirgin azalma gözle çarpmaktadır.

sayıldı. 4. grupta ise konduitten alınan örneklerde ortalama $2934,28 \pm 1493,18$, konduitten sonra distaden alınan örneklerde ortalama $1248,57 \pm 344,30$ adet akson sayılmıştır (Tablo 17) (Resim 18) (Şekil 20-23).

Tablo 17: Tüm grplarda alınan kesitlerde akson sayısı ortalamaları

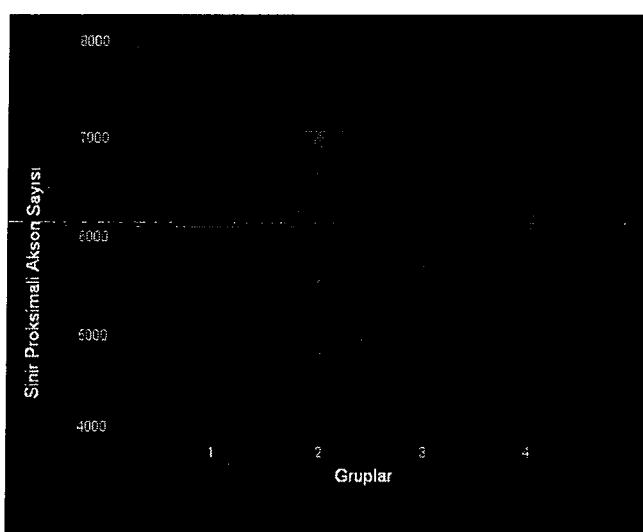
Gruplar Ortalamlar	SGG	VGG	İmmunsupresyon verilmeyen KKKG	İmmunsupresyon verilen KKKG
Konduitten önce daha proksimalden alınan örnekler	$5510 \pm 731,57$	$5873,75 \pm 1467,88$	$5646,66 \pm 839,12$	$5452,85 \pm 1219,75$
Konduitin ortasından alınan örnekler	$4060 \pm 1099,84$	$2456,25 \pm 1412,56$	$3708,88 \pm 1083,71$	$2934,28 \pm 1493,18$
Konduitten sonra sinirin distalinden alınan örnekler	$2672,5 \pm 918,61$	$1196,25 \pm 734,55$	$2726,66 \pm 1037,00$	$1248,57 \pm 344,30$

Bu bulgular ile konduitin ortasından ve onarımın distalinden alınan kesitlerde ortalama akson sayısı en fazla olan 1. gruptu. Bunu sırasıyla 3. grup, 4. grup ve 2. grup izlemektedir.



Şekil 20: Gruplarda siyatik sinirlerden alınan örneklerdeki akson sayılarının ortalama değerleri

Konduitin ortasından alınan örneklerdeki akson sayıları açısından, gruplar

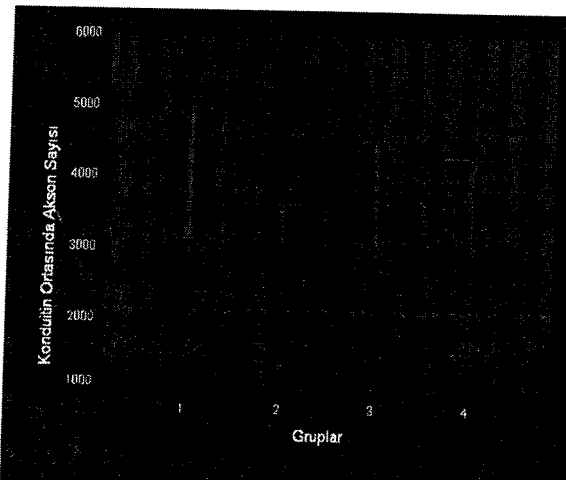


Şekil 21: Grupların proksimal siyatik sinir kesitlerinde akson sayıları

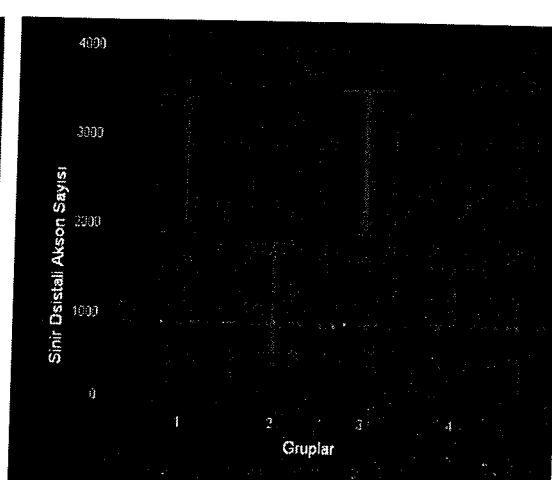
karşılaştırıldığında sadece VKG ile immünsupresyon verilmemiş KKG arasında kıkırdak konduit lehine anlamlı bir fark bulunmuştur. Diğer gruplar arası karşılaştırmalarda deneklerin dağılımlarında anlamlı bir fark bulunmamıştır. Konduitten sonra sinirin distalinden alınan örnekler karşılaştırıldığında ise kontrol grupları arasında sinir greftinin akson sayısı ven greftine göre

istatistiksel olarak anlamlı olacak şekilde fazladır. SGG ile immünsupresyon verilmeyen KKG arasında bir fark yokken, SGG ile immünsupresyon verilen KKG arasında sinir grefti lehine anlamlı bir fark tespit edilmiştir. Immünsupresyon verilmeyen KKG'de onarımdan sonra sinirin distalindeki

akson sayısı, VKG ve immünsupresyon verilmiş KKG'ye göre istatistiksel olarak anlamlı düzeyde fazladır. VKG ile immünsupresyon verilmeyen KKG arasında istatistiksel bir fark yoktur (Tablo 18).



Şekil 22: Grupların konduit ortasından alınan kesitlerinde akson sayıları



Şekil 23: Grupların distal siyatik sinir kesitlerinde akson sayıları

Tablo 18: Grupların kendi aralarında akson sayıları yönünden karşılaştırılmaları

Karşılaştırılan Gruplar “p” değerleri	S-V	S-K	S-(K+İ)	V-K	V-(K+İ)	K-(K+İ)
Konduitten önce daha proksimalden alınan örnekler	0,721	0,888	0,463	1,000	0,779	0,470
Konduitin ortasından alınan örnekler	0,065	0,673	0,189	0,046 (K)	0,397	0,174
Konduitten sonra sinirin distalinden alınan örnekler	0,005 (S)	0,815	0,009 (S)	0,002 (K)	0,694	0,003 (K)

S:Sinir grefti grubu, V:Venöz konduit grubu, K:İmmunsupresyon verilmemiş kıkıldak konduit grubu,

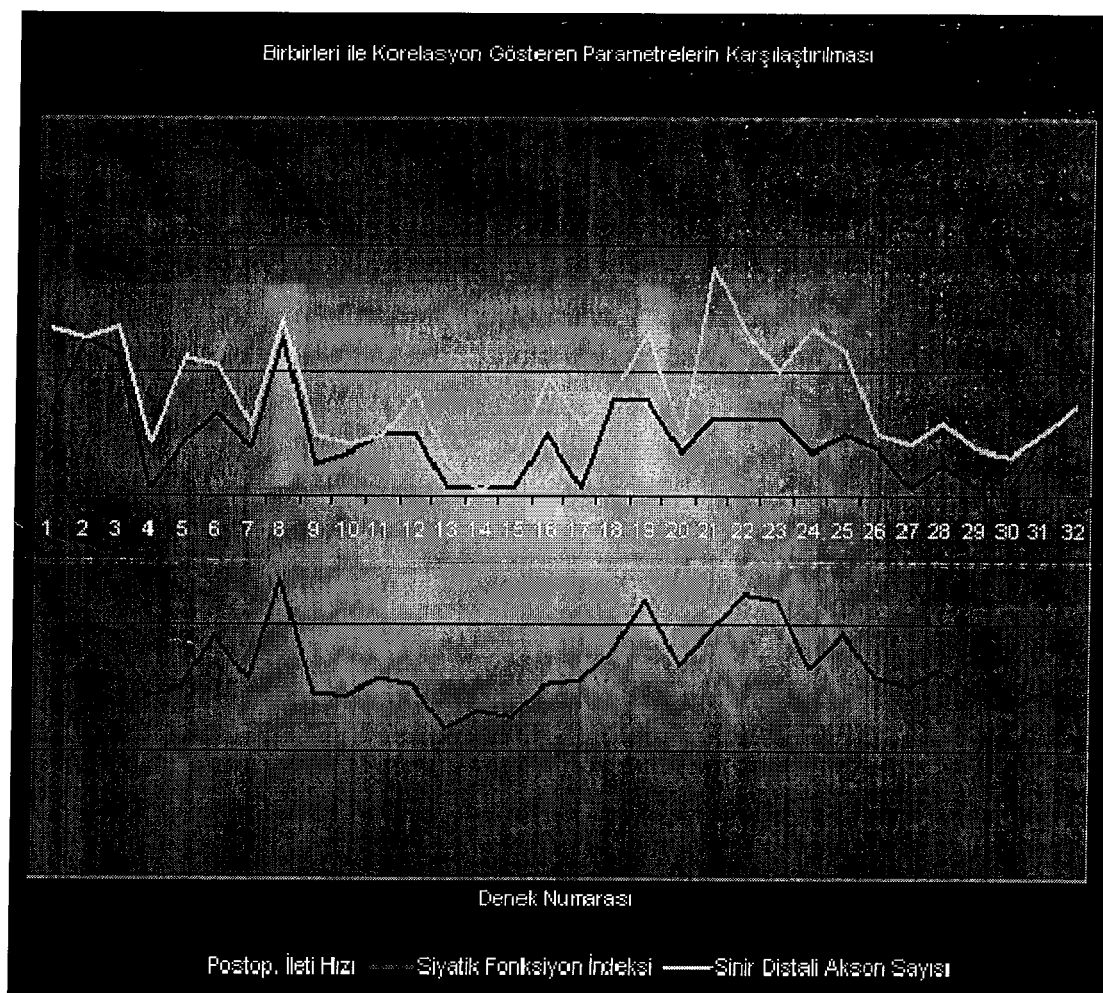
K+İ:immunsupresyon verilmiş kıkıldak konduit grubu

(=Parantez içindeki harfler “p” değerinin hangi grup lehine anlamlı olduğunu göstermektedir.

(Mann-Whitney U Testi)

4.6. PARAMETRELERİN KARŞILAŞTIRILMASI

Her gruptaki deneklerin sonuçlarını karşılaştırdığımızda bazı özellikler göze çarpmaktadır. Bunlardan biri deneklerin siyatik sinirlerinin distalinden alınan kesitlerde akson sayısı azaldıkça siyatik fonksiyon indeksi ve ileti hızlarında düşmenin istatistiksel olarak anlamlı korelasyonudur ($p<0.001$) (Şekil 24). Bir diğer ise 2. grupta ven konduitin kollabe olduğu 3 denek çalışma dışı bırakıldığından ven grefti grubunun sonuçları sinir grefti ve kıkırdak conduit grubuna benzemektedir.



Şekil 24: Birbirleriyle korelasyon gösteren parametrelerin karşılaştırılması

5. TARTIŞMA

Periferik sinir yaralanmalarının tedavisinde ilk basamak sinir uçlarının primer onarılmasıdır (koaptasyonudur). Ancak birçok vakada bu mümkün olmamaktadır. Sinir uçlarının ucuca getirilemediği sinir defekti olgularında ise en iyi onarım yöntemi duyusal sinirlerden alınan bir sinir greftinin sinir bölgesine uygulanmasıdır. Arada bir defektin bulunduğu sinir yaralanmalarında sinir defekti onarımının en iyi yöntemi duyusal sinirlerden oluşan bir sinir greftini defektin bulunduğu yere köprülemektir. Ancak sinir grefti kullanılarak sinir defekti onarımının bir takım dezavantajları da vardır. Bunların başında insan vücudunda sinir grefti elde edilebilecek donör alanının kısıtlı olması gelmektedir. Sinir donör alanında anestezi, donör alan derisinde bırakılan skar ve nöroma oluşumu ise

Geliştirilmesi planlanan bir sinir konduit modelinin etkinliği öncelikle sinir grefti ile olan karşılaştırmalarla ortaya konmalıdır

diğer dezavantajlardır. Bu nedenle sinir defektlerinin onarımında sinir konduitlerine ihtiyaç duyulmaktadır.

Ksenojenik kıkırdağın bir sinir konduiti olarak kullanılabilme potansiyelinin araştırıldığı bu deneysel çalışmada, kıkırdak konduitlerin immunosupresyonlu ve immunosupresyonsuz olarak kullanıldığı 2 deney grubu oluşturulmuştur. Bu deney grupları iki kontrol grubu ile karşılaştırılmıştır. Kontrol gruplarından birinde sinir defektleri, bu defektlerinin onarımında bugün için altın standart olan sinir greftleriyle onarılmıştır. Diğer kontrol grupunda ise klinik ve deneysel olarak en sık kullanılan konduit olan ven greftleri uygulanmıştır. Gruplar birbirleriyle EMG'yle belirlenen ileti hızı, latans ve amplitüd değerleri, yürüme analizi ile hesaplanan siyatik fonksiyon indeksi, konduit arasındaki ve onarımın distalindeki akson sayılarının ışık mikroskopu altında sayımı ile elde edilen rakamsal değerleri içeren toplam 6 parametre kullanılarak karşılaştırılmışlardır.

Bu 6 parametreden 4'ünde sinir grefti, ven greftine göre daha avantajlı çıkmıştır, diğer 2 parametrede aralarında anlamlı bir fark bulunmamıştır. Kıkırdak

konduitin immunosupresyonuz kullanıldığı grupta elde edilen sonuçlar sinir grefti sonuçlarına çok benzemekte olup bu iki grubun karşılaştırıldığında 6 parametrenin 5'inde anlamlı bir fark saptanmamıştır. Sadece postoperatif 16. haftada alınan EMG'nin latans ölçümlerinde kıkırdak konduitte sinir greftine oranla uzama tespit edilmiştir. Ancak latanstaki bu uzama EMG'de ileti hızında azalmaya sebep olmamış ve ratların yürüme analizinde iki grup arasında fark olmamasıyla nedeniyle fonksiyonel anlamda bir değişikliğe yol açmadığı saptanmıştır. EMG'de latansın uzamasının nedeni myelinli liflerin kıkırdak konduit grubunda sayıca sinir grefti grubuna göre daha az bulunması olabilir. Histolojik değerlendirmede kıkırdak konduitin ortasından alınan ve kıkırdak konduitten sonra sinirin distal kısmından alınan kesitlerde bu fark değerlendirilebilmektedir. Ancak histolojik kesitlerde gruplar arasında myelinli ve myelinsiz aksonların oranını objektif sayısal değerlere dökmek için elektron mikroskopik inceleme ve mikroskop alanını değerlendirebilen bazı software programlarına ihtiyaç vardır. Kıkırdak konduitinin postoperatif amplitüd, postoperatif ileti hızı, siyatik fonksiyon indeksi, konduit ortasında ki akson sayısı, sinir distalinde ki akson sayısı yönlerinden sinir grefti ile arasında bir fark yoktur.

İmmusupresyon uygulanan kıkırdak konduit grubunda ise sinir greftine göre 6 parametrenin 4'ünde sinir rejenerasyonun daha kötü olduğu görülmüştür. Postoperatif amplitüd, postoperatif ileti hızı, siyatik fonksiyon indeksi ve sinir distalinde ki akson sayıları yönünden sinir grefti immunsupresyon uygulanmış kıkırdak konduit grubuna göre daha avantajlıdır. İmmnsupresyon uygulanmış kıkırdak konduit grubunda ileti hızındaki düşüşün temel nedeninin rejenere olan akson sayısında ki azalmayla ilgili olduğu bulunmuştur. İmmunsupresyonun, özellikle Siklosporin A'nın sinir rejenerasyonu üzerine etkileri daha önce araştırılmış ancak lehte ve aleyhte birçok yayın bulunmaktadır. Ayrıca siklosporin A'nın sinir rejenerasyonunu artırmak için kullanımlarında uygulama dozu ve uygulama intervalleri hakkında literatürde bir kargaşa mevcuttur. Meirer ve ark. (234) kronik siklosporin A kullanımının sinir rejenerasyonu üzerine etkilerini araştırmak için rat siyatik sinirindeki kesinin tamirini takiben 12 hafta boyunca günde 2, 4, 8 ve 16 mg/kg dozunda siklosporin A'yı ratlara subkutan yolla vermişlerdir. Çalışmanın sonunda yapılan fonksiyonel ve histomorfolojik

analizlerde bütün grupların kontrol grubuna kıyasla daha kötü sinir rejenerasyonu olduğu tespit edilmiş, duyusal iyileşmenin 3 ve 6. haftalarda doza bağımlı olarak değiştiğini, motor iyileşmenin ise dozdan bağımsız olarak bütün grplarda kontrol grubundan anlamlı farklar gösterdiğini not etmişlerdir. Bunula birlikte Chen ve ark.ları (235) izogreft sinir transferi ile allogreft sinir transferlerini allogreft sinir transferi yapılan grplara çeşitli siklosporin A protokollerini uygulayarak karşılaştırmışlardır. 10 haftalık çalışmanın sonucunda allogreft ve immunsupresyonun sürekli uygulandığı grupta iyi bir sinir rejenerasyonu elde edilmiş immunsupresyon uygulanmayan allogreft sinir transferi yapılan grupta ise sinirin rejeksiyona uğradığı gözlenmiştir. İlk üç hafta boyunca siklosporin verilmeyen ve daha sonra siklosporin verilmeye başlanan grupta sinir rejenerasyonun yine bulunduğu tespit edilmiştir. Bizim çalışmamızda immunsupresyon kullanılmasının temel amacı siklosporinin sinir rejenerasyonu üzerine etkilerini araştırmak değil, ksenojenik kıkırdaktan oluşturulmuş konduitin sebebi olacağı immun reaksiyonun baskılanmasıdır.

Temel olarak kıkırdak dokusu, immünitesi yoğun olan bir doku değildir. Literatürde ksenojenik kıkırdak dokusunun sinir kondukti olarak kullanımına dair bir çalışma olmamasından dolayı bu çalışmada seçilen immunsupresyon protokolü Black ve ark.larının (1985) total ekstremite transplantasyonu sırasında kullandıkları protokoldür (226). Bu protokole göre 8mg/kg dozda siklosporin A subkutan olarak günlük yapılmakta ve 20 gün sonra siklosporin A aynı dozda fakat 2 haftada bir uygulanmaktadır. Bu kullanım dozu ve intervali siklosporinin sinir rejenerasyonuna etkilerini araştıran çalışmalarla bulunmamakla beraber iki haftalık uygulamalara geçişle günlük uygulanan protokollere göre çok daha az miktarda siklosporin enjeksiyonu yapılmış olmaktadır. Elde ki verilere göre siklosporinin sinir rejenerasyonu engellediği tespit edilen çalışmalarında ki dozlardan daha düşük dozlarda kullanılmasıyla birlikte ksenojenik kıkırdak greftinin rejeksiyonuna ait bir bulguya rastlanmamıştır. Ancak bizim çalışmamızda immunsupresyonsuz kıkırdak konduit grubunun, immunsupresyon eklenmiş kıkırdak konduit grubuna göre aksonal rejenerasyon üzerine daha olumlu etkileri bulunmuştur. 6 parametrenin 4'ünde immunsupresyonsuz kıkırdak kondukti immunsupresyon eklenmiş gruba göre daha avantajlıdır. EMG'de

postoperatif amplitüd ve ileti hızlarında, siyatik fonksiyon indeksinde ve histomorfolojik incelemede onarım hattının distalinden alınan kesitlerin akson sayısı değerlerinde immunsupresyonuz kıkırdak konduit grubu lehine anlamlı farklar tespit edilmiştir. EMG'de postoperatif latans ve konduitin ortasında ki akson sayısında iki grup arasında fark bulunmamıştır. Bu sonuçlara dayanılarak her ne kadar allojenik sinir greftlerinin onarımında faydalı görünse de siklosporinin bu kullanım dozu ve intervalde sinir rejenerasyonunun negatif yönde etkilediği söylemek mümkündür. Ancak bu konunun ayrı bir araştırma gerektirdiği de açıklır.

Venöz konduitler sinir defektleri onarımında en sıkılıkla kullanılan konduit modelidir. Özellikle donör alan sıkıntısının olmaması, ikinci bir insizyona gerek kalmadan elde edilebilmesi donör alan morbiditesinin az olması gibi avantajları vardır. Ancak ven greftlerinin kollabe olarak içerisinde sinir rejenerasyonun sınırlamaları bu yöntemin hala aşılamamış büyük bir problemidir. Yapılan deneysel çalışmalarla farelerde 6 mm'nin, ratlarda 10 mm'nin, tavşanlarda 15 mm'nin, insanda 30 mm'nin (100) üzerinde uygulanan ven greftleri genelde kollabe olmaktadır. Ancak bu değerlerin altında da ven greftleri kollabe olabilmektedir. Bu çalışmada kollabe olan ven greftleri histolojik olarak ta tespit edilmiştir (Resim 12). Kollabe olan ven greftlerinin bulunduğu ratlarda distal aksonda total akson sayısının 1000'in altına düşüğü gözlenmiştir. Bu çalışmada konduitlerin ortasından alınan kesitlerde de en az akson sayısı ven grefti grubundadır. Bütün grupta ki parametrelerin değerlendirilebildiği Kruskal Wallis testinde konduit ortalarında ki akson sayıları açısından anlamlı fark bulunmazken, grupların ikili karşılaştırıldığı Mann-Whitney U testinde kıkırdak konduit ve grefti konduitine göre anlamlı bir şekilde daha çok akson sayısına sahiptir. Bu veriler, ven konduitlerde aksonal rejenerasyonun daha konduitin proksimal kısımlarında engellenmeye başladığı göstermektedir.

EMG'de latansların ileri derecede uzadığı amplitüd ve ileti hızlarının belirgin derecede azaldığı tespit edilmiştir. Ven grefti grubu kıkırdak konduit grubu ile karşılaştırıldığında postoperatif ileti hızında, siyatik fonksiyon indeksinde, konduit ortası ve konduitin distalinde ki akson sayıları yönlerinden kıkırdak konduit grubu avantajlı çıkmıştır. Bu parametrelerle kıkırdak konduitin içerisinde rejenere olan

aksonların ven grefti içerisindeki aksonlara göre sayısal üstünlüğünün ratların EMG değerlerini ve yürüme fonksiyonlarını etkileyebilecek düzeyde etkili olduğu sonucu çıkmaktadır. Postoperatif latans ve postoperatif amplitüd düzeyleri yönünden iki grup arasında anlamlı bir fark yoktur. Özellikle latansta fark olmamasının kıkırdak grefti içerisinde geçen aksonların niteliksel (myelinli liflerin yoğunluğu gibi) olarak ven grefti içerisinde geçen aksonlara benzettiği söylenebilir. Immunsupresyon eklenmiş kıkırdak konduit grubu ile ven grefti karşılaşıldığında ise 6 parametrenin hiçbirinde anlamlı bir fark tespit edilmemiştir.

Ven greftinin sinir kondukti olarak kullanıldığı 2. grupta bulunan 8 rattan 3'ünde kollabe venler tespit edilmiş ve bu hayvanlar çalışma dışında bırakıldığından ven grefti grubunun, sinir grefti ve kıkırdak konduit gruplarına istatistiksel olarak yaklaşıkları hesaplanmıştır. Bu tespit, ven greftinin kontrol altına alınamamış kollabe olma potansiyelinin ven grefti kondukti kullanımını ile başarıya ulaşmayan sinir onarımlarının en önemli problemi olduğunu göstermektedir. Son derece önemli bir avantaj olarak bizim geliştirdiğimiz kıkırdak konduitlerinde kollaps riski söz konusu değildir. Bu özelliği ile ven greftleri ile onarımın mümkün olmayan uzun sinir defektlerinin tedavisinde kullanılabilme potansiyeli taşımaktadır. Her ne kadar kıkırdağın dirençli yapısından dolayı kollaps riski taşımásada yapımında kullanılan kıkırdağın xenograft olmasından dolayı immun reaksiyonla zayıflayıp çökebileceği ya da kırılabileceği fikri akla gelebilir. Ancak kıkırdak konduit kullanılan grupta kısmi rezorpsiyon olmakla beraber tüm deneklerde sinir rejenerasyonun tamamlandığı görülmüştür. Böylece ksenojenik kıkırdak konduitin rezorpsiyonunun sinir rejenerasyonuna kıyasla daha yavaş olduğu söylenebilir.

Histolojik kesitlerde kıkırdak dokusunun ksenojenik kullanımıyla oluşabilecek bir rejeksiyon gözlemek için lenfositlere spesifik bir boyalı LCA kullanılmış ve rejeksiyon bulgusu olabilecek bir lenfosit artışına rastlanmamıştır. İçerisinden rejeneren aksonların geçtiği kıkırdak konduitin sinirle temas ettiği noktalarda yer yer Schwann hücrelerinin kıkırdak dokusunun içerisinde girdiği ve lükünlalara yerlesiği gözlenmiştir. Schwann hücrelerinin yerlesiği bu lükünlalar içerisinde yine lenfosit hücrelerine rastlanmıştır. Lenfositlerin sadece bu bölgede yoğunlaşmalarının sebebi açık değildir. Ancak Schwann hücrelerinin kıkırdak

dokusu içerisinde girmeleri aksonal rejenerasyonun çok önemli bir ögesi olan Schwann hücrelerinin kıkırdak conduit içerisinde mitozlarını devam ettirebildikleri anlamını taşıyabilir. Bir çok yapay conduit modelinde temel problem Schwann hücrelerinin conduit içerisinde ilerlememeleri olması nedeniyle conduit modellerine kültüre edilmiş Schwann hücrelerinden oluşan bir basal lamina eklenerek aksonal rejenerasyon sağlanmaya çalışılmıştır (116,159-162). Kıkırdak dokusundan oluşan conduit için böyle bir çaba gerekmeksizin Schwann hücreleri mitoza uğramış hatta kıkırdak dokunun içerisinde kadar ilerleyebilmiştir. Bu bulgu Schwann hücrelerinin kıkırdak dokusuna ilgisi olduğunu yanı kıkırdak dokusunun nörotrofik özellik taşıdığı açıkça ortaya koyan bir bulgudur. Nörotrofizm sinir defektlerinin conduitlerle onarımında kritik bir öneme sahip olup nörotrofik özellik taşıyan bir sinir conduitinin bulunması sinir defeklerinin onarımın da son derece önemli bir gelişme olacaktır.

Venöz conduitlerin başka bir dezavantajı da içerisinde bulunan kapakçıklardır. Eğer, ven greftleri conduit olarak kullanıldıklarında proksimal kısımları sinir güdüğünün proksimaline koapte edilirse aksonlar kapakçılara takılıp rejenere olamayabileceklerdir. Bu sebeple venlerin geniş lümeni bulunan proksimal uçları sinir güdüğünün distaline, dar lümeni bulunan distal uçları ise sinir güdüğünün proksimaline koapte edilmelidir. Oysa sinirlerinde proksimal kısımları daha geniş, distalleri daha dardır. Dar lümenli ven grefti distal ucunun geniş proksimal sinir güdüğüne koaptasyonu cerrahi olarak manuplasyon problemi ortaya çıkarmasının yanında zaten kollabey olma potansiyeli olan ven conduitin dar olan lümeninin sinirin proksimal ucunda bulunmasıyla daha sinir rejenerasyonunun onarım hattını aştığı ilk günlerden önüne engeller çıkışmasına neden olmaktadır. Bu sorunu aşmak için geliştirilen bir yöntem venin içini dışarıya çıkararak adventisyasının lumen içerisinde kalmasını sağlayıp uygulanmasıdır ("inside-out" yöntemi). Venlerin standart kullanımları ile "inside-out" kullanımları arasında deneysel olarak motor ve duyusal sinirlerde fark olmadığı tespit edilmiştir (236-239). Bizim geliştirdiğimiz kıkırdak conduit içerisinde kapakçık ve benzeri tıkalıcı etkenlerin olmamasından dolayı bu tür ek cerrahi manevralara gerek duyulmamaktadır.

Naumann ve ark. (2002) tavşanlarda ki kıkırdak subtiplerinin immunokimyasal ve mekanik özelliklerini araştırmışlardır. Bu çalışmaya göre GAG miktarı açısından kulak kıkırdağı ile fibröz ve hyalin kartilajlar arasında anlamlı bir fark olmadığı tespit edilmiş ve kulak kıkırdağında perisellüler ve sellüler yerleşimli tip 1 kollajene rastlanmıştır (240). GAG ve Tip 1 kollajen ise sinir rejenerasyonuna izin veren moleküller olarak bilinen ve deneysel olarak üzerlerinde sinir konduitı oluşturulmasına yönelik çalışmalar bulunan moleküllerdir (70-72,135). 3. grupta lakinalar içerisinde gözlenen Schwann hücre mitozunun sebebi bu hücrelerin sevdikleri moleküllerden oluşan bir besiyerini kıkırdak konduit içerisinde bulmaları olabilir.

İmmusupresyon eklenen kıkırdak konduit grubunda ise Schwann hücrelerinin kıkırdak dokularına invazyonu gözlenmemiştir. Histolojik incelemede myelinsiz aksonların yoğun görünmesiyle siklosporin A'nın kullandığımız tedavi protokolü dahilinde schwann hücreleri üzerine mitozlarını azaltan bir etkileri olduğu düşünülebilir. Bununla birlikte kıkırdak konduit uygulamasında immunsupresyon kullanılmayan grupta aksonal rejenerasyon nitelik ve nicelik olarak sinir grefti grubuna benzemekteydi.

Literatürde sinir konduitleri üzerine çok geniş bir bilgi bulunmakta ve yeni sinir konduitleri geliştirilmesi üzerine çalışmalar devam etmektedir. Ancak bulunan konduit modellerinin çoğu klinik uygulamalar için yeterli görünmemektedir. Deneysel olarak sinir grefti ile aynı sonuçların elde edildiği rapor edilen modellerin dahi klinikte bu kadar başarılı olmadığı ispatlanmıştır (43). Bununla birlikte içerisinde aksonal rejenerasyona izin veren konduit modellerinin de klinik uygulamalarda 3 cm kritik rakamını aşamadığı gözlenmektedir (114). Yapay sinir konduitlerin biyoyumlulukları ne kadar iyi olursa olsun aksonal rejenerasyon için biyolojik konduitler kadar başarılı olamadıkları da bir gerçekdir. Literatürde bir çok dokunun sinir konduiti olarak kullanılabilme potansiyelleri araştırılmıştır. Ancak kıkırdak dokusunun bir sinir konduiti olarak kullanılabilme potansiyeli daha önce araştırılmamıştır. Bu çalışma da ratlarda oluşturulan bir deneysel modelde ksenojenik kıkırdak dokusunun bir sinir konduiti olabilme potansiyeli taşıdığı ve içerisinde aksonal rejenrasyonun gerçekleşebildiğini göstermiştir. Ksenojenik

kıkırdakların konduit olarak klinik uygulama alanı bulması halinde aşağıdaki avantajları bulunması söz konusudur.

- a) İçerisinde sinir grefti kadar sinir rejenerasyonuna izin vermesi
- b) Sinir rejenerasyonu sonrası rezorbe olması
- c) Kollabe olmaması
- d) Cerrahi olarak kolay manupple edilebilmesi
- e) Uzun sinir defektlerinde kullanılabilmesi
- f) Hem motor hem de duyusal sinir liflerinin rejenerere olmasına izin vermesi
- g) Biyoyumluluğunun iyi olması
- h) Kolay elde edilebilmesi
- i) Ucuz olmasıdır.

6. SONUÇ ve ÖNERİLER

Bu deneysel çalışmada tübülerize edilmiş ksenojenik (tavşan) kıkırdağın, ratların 10 mm'lik siyatik sinir defektlerinde sinir rejenerasyonuna izin verdiği tespit edilmiştir. Deneysel ve klinik olarak kullanılmış diğer conduit modellerinin aksine çok önemli bir özellik olarak; kıkırdak conduit içerisinde Schwann hücrelerinin artışı gözlenmiştir. Çalışmada deney gruplarını, kontrol grupları ile karşılaştırmak için kullanılan parametrelerden elde edilen veriler ışığında; sinir rejenerasyonunu sinir graftedlerinde olduğu kadar iyi sağladıkları görülmüştür. Sonuç olarak günümüz literatüründe kullanılmamış olan kıkırdak conduit modelinin, her geçen gün yeni bir modelin eklendiği sinir conduitları ailesinin en yeni ve en gözde üyesi olarak yer alacağını düşünmektediyiz.

Kıkırdak conduitlerin klinikte kullanılan diğer yapay sinir conduitleri ile karşılaştırılması ve otolog kullanımının avantajlarının deneysel olarak araştırılması daha uzun defektlerde de aynı sonuçların elde edilip edilemeyeceğinin gösterilmesi gerekmektedir. Ancak bu çalışmalardan sonra morbiditesinin çok az olması gibi avantajları bulunan otolog kıkırdak dokuları klinikte sinir conduitı olarak kullanılabilir.

7. KAYNAKLAR

1. Strauch B, Berder M, Lovelle-Alen S, Moore K, Kim DJ, Lien J. Determining the maximal length of a vein conduit used as an interposition graft for nerve regeneration. *J Reconstr Microsurg* 1996; 12:521-527.
2. Tseng CY, Hu G, Ambron RT, Chiu DTW. Histologic analysis of schwann cell migration and peripheral nerve regeneration in the autogenous venous nerve conduit. *J Reconstr Microsurg* 2003; 19:331-339.
3. Suzuki Y, Tanihara M, Ohnishi K, Suzuki K, Endo K, Nishimura Y. Cat peripheral nerve regeneration across 50 mm gap repaired with a novel nerve guide composed of freeze-dried alginate gel. *Neurosci* 1999;259:75-78.
4. Mohammad J, Shenaq J, Rabinovsky E, Shenaq S. Modulation of Peripheral Nerve Regeneration: A Tissue-Engineering Approach. The Role of Amnion Tube Nerve Conduit across a 1-Centimeter Nerve Gap. *Plast Reconstr Surg* 2000; 105:660-666.
5. Watanabe K, Tsukagoshi T, Kuroda M, Hosaka Y. Nerve conduit using fascia-wrapped fibrocollagenous tube. *J Reconstr Microsurg* 2001; 17(5):363-368.
6. Cheng WL, Lin CC. The effects of different electrical stimulation protocols on nerve regeneration through silicone conduits. *J Trauma* 2004; 56(6):1241-1246.
7. Ito T, Nakamura T, Szuki K, Takagi T, Toba T, Hagiwara A. et.al. Regeneration of hypogastric nerve using a polyglycolic acid (PGA)- collagen nerve conduit filled with collagen sponge proved electrophysiologically in a canine model. *Int J Artif Organs* 2003; 26:245-251.
8. Young RC, Wiberg M, Terenghi G. Poly-3-hydroxybutyrate (PHB): A resorbable conduit for long-gap repair in peripheral nerves. *Br J Plast Surg* 2002; 55:235-240.
9. Miloro M, Macy JM. Expanded polytetrafluorethylene entubulation of the rabbit. *Oral Surg Oral Med Oral Pathol Oral Radiol Endod* 2000; 89:292-298.
10. Belmiro CE, Vasconcelos MS, Cosme GE. Facial nerve repair with expanded polytetrafluorethylene and collagen conduits: An experimental study in the rabbit. *J Oral Maxillofac Surg* 2000; 58:1257-1262.

11. Kitahara AK, Suzuki Y, Qi P, Nishimura Y, Suzuki K, Kiyotani T. et. al. Facial nerve repair using a collagen conduit in cats. *Scand J Plast Reconstr Hand Surg* 1999; 33:187-193.
12. Brushart TM. Nerve repair and grafting. In: Green DP (ed) *Green's Operative Hand Surgery*, (4th ed) Philadelphia, Churchill Livingstone Inc., 1998: 1381-1403.
13. Terzis JK, Smith KL. Repair and grafting of the peripheral nerve. In: Mc Carthy JG (ed) *Plastic Surgery* Philadelphia, W.B. Saunders Co., 1990: 630-697.
14. Sunderland S: The history of nerve repair In: *Nerve Injuries and Their Repair. A Critical Appraisal*. Edinburgh, Churchil Livingstone Inc., 1991: 361-377.
15. Taras JS. Nanavati V. Steelman P. Nerve Conduits. *J Hand Ther* 2005; 18(2): 191-197.
16. Seddon H.J. Three types of nerve injury. *Brain* 1943; 66:237-288.
17. Sunderland S, Ray LJ. Denervation changes in mammalian striated muscle. *J Neurol Neurosurg Psychiatr* 1950;13:159-177.
18. Millesi H, Meissl G, Berger A. The interfascicular nerve grefting of the median and ulnar nerves. *J. Bone Joint Surg* 1972; 54:727-750.
19. Thomas PK, Ochoa J. Microscopic anatomy of peripheral nerve fibers. In: Dyck PJ, Thomas PK, Lambert EH (eds) *Peripheral Neuropathy* (2nd ed) Philadelphia, Saunders, 1984: 39-96.
20. Molander H, Engkvist O, Hagglund J. Nerve repair using a polyglactin tube and nerve graft: An experimental study in the rabbit. *Biomaterials* 1083; 4:276-280.
21. Dallon AL, Mackinnon SE. An alternative to the classical nerve graft for the management of the short nerve gap. *Plast Reconstr Surg* 1988; 82:849–856.
22. Mackinnon SE, Dallon AL. A study of nerve regeneration across synthetic (Maxon) and biologic (collagen) nerve conduits for nevre gaps up to 5 cm in the primate. *J Reconstr Microsurg* 1990; 6:117–121.
23. Lundborg G, Dahlin LB, Danielsen N. Ulnar nerve repair by the silicone chamber technique: Case report. *Scand J Plast Reconstr Surg Hand Surg* 1991; 25(1):79-82.
24. Stanec S, Stanec Z. Reconstruction of upper extremity peripheral nerve injuries with e-PTFE conduits. *J Reconstr Microsurg* 1998; 14(4): 227-232.
25. Junqueira LC, Carneiro J, Kelley RO: Temel Histoloji (Cev. Y. Aytekin, S. Solakoğlu) Barış Kitabevi No.9, 1993: 197-230.

26. Lundborg G. Nerve regeneration and repair; a review. *Acta Orthop Scand* 1987; 58:145-169.
27. Lundborg G. Structure and function of the intraneuronal microvessels as related to trauma, edema formation, and nerve function. *J Bone Joint Surg* 1975; 57:938-948.
28. Sunderland S. The connective tissues of peripheral nerve *Brain* 1965; 88:841-854.
29. Lundborg G, Ryedevik B. Effects of stretching the tibial of the rabbit. A preliminary study of the intraneuronal circulation and the barrier function of the perineurium. *J Bone Joint Surg* 1973; 55:390-401.
30. Lundborg G, Longo FM, Varon S. Nerve regeneration model and trophic factors in vivo. *Brain Res* 1982; 232:157-161.
31. Taylor GI, Ham F. The free vascularized nerve graft. A further experimental and clinical application of microvascular techniques. *Plast Recons Surg* 1976; 57:413-436.
32. Guyton AC: Hücre Tıbbi Fizyoloji (Çev. N. Gökhan, H. Çavuşoğlu) Nobel Tıp Kitabevi No.9, 1986: 133-150.
33. Guyton AC: Hücre Tıbbi Fizyoloji (Çev. N. Gökhan, H. Çavuşoğlu) Nobel Tıp Kitabevi No.10, 1986:151-176.
34. Sunderland S. Nerves and Nerve injuries, (2nd ed) Edinburgh, Churchill Livingstone, 1978:133-141.
35. Yorulmaz İ. Sinir hasarının fizyopatolojisi. Ankara Üniversitesi Tıp Fakültesi Ders Notları 1998.
36. Komiya A, Novicki DL, Suzuki K. Adhesion and proliferation are enhanced in vitro in Schwann cells from nerve undergoing Wallerian degeneration. *J Neurosci Res* 1991; 29:308-318.
37. Myers RR, Yamamoto T, Yaksh TL, Powell HC. The role of focal nerve ischemia and Wallerian degeneration in peripheral nerve injury producing hyperesthesia. *Anesthesiology* 1993; 78:308-316.
38. Lin KY, Posnick JC, Al-Qattan MM, Vajsar J, Becker LE. Fetal nerve healing; an experimental study. *Plast Reconstr Surg* 1994; 93:1323-1333.

39. Catharina EEM, Van der Zee CEEM, Brakkee JH, Gispen WH. Putative neurotrophic factors and functional recovery from peripheral nerve damage in the rat. *Br J Pharmacol* 1991; 103:1041-1046.
40. Watanebe O, Mackinnon SE, Tarasidis G, Hunter DA, Ball DJ. Long-term observation of the effect of peripheral nerve injury in neonatal and young rats. *Plast Reconstr Surg* 1998; 102(6):2072-2081.
41. Lundborg G. *Nerve Injury and Repair*. New York: Longman Group UK, 1988.
42. Mackinnon SE, Dallon AL. *Surgery of the Peripheral Nerve*. New York: Thieme Med Publ, 1988.
43. Schmidt CE, Leach JB. Neural Tissue Engineerig: Strategies for Repair and Regeneration. *Annu Rev Biomed Eng* 2003; 5:293-347.
44. Chiu DT, Janecka I, Krizek TJ, Wolff M, Lovelace RE. Autogenous vein graft as a conduit for nerve regeneration. *Surgery* 1982; 91:226-233.
45. Walton RL, Brown RE, Matory WE Jr, Borah GL, Dolph JL. Autogenous vein graft repair of digital nerve defects in the finger: A retrospective clinical study. *Plast Reconstr Surg* 1989; 84:944-949.
46. Risiitano G, Cavallaro G, Merrino T, Coppolino S, Ruggeri F. Clinical results and thoughts on sensory nerve repair by autologous vein graft in emergency hand reconstruction. *Chir Main* 2002; 21:194-197.
47. Battiston B, Tos P, Cushway TR, Geuna S. Nerve repair by means of vein filled with muscle grafts I. Clinical results. *Microsurgery* 2000; 20:32-36.
48. Meek MF, Varejao AS, Geuna S. Muscle grafts and alternatives for nerve repair. *J Oral Maxillofac Surg* 2002; 60:1095-1096.
49. Karacaoglu E, Yuksel F, Peker F, Guler MM. Nerve regeneration through an epineurial sheath: its functional aspect compared with nerve and vein grafts. *Microsurgery* 2001; 21:196-201.
50. Brandt J, Dahlin LB, Lundborg G. Autologous tendons used as grafts for bridging peripheral nerve defects. *J Hand Surg [Br.]* 1999; 24:284-290.

51. Lundborg G, Dahlin LB, Danielsen N, Hansson HA, Johannesson A, Longo FM. et al. Nerve regeneration across an extended gap: A neurobiological view of nerve repair and the possible involvement of neuronotrophic factors. *J Hand Surg* 1982; 7(6):580-587.
52. Madison R, Da-Silva CF, Dikkes P, Chiu TH, Sidman RL. Increased rate of peripheral nerve regeneration using bioresorbable nerve guides and laminincontaining gel. *Exp Neurol* 1985; 88:767-772.
53. Evans GR. Challenges to nerve regeneration. *Semin Surg Oncol* 2000; 19:312-318.
54. Ide C, Tohyama K, Tajima K, Endoh K, Sano K, Tamura M. et al. Long acellular nerve transplants for allogeneic grafting and the effects of basic fibroblast growth factor on the growth of regenerating axons in dogs: a preliminary report. *Exp Neurol* 1998; 154:99-112.
55. Frerichs O, Fansa H, Schicht C, Wolf G, Schneider W, Keilhoff G. Reconstruction of peripheral nerves using acellular nerve grafts with implanted cultured Schwann cells. *Microsurgery* 2002; 22:311-315.
56. Hiles RW. Freeze dried irradiated nerve homograft: a preliminary report. *Hand* 1972; 4:79-84.
57. Marmor L. The repair of peripheral nerves by irradiated homografts. *Clin Orthop* 1964; 34:161-69.
58. Sondell M, Lundborg G, Kanje M. Regeneration of the rat sciatic nerve into allografts made acellular through chemical extraction. *Brain Res* 1998; 795:44-54.
59. Sondell M, Lundborg G, Kanje M. Vascular endothelial growth factor stimulates Schwann cell invasion and neovascularization of acellular nerve grafts. *Brain Res* 1999; 846:219-228.
60. Voigt-Harbin SL, BrightmanAO, Kraine MR, Waisner B, Badylak SF. Identification of extractable growth factors from small intestinal submucosa. *J Cell Biochem* 1997; 67:478-91.
61. Badylak SF, Record R, Lindberg K, Hodde J, Park K. Small intestinal submucosa: a substrate for in vitro cell growth. *J Biomater Sci Polym Ed* 1998; 9:863-78.
62. Hadlock TA, Sundback CA, Hunter DA, Vacanti JP, Cheney ML. A new artificial nerve graft containing rolled Schwann cell monolayers. *Microsurgery* 2001; 21:96-101.

63. Davis GE, Blaker SN, Engvall E, Varon S, Manthorpe M, Gage FH. Human amnion membrane serves as a substratum for growing axons in vitro and in vivo. *Science* 1987; 236:1106-1109.
64. Meek MF, Coert JH, Nicolai JP. Amnion tube for nerve regeneration. *Plast Reconstr Surg* 2001; 107:622-623.
65. Mligiliche N, Endo K, Okamoto K, Fujimoto E, Ide C. Extracellular matrix of human amnion manufactured into tubes as conduits for peripheral nerve regeneration. *J Biomed Mater Res* 2002; 63:591-600.
66. Whitworth IH, Brown RA, Dore C, Green CJ, Terenghi G. Orientated mats of fibronectin as a conduit material for use in peripheral nerve repair. *J Hand Surg (Br.)* 1995; 20:429-36.
67. Ahmed Z, Brown RA. Adhesion, alignment, and migration of cultured Schwann cells on ultrathin fibronectin fibres. *Cell Motil Cytoskelet* 1999; 42:331-43.
68. Kauppila T, Jyvasjarvi E, Huopaniemi T, Hujanen E, Liesi P. A laminin graft replaces neurorrhaphy in the restorative surgery of the rat sciatic nerve. *Exp Neurol* 1993; 123:181-191.
69. Toba T, Nakamura T, Lynn AK, Matsumoto K, Fukuda S, Yoshitani M. et al. Evaluation of peripheral nerve regeneration across an 80-mm gap using a polyglycolic acid (PGA)-collagen nerve conduit filled with laminin-soaked collagen sponge in dogs. *Int J Artif Organs* 2002; 25:230-237.
70. Yoshii S, Oka M, Shima M, Taniguchi A, Akagi M. 30 mm regeneration of rat sciatic nerve along collagen filaments. *Brain Res* 2002; 949:202-208.
71. Ceballos D, Navarro X, Dubey N, Wendelschafer-Crabb G, Kennedy WR, Tranquillo RT. Magnetically aligned collagen gel filling a collagen nerve guide improves peripheral nerve regeneration. *Exp Neurol* 1999; 158:290-300.
72. Dubey N, Letourneau PC, Tranquillo RT. Guided neurite elongation and Schwann cell invasion into magnetically aligned collagen in simulated peripheral nerve regeneration. *Exp Neurol* 1999; 158:338-350.
73. Seckel BR, Jones D, Hekimian KJ, Wang KK, Chakalis DP, Costas PD. Hyaluronic acid through a new injectable nerve guide delivery system enhances peripheral nerve regeneration in the rat. *J Neurosci Res* 1995; 40:318-324.

74. Ahmed Z, Underwood S, Brown RA. Low concentrations of fibrinogen increase cell migration speed on fibronectin/fibrinogen composite cables. *Cell Motil Cytoskelet* 2000; 46:6-16.
75. Herbert CB, Nagaswami C, Bittner GD, Hubbell JA, Weisel JW. Effects of fibrin micromorphology on neurite growth from dorsal root ganglia cultured in three-dimensional fibrin gels. *J Biomed Mater Res* 1998; 40:551-559.
76. Hashimoto T, Suzuki Y, Kitada M, Kataoka K, Wu S, Suzuki K. Peripheral nerve regeneration through alginate gel: analysis of early outgrowth and late increase in diameter of regenerating axons. *Exp Brain Res* 2002; 146:356-368.
77. Balgude AP, Yu X, Szymanski A, Bellamkonda RV. Agarose gel stiffness determines rate of DRG neurite extension in 3D cultures. *Biomaterials* 2001; 22:1077-1084.
78. Haipeng G, Yinghui Z, Jianchun L, Yandao G, Nanming Z, Xiufang Z. Studies on nerve cell affinity of chitosan-derived materials. *J Biomed Mater Res* 2000; 52:285-295.
79. Evans GR, Brandt K, Niederbichler AD, Chauvin P, Herrman S, Bogle M. et al. Clinical long-term in vivo evaluation of poly(Llactic acid) porous conduits for peripheral nerve regeneration. *J Biomater Sci Polym Ed* 2000; 11:869-878.
80. Evans GR, Brandt K, Katz S, Chauvin P, Otto L, Bogle M. et al. Bioactive poly(L-lactic acid) conduits seeded with Schwann cells for peripheral nerve regeneration. *Biomaterials* 2002; 23:841-848.
81. Molander H, Olsson Y, Engkvist O, Bowald S, Eriksson I. Regeneration of peripheral nerve through a polyglactin tube. *Muscle Nerve* 1982; 5:54-57.
82. Den Dunnen WF, Meek MF, Grijpma DW, Robinson PH, Schakenraad JM. In vivo and in vitro degradation of poly[(50)/(50) ((85)/(15)(L)/(D))LA/ epsilon-CL], and the implications for the use in nerve reconstruction. *J Biomed Mater Res* 2000; 51:575-585.
83. Valero-Cabre A, Tsironis K, Skouras E, Perego G, Navarro X, Neiss WF. Superior muscle reinnervation after autologous nerve graft or poly-Llactide- epsilon-caprolactone (PLC) tube implantation in comparison to silicone tube repair. *J Neurosci Res* 2001; 63:214-223.

84. Soldani G, Varelli G, Minnocci A, Dario P. Manufacturing and microscopical characterisation of polyurethane nerve guidance channel featuring a highly smooth internal surface. *Biomaterials* 1998; 19:1919-1924.
85. Nicoli Aldini N, Fini M, Rocca M, Giavaresi G, Giardino R. Guided regeneration with resorbable conduits in experimental peripheral nerve injuries. *Int Orthop* 2000; 24:121-125.
86. Young RC, Wiberg M, Terenghi G. Poly-3-hydroxybutyrate (PHB): a resorbable conduit for long-gap repair in peripheral nerves. *Br J Plast Surg* 2002; 55:235-240.
87. Lore AB, Hubbell JA, Bobb DS Jr, Ballinger ML, Loftin KL, Smith JW. et al. Rapid induction of functional and morphological continuity between severed ends of mammalian or earthworm myelinated axons. *J Neurosci* 1999; 19:2442-2454.
88. Borgens RB, Shi R, Bohnert D. Behavioral recovery from spinal cord injury following delayed application of polyethylene glycol. *J Exp Biol* 2002; 205:1-12.
89. Gilchrist T, Glasby MA, Healy DM, Kelly G, Lenihan DV, McDowall KL. et al. In vitro nerve repair—in vivo. The reconstruction of peripheral nerves by entubulation with biodegradeable glass tubes—a preliminary report. *Br J Plast Surg* 1998; 51:231-237.
90. Lenihan DV, Carter AJ, Gilchrist T, Healy DM, Miller IA, Myles LM. et al. Biodegradable controlled release glass in the repair of peripheral nerve injuries. *J Hand Surg [Br]* 1998; 23:588-593.
91. Valentini RF, Vargo TG, Gardella JA Jr, Aebischer P. Patterned neuronal attachment and outgrowth on surface modified, electrically charged fluoropolymer substrates. *J Biomater Sci Polym Ed* 1993; 5:13-36.
92. Schmidt CE, Shastri VR, Vacanti JP, Langer R. Stimulation of neurite outgrowth using an electrically conducting polymer. *Proc Natl Acad Sci USA* 1997; 94:8948–8953.
93. Dahlin L, Lundborg G. The use of silicone tubing in the late repair of the median and ulnar nerves in the forearm. *J Hand Surg [Br]* 2001; 26:393-394.
94. Midgley RD, Woolhouse FM. Silicone rubber sheathing as an adjunct to neural anastomosis. *Surg Clin N Am* 1968; 48:1149-1154.

95. Vasconcelos BC, Gay-Escoda C. Facial nerve repair with expanded polytetrafluoroethylene and collagen conduits: an experimental study in the rabbit. *J Oral Maxillofac Surg* 2000; 58:1257-1262.
96. Pitta MC, Wolford LM, Mehra P, Hopkin J. Use of Gore-Tex tubing as a conduit for inferior alveolar and lingual nerve repair: experience with 6 cases. *J Oral Maxillofac Surg* 2001; 59:493-496.
97. M, Halkias LE, Mallory S, Travers S, Rashid RG. Low-level laser effect on neural regeneration in Gore-Tex tubes. *Oral Surg Oral Med Oral Pathol Oral Radiol Endod* 2002; 93:27-34.
98. Rigoni G, Smahel J, Chiu DTW Meyer VE. Vein interposition as a pathway for peripheral nerve regeneration. *Handchir Mikrochir Plast Chir* 1983; 15(4):227-231.
99. Benito-Ruiz J, Navarro-Monzonis A, Piqueras A, Baena-Montilla P. Invaginated vein graft as nerve conduit: an experimental study. *Microsurg* 1994; 15:105-115.
100. Strauch B, Ferder M, Lovelle-Allen S, Moore K, Kim DJ, Llena J. Determining the maximal length of a vein conduit used as an interposition graft for nerve regeneration. *J Reconstr Microsurg* 1996; 12:521-527.
101. Wang KK, Costas PD, Jones DS, Miller RA, Seckel BR. Sleeve insertion and collagen coating improve nerve regeneration through vein conduits. *J Reconstr Microsurg* 1993; 9:39-48.
102. Wang KK, Costas PD, Bryan DJ, Eby PL, Seckel BR. Inside-out vein graft repair compared with nerve grafting for nerve regeneration in rats. *Microsurg* 1995; 16(2):65-70.
103. Chiu DTW, Strauch B. A prospective clinical evaluation of autogenous vein grafts used as a nerve conduit for distal sensory nerve defects of 3 cm or less. *Plast Reconstr Surg* 1990; 86:928-934.
104. Tang JB, Gu YQ, Song YS. Repair of digital nerve defect with autogenous vein graft during flexor tendon surgery in zone 2. *J Hand Surg* 1993; 188:449-453.
105. Walton RL, Brown RE, Matory WE Jr. Autogenous vein graft repair of digital nerve defects in the finger: A retrospective clinical study. *Plast Reconstr Surg* 1989; 84:944-949.

106. Wang KK, Costas PD, Jones DS, Miller RA, Seckel BR. Sleeve insertion and collagen coating improve nerve regeneration through vein conduits. *J Reconstr Microsurg* 1993; 9:39-48.,
107. Smahel J, Jentsch B: Stimulation of peripheral nerve regeneration by an isolated nerve segment. *Ann Plast Surg* 1986; 16:494-501.
108. Fawcett JW, Keynes RJ. Muscle basal lamina: A new graft material for peripheral nerve repair. *J Neurosurg* 1986; 65:354-363.,
109. Gattuso JM, Davies AH, Glasby MA, Gschmeissner SE, Huang CL. Peripheral nerve repair using muscle autografts: recovery of transmission in primates. *J Bone Joint Surg (Br)* 1988; 70:524-529.
110. Glasby MA, Gilmour JA, Gschmeissner SE. The repair of large peripheral nerves using skeletal muscle autografts: A comparison with cable grafts in sheep femoral nerve. *Br J Plast Surg* 1990; 43:189-178.
111. Ide C. Nerve regeneration through the basal lamina scaffold of the skeletal muscle. *J Neurosci Res* 1984; 1:379-391.
112. Molander H, Engkvist O, Hagglund J. Nerve repair using a polyglactin tube and nerve graft: An experimental study in the rabbit. *Biomaterials* 1983; 4:276-280.
113. Smith KG, Robinson PP. The reinnervation of the tongue and salivary glands after lingual nerve repair by stretch, sural nerve graft or frozen muscle graft. *J Dent Res* 1995; 74(12):1850-1 860.
114. Wang H, Lineaweaver WC. Nerve Conduits for Nerve Reconstruction.Operative Techniques in Plastic and Reconstructive Surgery 2003; 9(2): 59-66.
115. Chen LE, Seaber AV, Urbaniak JR, Murrell GA. Denatured muscle as a nerve conduit: A functional, morphologic, and electrophysiologic evaluation. *J Reconstr Microsurg* 1994; 10(3):137-144,
116. Fansa H, Keilhoff G, Wolf G, Schneider W. Tissue engineering of peripheral nerves: A comparison of venous and acellular muscle grafts with cultured Schwann cells. *Plast Reconstr Surg* 2001; 107(2):485-494.
117. DeFranzo AJ, Morykwas MJ, LaRosse JR, Jennings DA, Challa V, Argenta LC. Autologous denatured muscle as a nerve graft. *J Reconstr Microsurg* 1994; 10(3):145-1 49.

118. Feneley MR, Fawcett JW, Keynes RJ: The role of Schwann cells in the regeneration of peripheral nerve axons through muscle basal lamina grafts. *Exp Neurol* 1991; 114:275-285.
119. Ulkur E, Yuksel F, Acikel C, Okar I, Celikoz B. Comparison of functional results of nerve graft, vein graft, and vein filled with muscle graft in end-to-side neurorrhaphy. *Microsurgery* 2003; 23(1):40-8.
120. Brandt J, Dahlin LB, Kanje M, Lundborg G. Functional recovery in a tendon autograft used to bridge a peripheral nerve defect. *Scand J Plast Reconstr Surg Hand Surg* 2002; 36:2-8.
121. Atabay K, Hong C, Bentz ML. The use of the "sliding epineurial sheath tube" for repair of peripheral nerve defects. *Plast Surg Forum* 1995; 18:121-128.
122. Ayhan S, Yavuzer R, Latifoglu O, Atabay K. Use of the turnover epineurial sheath tube for repair of peripheral nerve. *J Reconstr Microsurg* 2000; 16(5):371-377.
123. Suzuki M, Itoh S, Yamaguchi I, Takakuda K, Kobayashi H, Shinomiya K. et. al. Tendon Chitosan Tubes Covalently Coupled With Synthesized Laminin Peptides Facilitate Nerve Regeneration In Vivo. *Journal of Neuroscience Research* 2003; 72:646-659.
124. Mackinnon SE, Dallon AL. A comparison of nerve regeneration across a sural nerve graft and a vascularized pseudosheath. *J Hand Surg* 1988; 13(6):935-942.
125. Lawson GM, Glasby MA.. Peripheral nerve reconstruction using reezethawed muscle grafts: a comparison with group fascicular nerve grafts in a large animal model. *J R Coll Surg Edinb* 1998; 43:295-302.
126. Liu XL, Arai T, Sondell M, Lundborg G, Kanje M, Dahlin LB. Use of chemically extracted muscle grafts to repair extended nerve defects in rats. *Scand J Plast Reconstr Surg Hand Surg* 2001; 35:337-345.
127. Fansa H, Schneider W, Wolf G, Keilhoff G. Host responses after acellular muscle basal lamina allografting used as a matrix for tissue engineered nerve grafts. *Transplantation* 2002; 74:381-387.
128. Mligiliche N, Kitada M, Ide C. Grafting of detergent-denatured skeletal muscles provides effective conduits for extension of regenerating axons in the rat sciatic nerve. *Arch Histol Cytol* 2001; 64:29-36.

129. Schmidt CE, Baier JM. Acellular vascular tissues: natural biomaterials for tissue repair and tissue engineering. *Biomaterials* 2000; 21:2215-31.
130. Wang KK, Cetrulo CL, Seckel BR. Tubulation repair of peripheral nerves in the rat using an inside-out intestine sleeve. *J Reconstr Microsurg* 1999; 15(7):547-554.
131. Mohammad J, Warnke PH, Pan YC, Shenaq S. Increased axonal regeneration through a biodegradable amniotic tube nerve conduit: Effect of local delivery and incorporation of nerve growth factor/hyaluronic acid media. *Ann Plast Surg* 2000; 44(1):59-64.
132. Rutishauser U. Adhesion molecules of the nervous system. *Curr Opin Neurobiol* 1993; 3:709-715.
133. Grimpe B, Silver J. The extracellular matrix in axon regeneration. *Prog Brain Res* 2002; 137:333-349.
134. Bovolenta P, Fernaud-Espinosa I. Nervous system proteoglycans as modulators of neurite outgrowth. *Prog Neurobiol* 2000; 61:113-132.
135. Asher RA, Morgenstern DA, Moon LD, Fawcett JW. Chondroitin sulphate proteoglycans: inhibitory components of the glial scar. *Prog Brain Res* 2001; 132:611-19.
136. Tong XJ, Hirai K, Shimada H, MizutaniY, Izumi T, Toda N. et al. Sciatic nerve regeneration navigated by laminin-fibronectin double coated biodegradable collagenmgrafts in rats. *Brain Res* 1994; 663:155-162.
137. Chen YS, Hsieh CL, Tsai CC, Chen TH, Cheng WC, Hu CL. et al. Peripheral nerve regeneration using silicone rubber chambers filled with collagen, laminin and fibronectin. *Biomaterials* 2000; 21:1541-1547.
138. Yoshii S, Oka M. Peripheral nerve regeneration along collagen filaments. *Brain Res* 2001; 888:158-162.
139. Itoh S, Takakuda K, Kawabata S, Aso Y, Kasai K, Itoh H. et al. Evaluation of crosslinking procedures of collagen tubes used in peripheral nerve repair. *Biomaterials* 2002; 23:4475-4481.
140. Chamberlain LJ, Yannas IV, Hsu HP, Strichartz G, Spector M. Collagen-GAG substrate enhances the quality of nerve regeneration through collagen tubes up to level of autograft. *Exp Neurol* 1998; 154:315-329.

164. Madison R, Da-Silva CF, Dikkes P, Chiu TH, Sidman RL. Increased rate of peripheral nerve regeneration using bioresorbable nerve guides and laminin-containing gel. *Exp Neurol* 1985; 88:767-772.
165. Matsumoto K, Ohnishi K, Kiyotani T, Sekine T, Ueda H, Nakamura T. Peripheral nerve regeneration across an 80-mm gap bridged by a polyglycolic acid (PGA)-collagen tube filled with laminin-coated collagen fibers: A histological and electrophysiological evaluation of regenerated nerves. *Brain Res* 2000; 868(2):315-328.
166. Williams LR: Exogenous fibrin matrix precursors stimulate the temporal progress of nerve regeneration within a silicone chamber. *Neurochem Res* 1987; 12(10):851-860.
167. Derby A, Engleman VW, Friedich GE, Neises G, Rapp SR, Roufa DG. Nerve growth factor facilitates regeneration across nerve gaps: Morphological and behavioral studies in rat sciatic nerve. *Exp Neurol* 1993; 119(2):176-191.
168. Robinson PH, Van Der Lei B, Hoppen HJ, Leenslag JW, Pennings AJ, Nieuwenhuis P. Nerve regeneration through a two-ply biodegradable nerve guide in the rat and the influence of ACTH4-9 nerve growth factor. *Microsurgery* 1991; 12(6):412-419.
169. Spector JG, Lee P, Derby A, Friedich GE, Neises G, Roufa DG. Rabbit facial nerve regeneration in NGF-containing silastic tubes. *Laryngoscope* 1993; 103(5):548-558.
170. Cordeiro PG, Seckel BR, Lipton SA, D'Amore PA, Wagner J, Madison R. Acidic fibroblast growth factor enhances peripheral nerve regeneration in vivo. *Plast Reconstr Surg* 1989; 83(6):1013-1019.
171. Terris DJ, Taft KM, Moir M, Lum J, Wang M. Brain-derived neurotrophic factor-enriched collagen tubule as a substitute for autologous nerve grafts. *Arch Otolaryngol Head Neck Surg* 2001; 127:294-298.
172. Hobson MI, Green CJ, Terenghi G. VEGF enhances intraneuronal angiogenesis and improves nerve regeneration after axotomy. *J Anat* 2000; 197:591-605.
173. Kakinoki R, Nishijima N, Ueba Y, Oka M, Yamamuro T, Nakamura T. Nerve regeneration over a 20-mm gap through a nerve conduit containing blood vessels in rats: The influence of interstump distance on nerve regeneration. *J Neurosurg Sci* 1998; 42:11-21.

174. Brunelli GA, Vigasio A, Brunelli GR. Different conduits in peripheral nerve surgery. *Microsurgery* 1994; 15:176-178.
175. Francel PC, Francel TJ, Mackinnon SE, Hertl C. Enhancing nerve regeneration across a silicone tube conduit by using interposed short-segment nerve grafts. *J Neurosurg* 1997; 87(6):887-892.
176. Maeda T, Mackinnon SE, Best TJ, Evans PJ, Hunter DA, Midha RT. Regeneration across 'stepping-stone' nerve grafts. *Brain Res* 1993; 618:196-202.
177. Whitworth IH, Dore CJ, Green CJ, Terenghi G. Increased axonal regeneration over long nerve gaps using autologous nerve-muscle sandwich grafts. *Microsurgery* 1995; 16:772-778.
178. Meek MF, Dijkstra JR, Den Dunnen W, Ijkema-Paassen J, Schakenraad JM, Gramsbergen A. Functional assessment of sciatic nerve reconstruction: Biodegradable poly(DLIA-E-CL) nerve guides versus autologous nerve grafts. *Microsurgery* 1999; 19:381-388.
179. Lundborg G, Kanje M. Bioartificial nerve grafts: A prototype. *Scand J Plast Reconstr Hand Surg* 1996; 30:105-110.
180. Lundborg G, Dahlin L, Dohi D, Kanje M, Terada N. A new type of "bioartificial" nerve graft for bridging extended defects in nerves. *J Hand Surg* 1997; 22B(3):299-303.
181. Arai T, Lundborg G, Dahlin LB. Bioartificial nerve graft for bridging extended nerve defects in rat sciatic nerve based on resorbable guiding filaments. *Scand J Plast Reconstr Hand Surg* 2000; 34:101-108.
182. Shen ZL, Berger A, Hierner R, Allmeling C, Ungewickell E, Walter GF. A Schwann cell-seeded intrinsic framework and its satisfactory biocompatibility for a bioartificial nerve graft. *Microsurgery* 2001; 21:6-11.
183. Malizos KN, Dailiana ZH, Anastasiou EA. Neuromas and gaps of sensory nerves of the hand: Management using vein conduits. *Am J Orthop* 1997; 26:481-485.
184. Tang JB, Shi D, Zhou H. Vein conduits for repair of nerves with a prolonged gap or in unfavorable conditions: An analysis of three failed cases. *Microsurgery* 1995; 16:133-137.
185. Tang JB. Vein conduits with interposition of nerve tissue for peripheral nerve defects. *J Reconstr Microsurg* 1995; 11(1):21-26.

186. Pogrel MA, Maghen A. The use of autogenous vein grafts for inferior alveolar and lingual nerve reconstruction. *J Oral Maxillofac Surg* 2001; 59:985-988.
187. Walton RL, Brown RE, Matory WE Jr. Autogenous vein graft repair of digital nerve defects in the finger: A retrospective clinical study. *Plast Reconstr Surg* 1989; 84:944-949.
188. Norris RW, Glasby MA, Gattuso JM, Bowden RE. Peripheral nerve repair in humans using muscle autografts: A new technique. *J Bone Joint Surg (Br)* 1988; 70:530-533.
189. Pereira JH, Bowden REM, Gattuso JM, Norris RW. Comparison of results of repair of digital nerves by denatured muscle grafts and end-to end sutures. *J Hand Surg(Br)* 1991; 16(5):519-523.
190. Pereira JH, Palande DD, Subramanian A. Denatured autologous muscle graft in leprosy. *Lancet* 1991; 16:1239-1 240.
191. Pereira JH, Bowden RE, Narayananakumar TS, Gschmeissner SE. Peripheral nerve reconstruction using denatured muscle autografts for restoring protective sensation in hands and feet of leprosy patients. *Indian J Lepr* 1996; 68:83-91.
192. Mackinnon SE, Dellon AL. Clinical nerve reconstruction with a bioabsorbable polyglycolic acid tube. *Plast Reconstr Surg* 1990; 85(3):419-424.
193. Weber RA, Breidenbach WC, Brown RE, Jabaley ME, Mass DP. A randomized prospective study of polyglycolic acid conduits for digital nerve reconstruction in humans. *Plast Reconstr Surg* 2000; 106(5):1036-1 045.
194. Crawley WA, Dellon AL. Inferior alveolar nerve reconstruction with a polyglycolic acid bioabsorbable nerve conduit. *Plast Reconstr Surg* 1992; 90(2):300-302.
195. Stanec S, Stanec Z. Ulnar nerve reconstruction with an expanded polytetrafluoroethylene conduit. *Br J Plast Surg* 1998; 51:637-639.
196. Pogrel MA, McDonald AR, Kaban LB. Gore-Tex tubing as a conduit for repair of lingual and inferior alveolar nerve continuity defects: A preliminary report. *J Oral Maxillofac Surg* 1998; 56(3):319-321.
197. Braga-Silva J. The use of silicone tubing in the late repair of the median and ulnar nerves in the forearm. *J Hand Surg* 1999; 248:703-706.

198. Lundborg G, Rosen B, Abrahamson SO, Dahlin L, Danielsen N. Tubular repair of the median nerve in the human forearm. Preliminary findings. *J Hand Surg* 1994; 19B:273-276.
199. Lundborg G, Rosen B, Dahlin L, Danielsen N, Holmberg J. Tubular versus conventional repair of median and ulnar nerves in the human forearm: Early results from a prospective, randomized, clinical study. *J Hand Surg* 1997; 22:99-106.
200. Merle M, Dallon AL, Campbell JN, Chang PS. Complications from siliconpolymer intubulation of nerves. *Microsurgery* 1989; 10:130-133.
201. Paker Ş. Histoloji. (2. baskı) Uludağ Üniversitesi Basımevi. 1990:136-144
202. Lee KC, Kwon YS, Park JM, Kim SK, Park SH, Kim JH. Nasal tip plasty using various techniques in rhinoplasty. *Aesthetic Plast Surg*. 2004; 28(6):445-455.
203. Murrell GL. Auricular Cartilage Grafts And Nasal Surgery *Laryngoscope* 2004; 114:2092-2102.
204. Pastorek NJ, Bustillo A, Murphy MR, Becker DG. The Extended Columellar Strut-Tip Graft. *Arch Facial Plast Surg* 2005; 7(3):176-84.
205. Keck T, Lindemann J, Kuhnemann S, Sigg O. Healing of Composite Chondrocutaneous Auricular Grafts Covered by Skin Flaps in Nasal Reconstructive Surgery *Laryngoscope* 2003; 113:248-253.
206. Moore EJ, Strome SA, Kasperbauer JL, Sherris DA, Manning LA. Vascularized Radial Forearm Free Tissue Transfer for Lining in Nasal Reconstruction *Laryngoscope* 2003; 113:2078-2085.
207. Viterbo F. Chin Augmentation with Conchal Cartilage. *Plast Reconstr Surg* 2003; 111: 899-903
208. Mottura AA. Chin Augmentation with Nasal Osteocartilaginous Graft. *Plast Reconstr Surg* 2002; 109: 783-787.
209. Schultz-Coulon HJ. Three-layer repair of nasoseptal defects, *Otolaryngol Head Neck Surg* 2005;132:213-218.
210. Lei Z. Auricular Cartilage Graft Interposition After Temporomandibular Joint Ankylosis Surgery in Children. *J Oral Maxillofac Surg* 2002; 60:985-987.

211. Medra AM. Follow up of mandibular costochondral grafts after release of ankylosis of the temporomandibular joints. *Br J Oral Maxillofac Surg* 2005; 43, 118-122.
212. Nagata S. Microtia: Auricular Reconstruction. In: Craig AVK, Edwin GW. (eds) Plastic Surgery Indications, Operations, and Outcomes. St.Louis, Mosby, 2000:1023-1056.
213. Fischer T, Noever G, Langer M, Kamer E. Experience in Upper Eyelid Reconstruction With the Cutler-Beard Technique. *Ann Plast Surg* 2001; 47:338-342.
214. Yanaga H, Mori S. Eyelids and Eye Socket Reconstruction Using the Expanded Forehead Flap and Scapha Composite Grafting. *Plast Reconstr Surg* 2001; 108: 8-16.
215. Castellani A, Negrini S, Zanetti U. Treatment of Orbital Floor Blowout Fractures With Conchal Auricular Cartilage Graft: A Report on 14 Cases. *J Oral Maxillofac Surg* 2002; 60:1413-1417.
216. D'Agostino G, Darsonval V. Post-ablative reconstruction of the medial canthus and medial orbital wall using conchal cartilage graft with three illustrative cases. *Br J Plast Surg* 2005; 58(8):1152-1157.
217. Kraus M, Gatot A, Kaplan DM, Fliss DM. Post-traumatic orbital floor reconstruction with nasoseptal cartilage in children. *Int J Pediatr Otorhinolaryngol* 2002; 64:187-192.
218. Hirohi T, Yoshimura K. Surgical Correction of Retracted Nostril Rim with Auricular Composite Grafts and Anchoring Suspension. *Aesth Plast Surg* 2003; 27:418-422.
219. Scuderi N, Ribuffo D, Chiummariello S. Total and Subtotal Upper Eyelid Reconstruction with the Nasal Chondromucosal Flap: A 10-Year Experience. *Plast Reconstr Surg* 2005; 115: 1259-1265.
220. Weisman RA. Septal chondromucosal flap with preservation of septal integrity. *Laryngoscope* 1989 ; 99(3):267-271.
221. Hattori Y, Doi K, Taka S, Ikeda K. Free Vascularized Joint Transfer From the Nonreplantable Digit as a Free Flap for Primary Reconstruction of Complex Hand. *Injury J Hand Surg* 2004; 29:931-935.

222. Schenker M, Kelley SP, Kay SPJ. Free hand-to-toe transfer: a method to minimise donor-site morbidity in free joint transfers. *Br J Plast Surg.* 2003; 56(1):57-59.
223. Kimori K, Ikuta Y, Ihsida O, Ichikawa M, Suzuki O. Free Vascularized Toe Joint Transfer to the Hand. A Technique for Simultaneous Reconstruction of the Soft Tissue. *J Hand Surg (Br)* 2001; 26(4):314-320.
224. Kanaya K, Wada T, Usui M, Yamashita T, Fourteen-Year Results of a Reversed Vascularized Second Metatarsophalangeal Joint Transfer: A Case Report. *J Hand Surg* 2005;30:120-124.
225. Toolan BC, Frenkel SR, Pereira DS, Alexander H. Development of a novel osteochondral graft for cartilage repair. *J Biomed Mater Res* 1998; 41:244-250.
226. Black KS, Hewitt CW, Fraser LA, Howard EB, Martin DC, Achauer BM, Furnas DW. Composite tissue (limb) allografts in rats. II. Indefinite survival using low-dose cyclosporine. *Transplantation* 1985; 39(4):365-368.
227. Bain J, Mackinnon S, Hunter DA. Functional evaluation of complete sciatic, peroneal, and posterior tibial nerve lesions in the rat. *Plast Reconstr Surg* 1989; 83: 129-138.
228. Hare, G.M.T., Evans, P.J., Mackinnon, S.E., et.al. Walking track analysis:A long term assesment of peripheral nerve recovery. *Plast Reconstr Surg* 1992; 89:251-258.
229. Evans PJ, Bain JR, Mackinnon SE. Selective reinnervation: A comparison of recovery following microsuture and conduit nerve repair. *Brain Res* 1991; 559: 315-321.
230. Kanaya F, Firrell J, Tsai TM, Breidenbach WC. Functional results of vascularized versus nonvascularized nerve grafting. *Plast Reconstr Surg* 1992; 89:924-930.
231. Dallon, E.S., and Dallon, A.L. Functional assessment of neurologic impairment: Track analysis in diabetic and compression neuropathies. *Plast Reconstr Surg* 88: 686, 1991.
232. Buhsen Ö. Siçan siyatik sinir onarımını takiben uygulanan 5-fluorourasil'in epinöral ve ekstranöral skar dokusu oluşumuna ve sinir rejenerasyonuna etkisinin araştırılması. Uzmanlık tezi:2000.
233. Erkutlu İ. Deneysel siyatik sinir enjeksiyon hasarında siklosporin-a'nın etkinliğinin araştırılması.Uzmanlık tezi: 2002.